

8835

BOZUYUK YORESİNDEKİ FABRIKALARIN ATIKSULARININ  
ÖZELLİKLERİNİN BELİRLENMESİ VE ARITIM OLANAKLARININ APASTIRILMASI

Neşe Uygan

Anadolu Üniversitesi  
Fen Bilimleri Enstitüsü  
Lisansüstü Yönetmeliği Üyarınca  
Kimya Mühendisliği Anabilim Dalı  
Kimyasal Teknolojiler Bilim Dalında  
YÜKSEK LİSANS TEZİ  
Olarak Hazırlanmıştır.

Danışman: Doç. Dr. M. Ercengiz YILDIRIM

Eylül-1989

W. G.  
Yükseköğretim Kurulu  
Dokümanlaşyon Merkezi

Nesе Üygan'ın TÜRKEN LİSANS tezi olarak hazırladığı "Bozuyuk Yoresindeki Fabrikaların Atıklarının Özelliklerinin Belirlenmesi ve Arıtım Olanaklarının Araştırılması" başlıklı bu çalışma, jürimizce lisansüstü yönetmeliğinde ilgili maddeleri uyarınca değerlendirilerek kabul edilmiştir.

30 / 10 / 1989

Üye. Doç. Dr. M. Ercengiz Yıldırım

*E. Yıldırım*

Üye. Doç. Dr. Tevfik Gedikli

*T. Gedikli*

Üye. Y.Doç. Dr. M. Rana Alıcıoğlu

*M. Alıcıoğlu*

Fen Bilimleri Enstitüsü Yönetimi Kurulu'ndan  
fazla 225/5... sayılı kararıyla onaylanmıştır.

8 KASIM 1989

*Rüstem Kaya*  
Prof. Dr. Rüstem KAYA  
Enstitü Müdürü

## ÖZET

Bozyük yöresindeki bazı fabrikaların atıksularının özelliklerinin belirlenmesinin yanı sıra, kimyasal pihtilaştırma yöntemiyle arıtılabilirliğinin incelenmesi çalışmanın hedefidir. Üç ayrı seramik fabrikası ve saf selülozdan üretim yapan bir kağıt fabrikası atıksularının özellikleri belirlenmiştir. Seramik fabrikalarından biri ve kağıt fabrikası atıksularında bazı parametrelerin Su Kirliliği Kontrolü Yönetmeliğindeki sınır değerleri aştığı gözlenmiştir. Seramik fabrikalarından biri ve kağıt fabrikasının atıksularında daha etkin arıtım sağlayabilmek amacıyla, ham atıksularından örnekler alınıp pihtilaştırma-yumaklaştırma ile arıtım deneyleri yapılmıştır. Pihtilaştırıcı olarak  $\text{Al}_2(\text{SO}_4)_3 \cdot 18\text{H}_2\text{O}$ ,  $\text{FeCl}_3 \cdot 6\text{H}_2\text{O}$  ve farklı iki organik polielektrolit artan dozlarda denenmiştir. Seramik fabrikasında tüm dozlarda tüm parametreler sınır değerlerin altına düştüğü halde kağıt fabrikasında denenen hiçbir dozda KOİ sınır değerinin altına indirilememiştir.  $\text{Al}_2(\text{SO}_4)_3 \cdot 18\text{H}_2\text{O}$  ve  $\text{FeCl}_3 \cdot 6\text{H}_2\text{O}$  dozu seçilirken pH değerinin 6'ın altına düşmemesi gereği, sedipur ve superfloc dozu seçilirken dozun artışıyla polielektrolitlerin kendilerinin KOİ değerini artırdığı göz önüne alınmalıdır.

## SUMMARY

Characterisation of some factories' wastewaters in Bozüyüük(Bilecik-Turkey) area and treatment of them by chemical coagulation method were the purposes of this M.S. thesis. Wastewater from three different ceramic factories and a paper factory that uses cellulose for production were analysed. Some parameters of one of the ceramic factories and paper factory wastewaters exceed limit values of the Turkish Water Pollution Control Act. For the aim of effective treatment, untreated wastewater samples were taken from one of the ceramic factories and paper factory; then experiments of treatment by chemical coagulation method were made.  $\text{Al}_2(\text{SO}_4)_3 \cdot 18\text{H}_2\text{O}$ ,  $\text{FeCl}_3 \cdot 6\text{H}_2\text{O}$  and two different organic polyelectrolytes were investigated as coagulants with increasing doses. All doses could reduce all parameters under allowed values for ceramic factory wastewater; but none of the used doses were sufficient for reduction COD values under allowed value for paper factory wastewater. It should be noted that selecting doses of  $\text{Al}_2(\text{SO}_4)_3 \cdot 18\text{H}_2\text{O}$  and  $\text{FeCl}_3 \cdot 6\text{H}_2\text{O}$ , pH must not reduce under 6, and COD increases with increasing the doses of polyelectrolytes.

## TEŞEKKÜR

Bozuyuk yoresindeki fabrikaların atıksularının ozelliklerinin belirlenmesi ve arıtım olasılıklarının araştırılması amacıyla Anadolu Üniversitesi Kimya Mühendisliği Bölümünde yapılan bu çalışma konusunu finan, çalışmalarımı yöneten, yapıcı ve yönlendirici eleştirmeleriyle hiçbir zaman yardımcılarını esirgemeyen hocam Sayın Doç.Dr.M.Ercengiz YILDIZ'IM'a sonsuz teşekkürlerimi sunarım.

Çalışmam sırasında her zaman yakın ilgi ve destegini gördüğüm Kimya Mühendisi Aydem DOĞAN'a teşekkürlerini bir borç bilirim.

Bilgi işlem merkezinde tezimi yazabilmem için gerekli izni sağlayan Kimya Mühendisliği Bölüm Başkanı Doç.Dr.Mustafa KARA'ya, şekillerimin çiziminde emeği geçen Teknik Personel Ahmet GÜNE'ye, manevi desteklerini esirgemeyen Kimya Mühendisliği Bölümü elemanlarıca ve Yüksek Lisans arkadaşlarımı teşekkürlerimi sunarım.

Ayrıca atıksu numunelerinin alınmasında her türlü kolaylığı sağlayan işletme yetkililerine teşekkürlerimi sunarım.

Bu seviyeye gelmemi sağlayan hocalarına, madde ve manevi destekleriyle her zaman yanmda olan elime de sonsuz teşekkürlerimi sunarım.

## İÇİNDEKİLER

	<u>Sayfa</u>
ÖZET .....	iv
SUMMARY .....	v
TEŞEKKÜR .....	vi
ŞEKİLLER DİZİMİ .....	x
ÇİZELGELER DİZİMİ .....	xi
SİMGELER VE KISALTMALAR DİZİMİ .....	xv
1. GİRİŞ .....	1
1.1. Ülkemizdeki Yasal Düzenlemeler .....	2
1.2. Daha Önce Yapılan Çalışmalar .....	3
2. SULARI KIRLETEN BAZI KAYNAKLAR .....	8
2.1. Kağıt Endüstrisinde Su Kirliliği .....	10
2.2. Seramik Endüstrisinde Su Kirliliği .....	11
3. ATIKSULARIN ARITIM YÖNTEMLERİ .....	13
3.1. Fiziksel Yöntemler .....	14
3.1.1. Izgaralar .....	14
3.1.2. Kum tutucular .....	14
3.1.3. Yağ yakalama düzenekleri .....	15
3.1.4. Çöktürme havuzları .....	15
3.2. Fizikokimyasal Yöntemler .....	15
3.3. Biyolojik Yöntemler .....	16
3.3.1. Aktif çamur yöntemi .....	17
3.3.2. Damlatmalı filtreler .....	17
3.3.3. Oksidasyon havuzları .....	18
3.4. Arıtım Yöntemlerinin Karşılaştırılması .....	18
3.5. Çamur Arıtımı ve Faydalananma Süreçleri .....	20
4. KİMYASAL PIHTILAŞTIRMANIN KURAMSAL TEMELLERİ .....	21
4.1. Kolloidler .....	21
4.2. Yüzey Yıku .....	22

## **4. PİHTİLİŞTİRME (Devam)**

	Sayfa
4.3 Elektrolitlerin Pihtılışturma Etkileri .....	37
4.4. Polielektrolitler .....	38
4.5. Pihtılıştırma Sistemleri .....	39
<b>5. ATIKSULARI İLE ÇALIŞAN FABRİKALAR, ATIKSULARDA YAPILAN ANALİZLER VE ÖNEMLERİ, PIHTİLİŞTİRME İLE ARITIM DENEY YÖNTEMİ</b>	<b>39</b>
5.1. Atiksuların Özelliklerinin Belirlenmesi Çalışmaları .....	39
5.1.1. pH değeri .....	39
5.1.2. Sıcaklık .....	39
5.1.3. Toplam, askida ve çökebilen katılar .....	39
5.1.4. Biyokimyasal oksijen ihtiyacı .....	40
5.1.5. Kimyasal oksijen ihtiyacı .....	40
5.1.6. Kursun .....	40
5.1.7. Kadmiyum .....	41
5.2. Pihtılıştırma ile Aritim Deney Uzeneği ve Deney Yöntemi .....	41
<b>6. DEMİYELİ ATIKSULAR</b> .....	<b>47</b>
6.1. Aritim Testlerinden Çikan Atiksuların Özellikleri .....	47
6.1.1. A Seramik Fabrikası atiksularının Özellikleri .....	47
6.1.2. B Seramik Fabrikası atiksularının Özellikleri .....	49
6.1.3. C Seramik Fabrikası atiksularının Özellikleri .....	50
6.1.4. D Kağıt Fabrikası atiksularının Özellikleri .....	52
6.2. Pihtılıştırma-Yumakleştirme Yöntemiyle Aritim Sonuçları .....	53
6.2.1. C Seramik Fabrikası atiksuyunun pihtılıştırma-yumakleştirme ile arıtım sonuçları .....	53
6.2.2. D Kağıt Fabrikası atiksuyunun pihtılıştırma-yumakleştirme ile arıtım sonuçları .....	54
<b>7. BULGULARIN TARTIŞILMASI</b> .....	<b>74</b>
7.1. Atiksuların Özelliklerinin SKZ'ye Uygunluklarını Tartışılması .....	74
7.1.1. A Seramik Fabrikası atiksularının özelliklerinin tartışılması .....	74

## İÇİNDEKİLER (devam)

	<u>Sayfa</u>
7.1.2. B Seramik Fabrikası atıksularının özelliklerinin tartışılması .....	74
7.1.3. C Seramik Fabrikası atıksularının özelliklerinin tartışılması .....	75
7.1.4. D Kağıt Fabrikası atıksularının özelliklerinin tartışılması .....	76
7.2. Pihtilaştırma ile Arıtım Bulgularının Tartışılması .....	77
7.2.1. C Seramik Fabrikası ham atıksuyunun pihtilaştırma ile arıtım bulgalarının tarıtışılması .....	77
7.2.2. D Kağıt Fabrikası ham atıksuyunun pihtilaştırma ile arıtım bulgalarının tarıtışılması .....	78
8. GENEL SONUCLAR VE ÖNERİLER .....	80
8.1. Genel Sonuçlar .....	80
8.2. Öneriler .....	81
EK AÇIKLAMALAR .....	83
Ek Açıklamalar-A	
ENDÜSTRİYEL ATIKSU DEŞARJ STANDARTLARI	
A.1. Maden Sanayii Atıksularının Alıcı Ortama Deşarj Standartları .....	83
A.2. Selüloz, Kağıt, Karton ve Benzeri Sanayilerin Atıksularının Alıcı Ortama Deşarj Standartları .....	84
KAYNAKLAR .....	86

## ŞEKİLLER DİZİNİ

<u>Sekil</u>	<u>Sayfa</u>
3.1. Kirletici türne ve tanecik büyüklüğüne göre uygulanan temel atıksu arıtım işlemleri .....	13
3.2. Fizikokimyasal arıtım tesisi akım şeması .....	16
4.1. Negatif yüklü kolloid parçacığı için çift tabaka .....	23
4.2. Yüklü bir hidrofilik kolloid parçacığı çevresindeki elektrostatik potansiyeller .....	24
4.3. Hidrofobik kolloidin zeta potansiyelinin zit yüklü iyon kullanımıyla düşürülmesi .....	24
4.4. İki kolloidal parçacık arasındaki uzaklığın itme ve çekme kuvvetleri üzerindeki etkisi .....	25
4.5. Alüminyum ve demirin hidroksitlerinin göznlüklerinin pH'la değişimi .....	29
4.6 Gerekli karıştırma hızı ve pihtilaştıracı kimyasal maddenin optimum dorunun belirlenmesi için laboratuvar düzeni .....	32
6.1. C Seramik Fabrikası ham atıksuyunun superfloc'la arıtımında superfloc niceliğine karşı arıtımından sonraki KÜİ değerleri .....	58
6.2. C Seramik Fabrikası ham atıksuyunun superfloc'la arıtımında superfloc niceliğine karşı arıtımından sonraki AKM değerleri .....	59
6.3. C Seramik Fabrikası ham atıksuyunun superfloc'la arıtımında superfloc niceliğine karşı arıtımından sonraki KÜİ değerleri .....	60
6.4. C Seramik Fabrikası ham atıksuyunun superfloc'la arıtımında superfloc niceliğine karşı arıtımından sonraki AKM değerleri .....	60
6.5. C Seramik Fabrikası ham atıksuyunun $\text{Al}_2(\text{SO}_4)_3 \cdot 18\text{H}_2\text{O}$ ile arıtımında $\text{Al}_2(\text{SO}_4)_3 \cdot 18\text{H}_2\text{O}$ niceliğine karşı arıtımından sonraki pH değerleri .....	61
6.6. C Seramik Fabrikası ham atıksuyunun $\text{Al}_2(\text{SO}_4)_3 \cdot 18\text{H}_2\text{O}$ ile arıtımında $\text{Al}_2(\text{SO}_4)_3 \cdot 18\text{H}_2\text{O}$ niceliğine karşı arıtımından sonraki KÜİ değerleri .....	62
6.7. C Seramik Fabrikası ham atıksuyunun $\text{Al}_2(\text{SO}_4)_3 \cdot 18\text{H}_2\text{O}$ ile arıtımında $\text{Al}_2(\text{SO}_4)_3 \cdot 18\text{H}_2\text{O}$ niceliğine karşı arıtımından sonraki AKM değerleri .....	62
6.9. D Kağıt Fabrikası ham atıksuyunun $\text{Al}_2(\text{SO}_4)_3 \cdot 18\text{H}_2\text{O}$ ve $\text{FeCl}_3 \cdot 6\text{H}_2\text{O}$	

**ŞEKKİLLER DİZİNİ (devam)**

<u>Sekil</u>	<u>Sayfa</u>
ile aritimında çöktürücü nicelijine karşı aritimdan sonraki pH değerleri .....	66
6.9. D Kağıt Fabrikası ham atıksuyunun $\text{Al}_2(\text{SO}_4)_3 \cdot 18\text{H}_2\text{O}$ ve $\text{FeCl}_3 \cdot 6\text{H}_2\text{O}$ ile aritimında çöktürücü niceliklerine karşı aritimdan sonraki KOİ değerleri .....	66
6.10. D Kağıt Fabrikası ham atıksuyunun $\text{Al}_2(\text{SO}_4)_3 \cdot 18\text{H}_2\text{O}$ ve $\text{FeCl}_3 \cdot 6\text{H}_2\text{O}$ ile aritimında çöktürücü niceliklerine karşı aritimdan sonraki AKM değerleri .....	67
6.11. D Kağıt Fabrikası ham atıksuyunun superfloc ve sedipur ile aritimında çöktürücü niceliklerine karşı aritimdan sonraki KOİ değerleri .....	70
6.12. D Kağıt Fabrikası ham atıksuyunun superfloc ve sedipur ile aritimında çöktürücü niceliklerine karşı aritimdan sonraki AKM değerleri .....	70
6.13. D Kağıt Fabrikası ham atıksuyunun $\text{Al}_2(\text{SO}_4)_3 \cdot 18\text{H}_2\text{O}$ ve superfloc'un bir arada kullanımıyla aritimında çöktürücü nicelijine karşı aritimdan sonraki KOİ değerleri .....	72

## ÇİZELGELER DİZİNİ

<u>Çizelge</u>	<u>Sayfa</u>
2.1. Atıksuların kirlilik özellikleri ve bunları neden olan kaynaklar .....	8
3.1. Aritim tesisi birimlerinin etkinlikleri .....	19
4.1. Elektrolitlerin görelî pihtilaştırma yetenekleri .....	26
6.1. 26.10.1988 tarihinde A Seramik Fabrikası arıtım tesisi çıkışından alınan atıksu örneklerinin analiz sonuçları .....	46
6.2. 28.10.1988 tarihinde A Seramik Fabrikası arıtım tesisi çıkışından alınan atıksu örneklerinin analiz sonuçları .....	46
6.3. 3.11.1988 tarihinde A Seramik Fabrikası arıtım tesisi çıkışından alınan atıksu örneklerinin analiz sonuçları.....	47
6.4. A Seramik Fabrikası arıtım tesisi çıkışından alınan atıksu örneklerinin kirlilik parametrelerinin üç işgünü için ortalama değerleri .....	47
6.5. 26.10.1988 tarihinde B Seramik Fabrikası arıtım tesisi çıkışından alınan atıksu örneklerinin analiz sonuçları .....	48
6.6. 28.10.1988 tarihinde B Seramik Fabrikası arıtım tesisi çıkışından alınan atıksu örneklerinin analiz sonuçları .....	48
6.7. 3.11.1988 tarihinde B Seramik Fabrikası arıtım tesisi çıkışından alınan atıksu örneklerinin analiz sonuçları .....	49
6.8. B Seramik Fabrikası arıtım tesisi çıkışından alınan atıksu örneklerinin kirlilik parametrelerinin üç işgünü için ortalama değerleri .....	49
6.9. 19.1.1989 tarihinde C Seramik Fabrikası arıtım tesisi çıkışından alınan atıksu örneklerinin analiz sonuçları .....	50
6.10. 14.2.1989 tarihinde C Seramik Fabrikası arıtım tesisi çıkışından alınan atıksu örneklerinin analiz sonuçları.....	50
6.11. 22.5.1989 tarihinde C Seramik Fabrikası arıtım tesisi çıkışından alınan atıksu örneklerinin analiz sonuçları .....	51
6.12. C Seramik Fabrikası arıtım tesisi çıkışından alınan atıksu örneklerinin kirlilik parametrelerinin üç işgünü için ortalama değerleri .....	51
6.13. 20.10.1988 tarihinde D Kağıt Fabrikası arıtım tesisi çıkışından alınan atıksu örneklerinin analiz sonuçları .....	52

## ÇİZELGELER DİZİNİ (devam)

<u>Çizelge</u>	<u>Sayfa</u>
6.14. 26.10.1988 tarihinde D Kağıt Fabrikası arıtım tesisi çıkışından alınan atıksu örneklerinin analiz sonuçları .....	52
6.15. 28.10.1988 tarihinde D Kağıt Fabrikası arıtım tesisi çıkışından alınan atıksu örneklerinin analiz sonuçları .....	53
6.16. D Kağıt Fabrikası arıtım tesisi çıkışından alınan atıksu örneklerinin kirlilik parametrelerinin üç işgünü için ortalama değerleri .....	53
6.17. 18.7.1989 tarihinde D Kağıt Fabrikası arıtım tesisi çıkışından alınan atıksu örneklerinin analiz sonuçları .....	54
6.18. 19.7.1989 tarihinde D Kağıt Fabrikası arıtım tesisi çıkışından alınan atıksu örneklerinin analiz sonuçları .....	55
6.19. 20.7.1989 tarihinde D Kağıt Fabrikası arıtım tesisi çıkışından alınan atıksu örneklerinin analiz sonuçları .....	55
6.20. D Kağıt Fabrikası arıtım tesisi çıkışından alınan atıksu örneklerinin kirlilik parametrelerinin üç işgünü için ortalama değerleri .....	56
6.21. C İşletmesinden 22.3.1989'da saat 16.15'te alınan ham atıksuyun özellikleri .....	57
6.22. C Seramik Fabrikası ham atıksuyunda superfloc'la pihtilaştırma ile elde edilen analiz sonuçları .....	58
6.23. C Seramik Fabrikası ham atıksuyunda superfloc'la pihtilaştırma ile elde edilen analiz sonuçları .....	59
6.24. C Seramik Fabrikası ham atıksuyunda $Al_2(SO_4)_3 \cdot 18H_2O$ ile pihtilaştırmaya elde edilen analiz sonuçları .....	61
6.25. Çökelme hızına $Al_2(SO_4)_3 \cdot 18H_2O$ 'nun etkisi .....	63
6.26. C Seramik Fabrikası ham atıksuyunda $Al_2(SO_4)_3 \cdot 18H_2O$ ve superfloc'un birlikte kullanımıyla pihtilaştırmada elde edilen analiz sonuçları .....	63
6.27. D İşletmesinden 18.7.1989'da alınan ham atıksuyun özellikleri .....	64
6.28. D Kağıt Fabrikası ham atıksuyunda $Al_2(SO_4)_3 \cdot 18H_2O$ ile pihtilaştırmaya elde edilen analiz sonuçları .....	65

## ÇİZELGELER DİZİNİ (devam)

<u>Çizelge</u>	<u>Sayfa</u>
6.29. D Kağıt Fabrikası ham atiksuyunda $\text{FeCl}_3 \cdot 6\text{H}_2\text{O}$ 'le pihtilaştırma ile elde edilen analiz sonuçları .....	65
6.30. $\text{Al}_2(\text{SO}_4)_3 \cdot 18\text{H}_2\text{O}$ 'nun çökelme hızına etkisi .....	67
6.31. $\text{FeCl}_3 \cdot 6\text{H}_2\text{O}$ 'nun çökelme hızına etkisi .....	68
6.32. D Kağıt Fabrikası ham atiksuyunda superfloc ile pihtilaştırmaya elde edilen analiz sonuçları .....	69
6.33. D Kağıt Fabrikası ham atiksuyunda sedipur ile pihtilaştırmaya elde edilen analiz sonuçları .....	69
6.34. Sedipur'un çökelme hızına etkisi .....	71
6.35. D Kağıt Fabrikası ham atiksuyunda $\text{Al}_2(\text{SO}_4)_3 \cdot 18\text{H}_2\text{O}$ ve superfloc'un bir arada kullanımıyla pihtilaştırmada elde edilen analiz sonuçları .....	72
6.36. Superfloc ve $\text{Al}_2(\text{SO}_4)_3 \cdot 18\text{H}_2\text{O}$ 'nın birlikte kullanımının çökelme hızına etkisi .....	73
A.1. Maden sanayi (seramik ve topraktan kap-kacak yapımı ve benzerleri) atiksularının alıcı ortama deşarj standartları .....	83
A.2. Selüloz, kağıt, karton ve benzeri sanayilerin (nişasta katkısız kağıt) atiksularının alıcı ortama deşarj standartları .....	84
A.3. Selüloz, kağıt, karton ve benzeri sanayilerin (nişasta katkılı kağıt) atiksularının alıcı ortama deşarj standartları .....	85
A.4. Selüloz, kağıt, karton ve benzeri sanayilerin (saç selülozden elde edilen ince dokulu kağıt) atiksularının alıcı ortama deşarj standartları .....	85

## SİMGELER VE KİSALTMALAR DİĞERİ

<u>Simgeler</u>	<u>Açıklama</u>
A	van der Waals çekim kuvvetini gösteren eğri (Şekil 4.4'te)
E <sub>b</sub>	Enerji engeli (Şekil 4.4'te)
H	Sıvı yükseliği (m)
L	Savak genişliği (m)
P <sub>m</sub>	Minimum potansiyel enerji noktası (Şekil 4.4'te)
Q	Debi ( $m^3/s$ )
R	Elektrostatik kuvveti gösteren eğri (Şekil 4.4'te)
R <sub>1</sub>	Birinci elektrolit derişimi için elektrostatik kuvveti gösteren eğri (Şekil 4.4'te)
R <sub>2</sub>	İkinci elektrolit derişimi için elektrostatik kuvveti gösteren eğri (Şekil 4.4'te)
R <sub>3</sub>	Üçüncü elektrolit derişimi için elektrostatik kuvveti gösteren eğri (Şekil 4.4'te)
S	Net kuvveti veren eğri (Şekil 4.4'te)

Kısaltmalar

ABD	Amerika Birleşik Devletleri
AKM	Asında katı madde (mg/l)
BASF	Batı Almanya'da kimyasal madde pazarlayan bir firmanın adı
BOI	Biyokimyasal oksijen ihtiyacı (mg/l)
BOİ <sub>5</sub>	Biyokimyasal oksijen ihtiyacının beş günlük değeri (mg/l)
ÇKMK	Çökebilir katı madde hacmi (ml/l)
dk	Dakika
g	gram
İTÜ	İstanbul Teknik Üniversitesi
KOI	Kimyasal oksijen ihtiyacı (mg/l)
kg	kilogram
l	litre
m	Metre
mg	Miligram

## SİMGELER VE KİRALTMALAR DİZİNİ (devam)

Simgeler	Açıklama
pH	Hidrojen iyonu molar derişiminin eksi logaritması
PVC	Poli Vinil Klorür
SMKY	Su Kirliliği Kontrolü Yönetmeliği
st	Saat
vb	ve böyle

## 1. GİRİŞ

Çevre kirliliği fiziksel, kimyasal ve biyolojik etkenlerle çevrenin doğal durumunun bozulması olarak tanımlanabilir. Hızlı nüfus artışı, endüstrileşme ve kentleşme sonucu çevre kirliliği büyük bir sorun olarak ortaya çıkmaktadır.

Çevre kirliliği kapsamı içerisinde yer alan su kirliliği; su kaynağının kimyasal, fiziksel, bakteriyolojik, radyoaktif, ekolojik özelliklerinin olumsuz yönde değişmesi şeklinde gözlenen ve doğrudan ya da dolaylı yoldan biyolojik kaynaklarda, insan sağlığında, balıkçılıkta, su kalitesinde, suyun diğer amaçlarla kullanımında engelleyici bozulmalar yaratacak madde ya da enerji atıklarının boşaltılmasını kapsar (Resmi Gazete, 1968).

Su kirliliğinin oluşmasının asıl nedeni, giderek artan atık miktarının doğanın özümleme sınırlarını aşmasıdır. Su kirliliğinin bugün ulaştığı düzey, atıksuların mutlaka arıtılıp sızıcı ortamlara verilmesini zorunlu kılmaktadır. Ancak arıtım amacıyla tesislerin kurulmasının ve çalıştırılmasının kár getirmeyen yatırımlar olarak görülmesi, bazı atıklar için arıtım tesislerinin karşılanamayacak düzeyde mali yük getirmesi, bu alana yatırım yapılmasını engellemekte ya da geciktirmektedir.

Endüstriyel tesisler için su kirliliğinin önlenmesi amacıyla süreçte dönük önlemlerle atık miktarının azaltılması ve atık niteliğinin değiştirilmesi büyük önem taşır.

Su kirliliği tüm dünya için çözümlenmesi gereken bir sorun haline gelmiştir. Turdumuzda da nüfusun yirminci yüzyılın başlarından bu yana hızla artması, göçlerin çoğalması, artan şehirleşme; bunların sonucu olarak endüstri ve ulaşım gelişimi çevre sorunlarının kapsamını genişleterek içinde bulunduğuımız durumu yaratmıştır. Haliç, İzmit Körfezi ve Marmara Denizi akut kirlenme problemleri gibi. Yasa ve yönetmelikler çerçevesinde uygulamaya yönelik giderek daha etkin önlemler alınmaya başlanması ve kamuoyunun bilişlenmesi paralelinde soruna sahip çıkılmaya başlanmıştır (Müezzinoğlu, 1973, Çelebi, 1969).

Bu çalışmada Bozüyükl (Bilecik) yöresindeki farklı üç seramik fabrikası ve bir kağıt fabrikasının atık sularının özellikleri belirlenmiştir. Fabrikalarda atıksu arıtımı uygulanmasına rağmen seramik fabrikalarından ikisinde ve kağıt fabrikasında kirlilik parametreleri, "Su Kirliliği Kontrol Yönetmeliği"nde öngörülen sınır değerlerin altına düşürülememektedir. Bu yüzden fabrikalardaki arıtım tesislerine uygun olarak, bir seramik fabrikası ve

kağıt fabrikası ham atıksularının arıtılması pihtilaştırma-yumaklaştırma yöntemiyle incelenmiştir. Bu yöntemde pihtilaştıracı olarak  $Al_2(SO_4)_3 \cdot 18H_2O$ ,  $FeCl_3 \cdot 6H_2O$ , ticari isimleri sedipur (BASF Firması) ve superfloc 220 (American cyanamid firması) olan organik polielektrolitler kullanılmıştır. Ayrıca superfloc 220 ve  $Al_2(SO_4)_3 \cdot 18H_2O$ 'nun bir arada kullanımı da denenmiştir.

#### 1.1 Ülkemizdeki Yasal Düzenlemeler

Su kirliliğinin önlenmesi amacıyla ülkemizde çeşitli yasal düzenlemeler yapılmış bulunmaktadır. Yurdumuzda bu konuya ilgili ilk düzenleme de 22 Mart 1971'de 1380 sayılı "Su Ürünleri Kanunu"yla su ürünleri üretimi ve üretim yerlerinin sınıflandırılmasına ait hükümler getirilerek uygulanacak cezai hükümler belirtilemiştir (Resmi Gazete, 1971). Buna bağlı olarak her yıl sirkülerler yayımlanmaktadır. Örneğin, Tarım Orman ve Köy İşleri Bakanlığının çıkarmış olduğu 1985 tarihli ve 18630 sayılı sirkülerin dördüncü bölümünde sulara boşaltılacak atıklar için deşarj kriterleri, beşinci bölümünde deniz ve iç sularla ilgili genel hükümler verilmiştir. Altınol bölgümde ise 1380 sayılı kanunda belirtilen cezaların uygulanacağı açıklanmıştır (Resmi Gazete, 1985).

11 Ağustos 1983 tarihli Resmi Gazete'de yayımlanan 2872 nolu "Çevre Kanunu" çevrenin korunmasını kabul edilebilir bir yaklaşımla ele almıştır.

13 Mart 1984 tarihinde 18340 sayılı Resmi Gazete'de İSKİ (İstanbul Su ve Kanalizasyon İdaresi) Genel Müdürlüğü'nce "Atık Suların Kanalizasyon Şebekesine Deşarj Yönetmeliği" yayımlanmıştır. Bu yönetmelik atıksuların kanalizasyon şebekelerine bağlanmalarına, vadanjör ve benzeri bir araç ile taşınarak kanalizasyon şebekelerine boşaltılmalarına, kanalizasyon şebekesi bulunmayan yerlerde çevre kirlenmesine yol açmayacak bir düzeye arıtılarak uzaklaştırılma ve uygun alıcı ortama verilmeleri ile kanalizasyon şebekesinin kullanım ve korunmasına ilişkin esas yöntem ve kısıtlamaları belirlemektedir. Son olarak 4 Eylül 1988'de 19919 sayılı Resmi Gazete'de "Su Kirliliği Kontrol Yönetmeliği (SKKY)" yayımlanmıştır. Yönetmeliğin amacı; Ülkenin yeraltı ve yerüstü su kaynakları potansiyelinin her türlü kullanım amacıyla korunmasını, en iyi bir biçimde kullanımın sağlanması ve su kirlenmesinin önlenmesini ekonomik ve sosyal kalkınma hedefleriyle uyumlu olarak gerçekleştirmek üzere su kirliliğinin kontrolü esaslarının belirlenmesi için gerekli olan hukuki ve teknik esasların ortaya konulmasını sağlamaktır.

Yönetmelikte evsel atıksular ve farklı endüstrilerin atıksuları için ölçülmeli gereken parametreler, bunların öngörülen sınır değerleri çizelgeler halinde verilmiştir. SKKY'ni takiben 12 Mart 1989' da 20106 sayılı Resmi Gazete'de SKKY "İdari Usuller Tebliği" yayımlanmıştır. Bu tebliğin amacı; SKKY'nin öngördüğü sorumluluk, izin alma esaslarıyla ilgili idari usul ve uygulamaları düzenlemektir. Víne aynı tarih ve sayılı Resmi Gazete'de yayımlanan "Suda Tehlikeli ve Zararlı Maddeler Tebliği" nin amacı ise SKKY'ne yüzeysel ve yeraltı sularının korunması açısından suda tehlikeli ve zararlı olarak kabul edilen maddelerle ilgili düzenlemelerin yapılmasıdır(Resmi Gazete, 1989). SKKY'nde sözü edilen "Numune Alma ve Analiz Metodları", "Teknik Usuller", "Atıksu Altyapı Tesisleri", "Atıksu Deşarjında İnilebilecek En Düşük Kirlilik Konsantrasyonları" tebliğleri henüz yayımlanmamıştır(Ağustos 1989'da).

#### 1.2 Daha Önce Yapılan Çalışmalar

İstanbul Teknik Üniversitesi Maden Fakültesi Cevher Hazırlama Kürsütünde Mayıs 1978'de Bozüyük yöresindeki bir seramik fabrikası endüstriyel atıksuyunun arıtılması ile ilgili olarak fabrika alanında incelemeler ve debi ölçümüleri yapılmış, çeşitli zamanlarda alınan numuneler laboratuvara çöktürme deneylerinde kullanılmıştır. Atıksularındaki katı miktarının bir gün boyunca 1,5-13 kg/m<sup>3</sup> arasında değiştiği belirlenmiştir. Debinin ise 8-12 m<sup>3</sup>/st arasında değiştiği gözlenmiştir. Atıksuların arıtımı için inorganik bileşiklerle yapılan çöktürme deneylerinde sodyum hidroksit, kireç ve alüminyum sülfatın çökme hızını artırdıkları, duru su elde edilmesine yardımcı oldukları görülmüştür. Kullanılan inorganik bileşiklerin miktarları 0,5 g/l civarındadır. Organik pihtilaştırıcı olarak American Cyanamid firmasının superfloc 220 isimli polielektroliti kullanılmış 0,1-0,4 mg/l mertebesindeki polielektrolitle çok uygun çökme durumları ölçülmüştür(Bayraktar vd., 1978).

Bozüyük yöresindeki endüstriyel atıksuların özelliklerinin belirlenmesi ve pihtilaştırma- yumaklaştırma ile arıtımına yönelik daha önceden yapılan başka bir çalışmaya rastlamamıştır. Bununla beraber Eskişehir yöresindeki bazı atıksular için pihtilaştırma ile arıtma yönelik çeşitli çalışmalar yapılmıştır.

Yeğin ve Özdemir (1988) Eskişehir'de bir pamuklu tekstil fabrikası atıksuyunun kimyasal pihtilaştırma ve adsorpsiyon yöntemleriyle arıtılması

üzerinde çalışmıştır. Bu çalışmada alınan atıksu örneklerinin çok kirli olduğu ve doğrudan Porsuk çayına verilmemesi gerektiği anlaşılmıştır. 1380 sayılı Su Ürünleri Yasası (1971) uyarınca her yıl yayımlanan sirkülerde yer alan sınır değerlerin çoğunun bu atıksuda aşıldığı gözlenmiştir. Atıksuyun sirkülerde yer almayan renk konusunda da son derece olumsuz bir görünüm sahip olduğu görülmüştür. Pihtilaştırma-yumaklaştırma ile arıtım deneylerinde çöktürücü olarak  $\text{Al}_2(\text{SO}_4)_3 \cdot 18\text{H}_2\text{O}$ ,  $\text{FeCl}_3 \cdot 6\text{H}_2\text{O}$  ve uçucu kül kullanılmıştır. Kimyasal oksijen ihtiyacı (KOİ) gideriminin düşük dozlarda ( $100 \text{ mg/l}$ )  $\text{FeCl}_3 \cdot 6\text{H}_2\text{O}$ 'ün, yüksek dozlarda ( $1000 \text{ g/m}^3$ )  $\text{Al}_2(\text{SO}_4)_3 \cdot 18\text{H}_2\text{O}$ 'nın daha etkin olduğu, biyolojik oksijen ihtiyacı (BOİ) ve pH değerindeki azalmada tam bir paralellik olduğu görülmüştür. Uçucu külün KOİ gideriminde fazla etkin olmamakla beraber BOİ gideriminde diğer çöktürücülerden aşağı kalmadığı, çok ucuzsa sağlanabildiği; ancak pH giderimini sağlayamadığından asitle beraber kullanılmasının gerekliliği ve renk gideriminde etkin olmadığını belirlenmiştir.

Öztürk vd.(1989)'de yine aynı pamuklu tekstil fabrikası atıksuyunun arıtılabilirliğini incelemek için bir çalışma yapmıştır. Kimyasal pihtilaştırma da  $\text{Al}_2(\text{SO}_4)_3 \cdot 18\text{H}_2\text{O}$  ve  $\text{FeCl}_3 \cdot 6\text{H}_2\text{O}$  ile istenen arıtım sağlanmıştır.  $100 \text{ mg/l}$   $\text{Al}_2(\text{SO}_4)_3 \cdot 18\text{H}_2\text{O}$ 'nın bile KOİ ve pH değerini SKYY'nce öngörülen sınırların altına indirdiği görülmüştür. pH değerinin SKYY'nce öngörülen aralığın altına inmemesi için  $\text{Al}_2(\text{SO}_4)_3 \cdot 18\text{H}_2\text{O}$ 'nın  $700 \text{ mg/l}$  ve  $\text{FeCl}_3 \cdot 6\text{H}_2\text{O}$ 'nın  $450 \text{ mg/l}$ 'den daha fazlasının kullanılması gerekliliği belirlenmiştir. Organik polielektrolit kullanımıyla pek olumlu sonuçlar elde edilememiştir.

Özgen ve Sürücü (1993) tarafından yapılan bir çalışmada  $\text{NaAlO}_2$  (sodyum alüminat) ve kullanımını daha yaygın olan alüminyum sülfat, kanalizasyon suyunun fizikokimyasal yöntemle arıtılmasında yumaklaştırıcı olarak kullanılmıştır. Çalışmada kullanılan atıksu; Heverlee (Belçika) şehri kanalizasyon suyu olup, evsel atıksularla yüzey sularını içermektedir. Jar testleri ve paralel olarak çalıştırılan sürekli akımlı pilot tesislerde yapılan deneyler sodyum alüminatın alüminyum sülfata göre daha az verimli olduğunu göstermiştir. Sodyum alüminat için çalışılabilir pH aralığının daha dar olduğu, suyun sisteme kalış süresinin, yumaklaştırıcı seçimi ve çamur arıtımı açısından önemli bir parametre olduğu belirlenmiştir.

Şengil (1983) tarafından yapılan bir çalışmada doğal bir şap minerali olan alünitin ( $\text{KAl}_2(\text{SO}_4)_2(\text{OH})_6$ ) kalsine edilip ya da kalsinasyonu takiben

sülfürik asitle reaksiyona sokulduktan sonra pihtilaştırmıcı madde olarak kullanılabileceği belirlenmiştir. Deneylerde kıl ile bulanıklık ve sodyum karbonatla alkaliliğin sağlandığı yapay atıksular kullanılmıştır. Kalsine alünit ve sülfürik asitle reaksiyona sokulmuş alünitin (silisli süspansiyon), alüminyum sülfatla benzer özelliklere sahip pihtilaştırmıcılar olduğu, kalsine alünitin, alüminyum sülfata göre daha geçirgen ve daha büyük çaplı yumaklar oluşturduğu, silisli süspansiyonun alüminyum sülfata göre daha geçirgen fakat biraz daha küçük çaplı yumaklar verdiği gözlenmiştir. Bu sonuçlara göre kalsine alunitin alüminyum süfattan daha etkin bir pihtilaştırmıcı olduğu anlaşılmıştır. Fakat alüminyum süfattan beş kez daha pahalı olması nedeniyle kalsine alunitin ekonomik olmadığına karar verilmiştir. Silisli süspansiyon ise alüminyum süfattan daha küçük çaplı yumaklar oluşturursa da her iki pihtilaştırmıcının yumak hacimleri arasında pek fazla fark gözlenmemiştir. Ucuz olması nedeniyle silisli süspansiyonun alüminyum süfatin yerine kullanılabilirliğine karar verilmiştir.

Çelebi ve Yeşilnacar (1988) tarafından yapılan bir çalışmada evsel atıksu ve yapay olarak kirletilmiş nehir suyu örneklerinin pihtilaştırma-yumaklaştırma yöntemiyle arıtımı denewmiştir. Çalışmalarda temel pihtilaştırmıcı olarak alüminyum sülfat ya da demir (III) klorür, pihtilaştırma yardımcısı olarak da katyonik ya da anyonik polielektrolitler kullanılmıştır. Pihtilaştırmıcı, polimer dozları ve pH standart jar-testi yardımıyla optimize edilmiş ve çeşitli konsantrasyonlarda kirlilik içeren nehir sularının arıtılmasında KDI, renk ve bulanıklık parametreleri izlenmiştir. Elde edilen sonuçlar nehir suyu arıtımında polielektrolitlerin kullanımı açısından ümit verici bulmuştur.

Şengül (1983) tekstil sanayi atıksularında organik madde ve renk giderme konusunda çalışmıştır. Çöktürücü olarak demir (II) sülfat, alüminyum sülfat ve uçucu kül kullanılmıştır. Renk giderme için aktif karbon ve sodyum hidro sülfit ( $\text{Na}_2\text{S}_2\text{O}_4 \cdot 2\text{H}_2\text{O}$ )'de denenmiştir. 2 g/l alüminyum sülfatla KDI'de % 85 ve renkte % 35 giderim sağlanmıştır. 1 g/l demir (II) sülfatla KDI'de % 78 ve renkte % 38 giderim sağlanmıştır. 6 g/l uçucu külle KDI'de % 75 ve renkte % 36 giderim sağlanmıştır. Uçucu külün tekstil sanayi atıksularında renk gidermede alüminyum sülfat ve demir (II) sülfat kadar verimli olduğu gözlenmiştir.

Boya endüstrisi atıksularında pihtilaştırma-yumaklaştırma-çökeltme işleminden sonra üstte kalan atıksu ile evsel atıksu 2/1 oranında

karıştırılmış ve elde edilen atıksu aktif çamur yöntemiyle arıtılıarak % 95 tesis arıtım verimine ulaşılmıştır(Baban ve Çamlılar, 1986).

Şengül (1983) tarafından yapılan çalışmada bazı zeytinyağın tesislerinden alınan atıksuların kirlilik özellikleri belirlenmiştir. Atıksuların arıtımı için kireçle kimyasal pihtilaştırma ve flotasyon denenmiştir. Çalışma sonunda kimyasal arıtım ve flotasyonla arıtının verimlerinin hemen hemen eşit olduğu belirlenmiştir. Kimyasal pihtilaştırma deneyleri sonuçlarına göre optimum doz BOİ'de % 56 giderim sağlayan 10 g/l CaO olarak belirlenmiştir. Kimyasal pihtilaştırma ve flotasyonun ayrı ayrı önarıtım işlemi olarak zeytinyağı işletmeleri atıksularının arıtımında etkin olduğu belirlenmiştir.

Yapılan bir çalışmada üniversitelerde sanatsal ve mesleki aktiviteler sonucunda oluşan atıksuların boyanın giderimi incelenmiştir. Organik maddeler aktif karbonla adsorpsiyon yöntemiyle giderilirken ağır metaller demir (III) klorürle giderilmiştir(Ikatsu et al., 1987).

Atıksu arıtımında kullanılan pihtilaştırcılar (alüminyum sülfat ve demir (III) klorür) çamurların anaerobik çözütmelerini olumsuz etkilemektedir. Yapılan bu çalışma çözütmeligili pihtilaştırcılardan en çok etkilenen organik maddelerin belirlenmesini içermektedir. Ham atıksu, aktif çamur, proteinler, glisin, selüloz, glükoz, bütirik ve palmitik asitler üzerinde çalışılmıştır. Ham atıksu Cayuga Heighs NY (ABB) atıksu arıtım tesisinden alınmış olup, evsel atıksuları içermektedir. Üzerinde yapılan maddelerin çözütmeligilikleri suda çözünmemeleri ya da alüminyum ve demirle kompleks oluşturmalarından fazlaca etkilenmektedir. Amino asitler, proteinler, uzun zincirli asitler özellikle etkilenirken, glükoz ve bütirik asit etkilenmemektedir. Selüloz ilimli olarak etkilenir. Kimyasal etkileşimlerin pihtilaştırcı etkisini belirlemeye öncü vardır(Dentel and Gosset, 1981).

Wang (1977) tarafından yapılan bir çalışmada evsel kaynaklı karışık bir atıksu büyük ama taşınabilir sisteme 750 mg/l toz karbon 50 mg/l katyonik pihtilaştırcı ilave edip durultma işleminden sonra dictomit içeren süzgeçten sürülerek arıtılmış ve bulanıklıkta % 99,9; BOİ'de % 81 arıtım sağlanabilmiştir.

Bir başka çalışmada evsel atıkların arıtımında birleşik fizikokimyasal ve biyolojik sürecin kullanılabilirliği incelenmiştir. Pihtilaştırma-yumaklaştırma basamağında  $300 \text{ g/m}^3 \text{ FeCl}_3\text{SO}_4$ ,  $200 \text{ g/m}^3 \text{ Ca(OH)}_2$  ve  $0,5 \text{ g/m}^3$  anionik polimer birlikte kullanıldığından askida katı maddede % 94, BOİ'de %74,

KOI'de % 72 giderim sağlanmıştır. İkinci basamak olan biyolojik filtrasyonda saf oksijen kullanılarak 20 kg BOİ/(m<sup>2</sup>)(gün) yükleme için askida katıda % 71, BOİ'de % 54 giderim sağlanmıştır. Böylece sistemin toplam etkinliği çok yüksek olmaktadır(Picard, 1978).

Yapılan bir çalışmada akrilamid ve akrilik asit monomerlerinin değişik molar oranları ile beş anyonik polielektrolit hazırlanmıştır. Optimum flokulasyon koşulları polielektrolit ve numunenin özelliklerine bağlı olarak belirlenmiştir. Çalışmalarda yapay bulanıklık ve alkaliliğin sağlandığı atıksu kullanılmıştır. Alüminyum sulfat ve polielektrolitler için optimum hızlı karıştırma süresi 1-2 dk yavaş karıştırma süresi 10-25 dk ve karıştırma şiddeti 20-30 devir/dk olarak belirlenmiştir. Flokulasyonun etkinliğinin ortamın pH degeriyle ters orantılı olduğu gözlenmiştir. KOİ ve koliform bakterilerinde sırasıyla % 65 ve 98 azalma olduğu belirlenmiştir(Bhaskar and Gupta, 1987).

Demokratik Alman Cumhuriyeti ve Sovyetler Birliğinde ortaklaşa yürütülen bir çalışmada (Böhler et al., 1978) pihtilaştırcı (flokalant) maddelerin içme ve kullanma suyu hazırlanmasında, kolloidal bulanıklık ve renk veren maddelerin gideriminde çok önemli rol oynadığı; özellikle metal tuzları yanısıra organik polielektrolitlerin kullanımının çökelme davranışını iyileştirdiği belirlenmiştir. Ayrıca filtre işleminden önce pihtilaştırcı madde ilavesi filtre verimini artırmaktadır. Bu uygulama özellikle aşırı yükleme durumlarında yararlı olmaktadır. Atıksu arıtımında pihtilaştırcı madde kullanımı özellikle biyolojik olarak arıtılamayan endüstriyel atıksulara önemlidir. Fosfor giderme amacıyla da bu maddeler kullanılabilmektedir ve bu işlem sırasında üfürme arıtımla erişilebilecek nitelikte atıksu elde edilebilecek şekilde BOİ, KOİ ve bulanıklık giderimlerinde sağlanabilmektedir. Biyolojik arıtımla arıtılabilen atıksularda yalnızca biyolojik arıtım uygulamakla elde edilecek su niteliği; pihtilaştırma-yumaklaştırma-çökelme-süzme işlemleri dizisiyle erişilenden daha düşüktür. Ancak evsel atıksularda biyolojik arıtım daha ekonomiktir.

Çamurun mekanik işlenmesi sırasında özellikle pihtilaştırcı ilavesi olumlu etki yapmaktadır. Organik pihtilaştırcılar içme suyu hazırlamada kullanılacaksa monomer içermemelidir(Böhler et al., 1978).

## 2 SULARI KIRLEΤEN BAZI KAYNAKLAR

Günümüzde kentlerde ya da yakın çevrelerinde kurulmuş, özellikle kimya, besin, kağıt, deri endüstrisi gibi çeşitli fabrikalarda oluşan atıksular; kentsel atıklar ve kanalizasyon sularının yanında yüzeysel suları kirleten en önemli kaynaklar haline gelmiştir. Fabrikaların yerleşimi, yararlanılan su kaynakları ve kontroller için pratik gerekliliklerin değişik olması nedeniyle, genel olarak kullanılabilecek kontrol kriterleri ve standartların belirlenmesi çok güçtür. Fabrikalardan çıkan atıksuların kirlilik özellikleri kullanılan suyun doğasına bağlıdır ve atıksuyun boşaltılacağı alıcı ortamın kullanım amacına göre değişebilir. Bu amaca göre alıcı sular; halkın kullanabileceği, balık ve sudaki canlıların yaşamalarını sürebilecekleri, zirai amaçla ya da endüstriyel olarak kullanılabilecek sular şeklinde gruplara ayrılabilir. Buna göre belirli kirleticilerin sınır değerleri belirlenebilir (Santaniello, 1971).

Atıksuların genel kirlilik özellikleri ve bunlara neden olan kaynaklar Çizelge 2.1'deki gibi özetlenebilir.

Çizelge 2.1 Atıksuların kirlilik özellikleri ve bunlara neden olan kaynaklar (Pekin, 1983)

Atıksuyun kirlilik özelliği	Kirlenmeye neden olan kaynaklar
1) Fiziksel Kirlenme	
Renk	Kentsel ve endüstriyel atıklardan
Koku	Doğal organik maddelerin ayrışmasından
Sıcaklık	Kentsel ve endüstriyel atıklardan
Katı tanecikler	Doğal organik maddelerin ayrışmasından Özellikle endüstriyel
	Kentsel ve endüstriyel atıklardan
	Toprak aşınmasından (erozyon)
2) Kimyasal kirlenme	
Karbonhidratlar	Kentsel ve endüstriyel atıklardan
Yağlar, petrol ve gresler	Kentsel ve endüstriyel atıklardan ve petrol tankerlerinin depolarını yıkayarak denize dökümlerinden (sintine ve balast suyu)

## Çizelge 2.1. (devam)

Pestisitler	Endüstriyel ve tarımsal atıklardan
Fenoller	Endüstriden
Proteinler	Kentsel ve endüstriyel atıklardan
Yüzey aktif maddeler	Kentsel ve endüstriyel atıklardan
Öteki organik maddeler	Endüstri atıkları ve doğal organik maddelerin ayrışmasından
Klorür	Kentsel ve endüstriyel atıklardan, topraktan, suların sertliklerini gidermek amacıyla kullanılan iyon değiştirmicilerden
Ağır metaller	Endüstriden
Azot	Kentsel, endüstriyel ve tarımsal atıklardan
Fosfor	Kentsel, endüstriyel ve tarımsal atıklardan
Kükürt	Kentsel ve endüstriyel atıklardan
Zehirli bileşikler	Endüstriden
Hidrojen sülfür	Endüstriden, özellikle kentsel atıkların bozunmasından
Metan	Kentsel atıkların havasız ortamda ayrışmasından
pH	Kent ve özellikle endüstri atıklarından
3) Biyolojik kirlenme	
Nayvansal	Açıkta kalan sular ve su arıtma tesislerinden
Bitkisel	Açıkta kalan sular ve su arıtma tesislerinden
Protista	Kentsel atıklardan ve su arıtma tesislerinden
Virüsler	Kentsel atıklardan

Suları kirleten endüstriyel kaynaklardan atıksuları ile çalışılan ikisi izleyen altböölülerde kısaca tanıtılacaktır.

## 2.1. Kağıt Endüstrisinde Su Kirliliği

Kağıt fabrikası ürünlerini genelde katkısız kağıt, kitap kağıdı, ince kağıt, kalın kağıt ve özel türler olarak sınıflandırılabilir.

Katkısız kağıt üretimeinde başlıca askıda katı maddelerin giderimi gereklidir.

Kitap kağıdı ya da basında kullanılan kağıtlar, uygun bir dolgu maddesi genelde kille, kimyasal kağıt hamuru ve mekanik kağıt hamuru karışımlarından üretilir. Genelde parlaklığını sağlamak için kaplamada kil ya da kalsiyum karbonat ve beyazlığı artırmak için titanyum dioksit kullanılır. Temel kirlilik problemi dolgu ve kaplama süreçlerinden gelen minerallerden, lifli parçacıklar ilavesiyle oluşan askıda katı maddeden ileri gelir. Bu tip üretimde biyokimyasal oksijen ihtiyacı da oldukça yüksektir.

Ince kağıt; bu tür kağıtlar dekoratif kağıt dahil tuvalet kağıdı vb'yi kapsar. Bunlar, temelde kimyasal kağıt hamuru ve değişik miktarlarda lif içerir. Kimyasal pihtilaştırma yöntemiyle bu tip üretimlerde oluşan atıksularda biyokimyasal oksijen ihtiyacı ve çökebilen katı madde hacmi azaltılır. Bu atıksularda çok az miktarlarda da çözülmüş madde bulunur.

Kalın kağıtlar; karton, mukavva, inşaat kağıdı vb'yi kapsar. Kalın kağıtların üretimeyle oluşan atıksularda temel kirlilik askıda katı maddelerden kaynaklanır.

Özel kağıtlar; sadece belirli amaçlarla kullanılan kağıtları kapsar (sigara kağıdı gibi).

Kağıt ve kağıt hamuru endüstrilerinde pek çok fabrika aynı ürünü üretir. Fakat bazı fabrikalar kirlilik problemlerini çözmek için ideal yolları kullanır.

Kağıt fabrikası atıksularının özelliklerini beş ayrı grupta inceleyebilir.

Askıda katılar: Lifler ya da lifli parçacıklardan, kaplama ve dolgu maddelerinden (killer, kalsiyum karbonat, titanyum dioksit) ileri gelen katılar kağıt fabrikası atıksularında bulunur. Çökebilen katılar toplam askıda katı yükünün % 75-90'ını içerir. Bunlar çamur halinde alıcı suyun dibine göker. Nehir hızı düşük olduğunda birikerek kokuya neden olabilirler. Çökemeyen kısım titanyum dioksit, kil, parçalanmış dolgu ve kaplama maddelerini içerir. Bu koloidal parçacıklar nehrin güneş ışığından yararlanarak kendi kendini temizleme özelliğini azaltır(Yurtseven, 1987; Shreve, 1985)

Çökebilen organik maddeler: Selülitik lifler, kağıt hamuru yapısında kullanılan, ağaç kütüğünden alınması istenen tek maddedir ve doğrudan kütüğün yaklaşık yarısı lisiz yapıdadır. Dolayısıyla kullanılan kağıt hamuru şurecine bağlı olarak organik maddenin % 50'si desenj edilebilir. Bu atığın önceliği bilyum olım şekeri, karbonhidratlar ve diğer bileşiklerden oluşur. Bu maddeler suındaki mikroorganizmaları besin maddesi olurlar. Eğer atık küçük ve uniform miktarlarda desenj edilirse yararlı bile olabilir. Fazla miktarlar suındaki mikroorganizmaların aşırı büyümeye neden olur. Oksijen bu büyümeye süreçleri sırasında tüketilir. Çözünmüşt oksijenin tamamı kullanıldığından anaerobik bakteriler aktif hale gelir, gürümeyle beraber hoş olmayan kokular oluşur. Yüksek derişimler nehir yatağındaki çamuru artırır. Çamur büyümesi sonucunda biyolojik denge bozulur.

Estetik kirilik: Renk, köpük, görünürlük kil ve titanyum dioksit parçaları şeklinde kendini gösterebilir. Kağıt endüstrisinin bu problemi çökebilen ve yüzebilen maddelerin birincil arıtımla çiderilmesiyle ortadan kaldırılabilir(Billings, 1984).

Suiki canlıların zehirlenmesine neden olan kirilikler: Bu deha çok kağıt üretimi yanında sabun üretimi söz konusu olduğunda geçerlidir. Fabrika çalışmaya başladığında borularda biriken maddelerin desenji ile balıklar zarar görebilir.

Çökebilen inorganik maddeler: Kağıt endüstrisi atıklarından gelen çökebilen inorganik maddeler büyük sorun yaratır. Alıcı sualtı klarür içeriğinin artması suyun korozyon etkisini artırır. Cozurulmuş inorganik ve organik maddelerin deristirilip, ayrılması ve suyun tekrar fabrikada kullanılması için ileri yöntemler (elektrolytic ve ters osmoz teknik) kullanılmaktadır. Ancak bu teknikler gereklidir ve pahalıdır.

Hazine fabrikalarında kaplama maddesi hazırlamasında bazı fosfatlar kullanılır. Kimyasal arıtımla lansatuvardır ve pilot ölçekteki tesislerde fosfitlerin % 70-80 giderme ulaşılabilmektedir.

## 2.2. Seramik Endüstrisinde Su Kiriliği

Seramik endüstrileri, bezen kil üreticileri ya da silikat endüstrileri olarak bilinirler. Buun nedeni bu endüstri ürünlerein genellikle silikatlarından oluşmasıdır.

Klasik seramik ürünlerinin yapımında, üç ana hamadden kullanılır; bunlar

kil, feldispat ve kumdur. Killar az ya da çok safsızlık içeren hidratize alüminyum silikat olup, volkanik kayaların havadan etkilenmesiyle oluşmuştur ve feldispat önemli bir mineraldir.

Kil mineralleri olarak adlandırılan pek çok mineral türü vardır, fakat bunların en önemli olanları kaolinit ( $\text{Al}_2\text{O}_3 \cdot 2\text{SiO}_2 \cdot 2\text{H}_2\text{O}$ ), montmorillonite [ $(\text{Mg}, \text{Ca})_0 \cdot \text{Al}_2\text{O}_3 \cdot 5\text{SiO}_2 \cdot n\text{H}_2\text{O}$ ] ve illite ( $\text{K}_2\text{O}$ ,  $\text{MgO}$ ,  $\text{Al}_2\text{O}_3$ ,  $\text{SiO}_2$ ,  $\text{H}_2\text{O}$  hepsi değişik miktarlarda)'dır.

Endüstriyel yönden önemli kil minerallerinde, çeşitli miktarlarda feldispat, kuartz ve demir oksitleri gibi diğer safsızlıklar vardır. Seramik endüstrisinde kullanılan killerin hemen hepsinde önde gelen mineral kaolinittir. Bununla birlikte çok yüksek plastiklik istenilen yerlerde, montmorilloniti esas alan bentonit bir miktar kullanılır. Killerin fiziksel özellikleri ve içerisinde bulunan yabancı maddeler çok çeşitlidir, genellikle kalitenin yükseltilmesi gerekebilir. İyileştirme işlemi için köpük flotasyonu da kullanılabilir. Sodyum silikat ve şap gibi uygun bir katkı maddesi ile, klin koloidal özellikleri kontrol edilir.

Feldispatın üç genel tipi vardır, potas ( $\text{K}_2\text{O} \cdot \text{Al}_2\text{O}_3 \cdot 6\text{SiO}_2$ ), soda ( $\text{Na}_2\text{O} \cdot \text{Al}_2\text{O}_3 \cdot 6\text{SiO}_2$ ) ve kireç ( $\text{CaO} \cdot \text{Al}_2\text{O}_3 \cdot 6\text{SiO}_2$ ); bunların tümü belirli bir dereceye kadar seramik ürünlerde kullanılır. Bu mineraller ya klin kendisinde vardır ya da sonradan katılır.

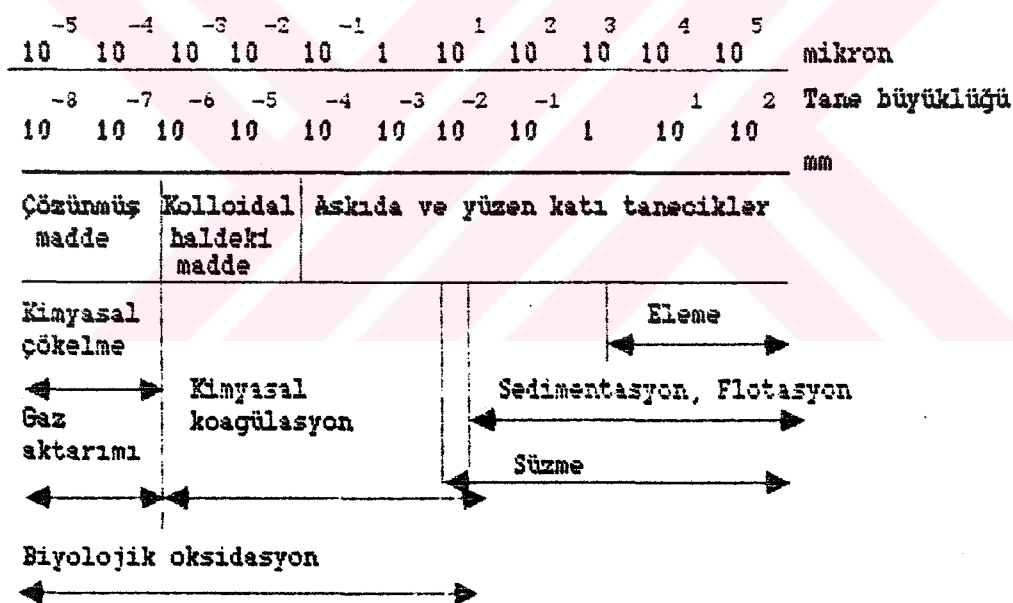
Üç temel maddeden başka eritici madde ve özel refrakter maddesi olarak diğer mineraller, tuzlar ve oksitler de kullanılır.

Üretimde hammaddenin yıklanması sırasında kil ve kaolin atıksularda askıda katı maddenin artmasına neden olur. Elek vb. gibi aletlerin yıkamasında; sırlamada kabin yıkama, bant yıkamada; elçi kalipta yıkama sırasında çok fazla miktarda su kaybı olmaktadır. Oluşan atıksularda özellikle askıda katı madde değeri yüksek olup, sırlamada boyalar ve sırdan kurşun ve kadmiyum sulara karışabilmektedir (Shreve, 1983).

### 3 ATIKSULARI ARITIM YÖNTEMLERİ

Suların çeşitli kullanımlar sonucunda atıksu haline dönüşerek kaybettikleri fiziksel, kimyasal ve biyolojik özelliklerinin bir kısmını ya da tamamını tekrar kazandırabilmek ya da boşaldıkları alıcı ortamın doğal fiziksel, kimyasal ve biyolojik özelliklerini değiştirmeyecək hale getirebilmek için uygulanan fiziksel, kimyasal ve biyolojik arıtım yöntemlerinden biri ya da birkaçıyla atıksular arıtılabilir (Resmi Gazete, 1988).

Atıksuların çözülmüş ve çözünmemiş organik ve inorganik maddeler büyükliklerine göre askıda, kolloidal ve çözülmüş hallerde bulunurlar. Atıksuların tanecik büyüklüğüne göre kullanılan arıtım işlemleri Şekil 3.1'deki gibi özetlenebilir (Pekin, 1983).



Şekil 3.1 Kirletici türne ve tanecik büyüklüğüne göre uygulanan temel arıtım işlemleri.

Atıksularda hastalık yapıcı mikrobiyolojik ya da kimyasal etkenler bulunabilir. Arıtılmamış ya da yetersiz arıtılmış atıksuların yaratacağı kirlilik klorlama ya da ozonlamayla giderilemez. Dozlama ve maliyet önemli faktörlerdir. Ayrıca arıtılmamış atıksuların kimyasal maddelerin elementel klor ile verdiği yeni bileşikler çevreye daha zararlı olabilir. Ancak

aritmidan sonra faydalı kirlenmiş suyu temizleme ve emsalına öncelidir (Faykul vd., 1987).

Atıksuların ileri düzeyde arıtımıları amacıyla aktif karbonla adsorpsiyon, iyon değiştirmelerle istenmeyen iyonları ayırma, ters osmoz yöntemleri kullanılabılır (Pekin, 1992).

Aşağıda temel atıksu arıtım yöntemleri kısaca tanıtılmaktadır.

### 3.1 Fiziksel Yöntemler

Fiziksel arıtımada iri askıda maddeler, yüzebilen ve kendi ağırlığıyla çökünen maddeler atıksularından aşağıda kısaca tanıtlanan düzeneklerle ayrılabilir.

#### 3.1.1 Izgaralar

Belik açığının 5 cm'den büyük olan izgaralar kaba: 0,6 mm ile 5 cm arasında kalınlar orta ve 0,6 mm'den daha küçük olanlar ise izgaralar olarak sınıflandırılır. Genellikle orta ya da kaba izgaralar pompalı istasyonlarda ve arıtım sistemlerinde, büyük yüzen cisimleri ve bez parçalarını tutarak pompaları ve taşıma hatlarını korur. Izgaraların sabit, kaldırılabilen ya da bir eksen etrafında döndürebilen şekillerde olurlar. Kaba izgaralarla 10<sup>6</sup> l atıksu basına 0,6-0,7 l malzeme atıksudan ayırlar. Orta izgaralar yüzebilen maddelerin yüzde 6 ile 12'sini, kaba izgaralar ise en çok yüze bir kacını tutabılır. Orta izgaraların yüzebilen maddeleri tutma yeteneklerini artırıcına çok önemlidir, ancak kimliği, yüksek фирмalarının kaba kum ya da kagit kumunu koymalarını artırır (Büyük, 1987, Peavy, 1966).

#### 3.1.2 Kum tırmıkları

Kum tırmıkları, genel olarak kum, silindirgen şeklinde ilk ya da daha fazla odadan oluşup, atıksuların kolayca ayrılabilecek inorganik maddeleri ayırır. Su hızını 0,15-0,30 m/s arasında tutacak şekilde tasarlanırlar. Kuramsal olarak safla kum, kül ve diğer yüksek yoğunluklu maddeler tutulur ancak pratikte ilgili bir miktarla /azaltı mille de dibe düşer. Kum tırmıkları genelde elle temizlenir. Büyük tesislerde ise mekanik temizleme yapılabilir (Rudolfis, 1967).

### 3.1.3 Yağ yakalama düzenekleri

Önemli miktarda petrol, gres, sabun ve yağları içeren atiksuların önariğini için bu maddeleri sudan uzaklaştıracak özel havuzlar kullanılır. Kısa süre ile (3-5 dakika) suya hava verilirse gres ve petrol zerreleri hava kabarcıklarına yapışarak yüzeye taşınır. Az miktarda asitler ya da klor bunların sudan ayrılmasını hızlandırır. Yağ yakalama havuzlarının yüzeylerinde toplanan maddeler elle ya da mekanik olarak ayrılır. Yağ ve benzeri yüzdürtü cisimlerin hacmi  $7-23 \text{ l/m}^3$  atıksu arasında değişir (Rudolfs, 1967).

### 3.1.4 Çöktürme havuzları

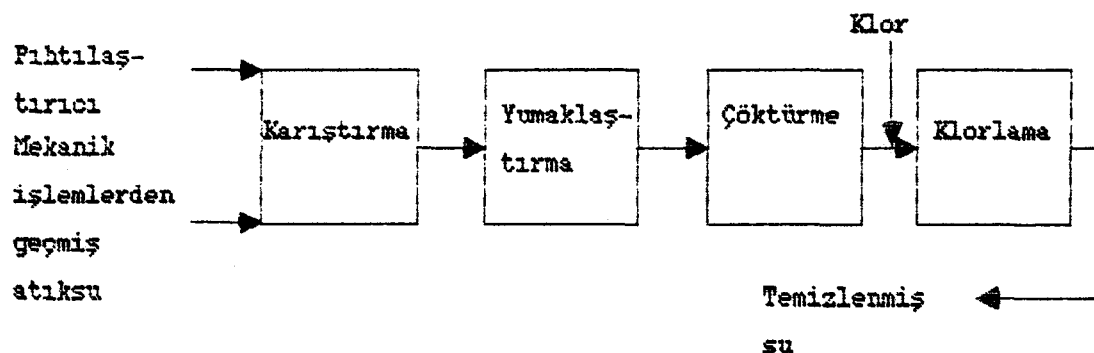
Çökebilen katı maddeler atiksulardan çöktürme havuzlarında ayrılır. Çökelleme hızına etki eden faktörler: atıksuyun viskozitesi; taneciklerin büyüklüğü, şekli, özgül ağırlığı; sıcaklık; suyun mekanik olarak karıştırılması; suya kimyasal madde ve bazı ticari articlar ilavesidir. Çökelleme olayına etki eden faktörler ise; çöktürme havuzunun tasarım şekli, akış hızı ve karışış süresi, atiksuların özellikleri, havuzların temizliği, atıksu çamurlarının uzaklaştırılma şekli, tesisin işletilme yöntemidir. Mekanik olarak temizlenen ilk çöktürme havuzları iki saat karışış süresine göre, elle temizlenenler ise daha fazla karışış süresine göre tasarlanır (Rudolfs, 1967).

## 3.2 Fizikokimyasal Yöntemler

Modern fizikokimyasal arıtım işlemi atıksuya pihtilaştıracı madde ekleyerek çökmemeyen katıları atisksundan ayırmaktan oluşur. Pihtilaştıracı maddeler su içindeki kolloidal parçaları bir araya getirerek yumaklar oluşturur (bkz. Bölüm 4).

Sadece fizikokimyasal arıtım, biyolojik arıtım kadar etkin değildir. Tipik bir fizikokimyasal arıtım tesisi akım şeması Şekil 3.2'de verilmiştir. Atıksu akımıyla orantılı olarak, iyi bir pihtilaşma ve çökebilen yumak oluşturacak miktarda pihtilaştıracı kuru halde ya da çözelti halinde atıksuya eklenir. Pihtilaştıracının atıksuya iyice temas etmesi için hızlı karıştırma uygulanır. Yumaklaştırma biriminde atıksu ya döner kanatlarla ya da hava

verilerek yavaş yavaş karıştırılır. Atıksudaki pihtılar çöktürme havuzundan geçenken çözker. Üstteki berrak su dezenfekte edilip alıcı ortama boşaltılabilir(Rudolfs, 1967).



Şekil 3.2 Fizikokimyasal arıtım tesisi akım şeması(Rudolfs, 1967).

Pihtılaştırıcıların atıksu ile iyice karışması önemli faktörlerdendir. Çabuk çözken yumaklar oluşturmak için atıksularla pihtılaştırıcı maddeler 1 dk hızlı karıştırılıp sonra 20-30 dk süreyle yavaş dönen kanatların arasından geçirilirler.

Fizikokimyasal arıtım işleminin verimi pihtılaştırıcı madde miktarına ve atıksuyun özelliklerine göre değişir. Ekonomik dozlarla  $50 \text{ g/m}^3$  askida katı madde değerine inilebilir. Daha yüksek dozlarla askida katı maddenin % 90 ve BOİ değerinin % 70 kadarı giderilebilir(Rudolfs, 1967).

### 3.3 Biyolojik Yöntemler

Biyolojik yöntemlerde kendi ağırlığıyla çökemeyen asılı ya da koloidal taneciklerle, çözünmüş organik maddelerin giderimi mikroorganizmalar tarafından sağlanır. Bu maddeleri suda yaşayan canlılar besin ve enerji kaynağı olarak kullanır. Bu maddelerin bir kısmı enerjiye dönüştürülürken diğer bir kısmı hücre için gerekli yeni maddelerin biyosentezinde kullanılır. Atıksularda gelişen ve arıtımda önem taşıyan başlıca organizmalar; bakteriler, mantarlar, algler, protozoalar, rotiferler, kabuklular ve virüslerdir. Organizmalar ve buna bağlı olarak arıtım sistemleri, oksijenin kullanılmış kullanılmadığına göre iki ana gruba ayrılır. Birinci grup moleküler oksijenden yararlanan ve oksijen bulunan yerlerde yaşayan aerobik organizmalar, diğer grup ise oksijensiz yerlerde yaşayabilen anaerobik

organizmalardır. Aerobik organizmaların bulunduğu sistemlerde organik karbonlu maddeler oksijenle yükseltgenerek enerji düzeyleri düşük ürünler dönüşür. Azotlu maddeler ise nitrit ve nitratlara yükselir. Havasız ortamda organik maddeler anaerobik mikroorganizmalar aracılığıyla ayrıştırılır. Anaerobik bozunma iki basamakta gerçekleşir. İlk basamakta karmaşık yapıdaki organik maddeler daha basit organik asitlere, ikinci basamakta organik asitler metan ve karbondioksite dönüştürülür(Pekin, 1983).

Biyolojik yöntemler etkin arıtım sistemleri olup yüksek ve hızlı arıtım kapasitesi, az yer kaplaması, pis koku ve zararlı böceklenmenin kontrol edilebilmesi nedeniyle özellikle kentlerde ve yoğun endüstri bölgelerinde yaygın uygulama alanı bulmaktadır(Pekin, 1983).

Uygulamada aerobik arıtım yönteminin kullanıldığı en önemli üç sistem aşağıda kısaca tanıtılmaktadır.

### 3.3.1 Aktif çamur yöntemi

Bu yöntem çok çeşitli atıksulara uygulanabilmesi ve yüksek verim sağlama nedeniyle günümüzde en çok kullanılan biyolojik arıtım yöntemidir. Aktif çamur tesisleri düşük ya da yüksek hızlı olarak çalıştırılabilir. Aktif çamur yöntemi, organik maddeler içeren atıksuların sürekli olarak havalandırılan bir tanka gönderilmesi ve burada mikroorganizmalar topluluğunun etkisiyle arıtılmasına dayanır. Tankta üreyen mikroorganizmalar topluluğu, aktif çamur tankının çıkışında bulunan bir durultucuda göktürülür ve aktif çamur denilen bu çamurun bir kısmı aktif çamur tankına geri gönderilir. Aktif çamur tesislerine genellikle bir öndurultucu da konularak atıksudaki askıdağı katılar çöktütilerek ayrılır. Tankın çıkışındaki son durultucudan alınan arıtılmış suda bulunabilecek mikroorganizmaların zarasız hale getirilmesi için klorlama ya da ozonlama yapılır(Pekin, 1983; Arcenvala, 1973).

### 3.3.2 Damlatmalı filtreler

Damlatmalı filtreler dairesel ya da dikdörtgen kesitli yataklardan oluşur. Yatak; çakıl, taş parçaları, koc, klinker ya da belirli boyutlarda yuvarlak ya da rachig halkalarına benzer biçimlerde plastik maddelerle doldurulmuştur. Dolgu maddelerinin çapı 40 mm dolaylarında olup, boyutlar filtre tabanına doğru 150 mm çapı kadar artırılabilir. Derinlikleri genelde 1-3 m iken son yıllarda özel dolgu maddelerinin kullanımıyla 9-12 m'ye kadar

artırılmıştır. Atıksu filtrenin üstünden, genelde dönen bir dağıticıyla, homojen olarak yayılır. Filtreden gerek arıtulan sular bir boşaltma sistemiyle alınır. Havalanırma filtre tabanından yapılır. Filtre içindeki dolguların yüzeyinde üreyen mikroorganizmalar bir film tabakası oluşturur. Atıksu içindeki organik maddeler滤re içinde ilerlerken film tabakasının dışındaki mikroorganizmalar tarafından aerobik olarak parçalanır. Film tabakasının kalınlaşmasıyla alt tabakalar havasız hale gelir. Tabaka, dolgu maddelerinin yüzeylerine yakın kısımlar atıksu ile temas edemeyecek kadar kalınlığında, buradaki mikroorganizmalar sudaki besin maddeleriyle beslenmediklerinden öleverek kopar. Bu şekilde film tabakası sürekli olarak yenilenir. Filtreden alınan su durultucuya alınarak çamur kısmı ayrılır. Bu çamurun bir kısmı aktif çamur sisteminde olduğu gibi filtreye geri verilir. Damlatmalı filtreler de düşük ya da yüksek hızlı olarak çalıştırılabilir(Pekin, 1983; Rudolfs, 1967).

### 3.3.3 Oksidasyon havuzları

Birincil mekanik işlemlerden geçmiş atıksuların havalanırılmak üzere bırakıldığı geniş havuzlardır. Bu sistemlerde bakteriler tarafından ortama verilen karbondioksit  $\text{CO}_2$  ve  $\text{PO}_4^{2-}$  gibi suya çözünebilen diğer maddeleri klorofil içeren yeşil alglar kullanır. Alglerde oluşan fotosentez olayıyla açığa çıkan oksijen bakterilerin daha hızlı gelişmelerini sağlar. Bu nedenle güneşli havalarda oksidasyon havuzlarında arıtım daha hızlı olur.

Büyük alanlara kurulan ve doğal olarak havalanırılan oksidasyon havuzlarında oksijenin yeterli olmaması durumunda anaerobik koşullar ortaya çıkar ve havuzun dibine göken maddeler çürümeye başlar. Bunun sonucu çevre kirliliği oluşur. Bu durum havuzun derinliğine de bağlıdır. Aerobik oksidasyon havuzları 0,5-1 m derinliğinde olup fazla miktarda algleri içerir. Fakültatif (aerobik-anaerobik) havuzlar 1-2 m derinliğinde olup üst kısmında aerobik altında anaerobik koşullar vardır(Pekin, 1983; Ellis, 1982).

### 3.4 Arıtım Yöntemlerinin Karşılaştırılması

Arıtım yöntemlerinin karşılaştırılabilmesi için kimyasal oksijen ihtiyacı, askida katı madde, bakteri sayısı gibi kirlilik parametreleri seçilmelidir. Seçilen kirlilik parametrelerinde arıtım sonucunda yüzde azalma değerleri çeşitli arıtım yöntemleri için belirlenir. Belirlenen yüzde azalma

değerleri karşılaştırılarak arıtım yöntemlerinin etkinlikleri karşılaştırılabilir. Bu arada çeşitli atıksular için kirlilik parametrelerinin izin verilen sınır değerleri de göz önünde bulundurulmalıdır (Selek, 1988).

Çeşitli atıksu arıtım tesislerini oluşturan birimlerin etkinlikleri Çizelge 3.1'de verilmiştir (Kor, 1974).

Çizelge 3.1 Arıtım tesisi birimlerinin etkinlikleri

Arıtım yöntemleri	% Azalma		
	BOİ'de	AKM'de	Bakteri Sayısında
İnce izgara ya da elek	5-10	5-20	10-20
Ham ya da durulmuş atıksuyun klorlanması	15-30	-	90-95
Çöktürme havuzu	25-40	40-70	25-75
Yumaklaştırma havuzu	40-50	50-70	-
Kimyasal pihtilaştırma havuzu	50-85	70-90	40-80
Yüksek hızlı damlatmalı filtre	65-90	65-92	70-90
Düşük hızlı damlatmalı filtre	80-95	70-92	90-95
Yüksek hızlı aktif çamur sistemi	50-75	80	70-90
Düşük hızlı aktif çamur sistemi	75-95	85-95	90-98
Zemin filtreleri	90-95	85-95	95-98
Biyolojik arıtımından geçmiş suyun klorlanması	-	-	98-99

### 3.5 Çamur Arıtımı ve Faydalanma Süreçleri

Sular arıtildikten sonra, ayrılan çamurların da yeni bir kirlilik oluşturmamaları için arıtılmaları gereklidir.

Ön çökeltme havuzlarında sudan ayrılan, bir miktar geri dönen çamuru da içeren askidaki maddeler kapalı bir yerde anaerobik ayrışmaya (çürütmeye) tabi tutulur. Aktif çamur tesisinden çıkan çamurlar da benzer şekilde çürüttülebilir. Fakat iki tanktan elde edilen çamurun birlikte çürüttülmesi daha iyi bir çözümüdür.

Çamurlar özel kum yatakları üzerine yayılarak suları giderilebilir. Ancak çok büyük kurutma yatakları yerine vakum filtrelerinin kullanımını daha uygundur.

Çamur kekleri yakılabilir, dolgu malzemesi olarak araziye serilebilir. Suyu alınan çamurun çöple karıştırılıp yakılması yoluna da gidilebilir.

Atıksu çamurlarının ikinci derecede gübre ve toprak yapıcı olarak da değeri vardır. Atıksu çamurlarında gübrenin esasını oluşturan bileşiklerden az miktarda bulunur. Ancak toprağa faydalı olacak maddeleri içerir. Toprakların su tutma kapasitesini artırır.

Sıcakta kurumuş aktif çamurlar ve havada çürütmüş çamurlar ziraatte bahçevanlığında ve çiçekçilikte güvenle kullanılabilir (Baykut vd., 1987; Uygan, 1988).

#### 4. KİMYASAL PIHTILAŞTIRMANIN KURAMSAL TEMELLERİ

Kimyasal pihtilaştırma, sulara birtakım kimyasal maddeler ekleyerek çökelme özellikleri iyi olmayan çok ince askıda katı madde ya da kolloidlerin daha iyi çökebilen yumaklar haline getirilmesidir. Bu yöntem atıksuların arıtımında sık sık kullanılan bir yöntemdir. Bu yöntemle boyutları 10<sup>-7</sup>-10<sup>-1</sup> mm arasında olan tanecikler giderilebilmektedir(Fair et al., 1968; Şengül vd., 1982).

##### 4.1 Kolloidler

Kolloidal tanecikler makromoleküllerden ya da küçük taneciklerden oluşur. Kolloidlerin ölçütleri 10<sup>-6</sup>-10<sup>-3</sup> mm arasındadır. Buna göre kolloidlerin atom ve moleküllerle normal süspansiyonlar arasında bir davranış göstermeleri beklenir(Şengül vd., 1982; Constable, 1975).

Katı taneciklerin oluşturduğu kolloidler, ortamdaki sıvı moleküllerine karşı ilgiliyse liyofilik, ilgisizse liyofobik olarak tanımlanır. Kullanılan sıvı ortam su ise, suya karşı ilgili olan kolloidler hidrofilik, ilgisizlerde hidrofobik olarak isimlendirilir. Pek çok kolloidin suya karşı olan ilgisi parçacık çevresinde polar özellik taşıyan -OH, -COOK ve -NH<sub>2</sub> gibi grupların varlığından kaynaklanır. Hidrofilik parçacığın etrafını saran su tabakası hidrasyon suyu ya da bağlı su olarak tanımlanır. Hidrofilik kolloidler bağlı su ile irleşmiş olarak hareket eder. Hidrofobik kolloidler bağlı su kütlesine sahip değildir(Üneri, 1969; Dean, 1956; Şengül vd., 1982; Berkem, 1984).

Kolloidlerin önemli bir özelliği de yüzey alanlarının çok büyük olmasıdır. Bu yüzden adsorplama yetenekleri yüksektir(Berkem, 1984).

Kolloidleri şekillerine göre iki grupta toplamak mümkündür. Küre, küp, elipsoid, disk ve hatta levhaçık şeklinde olanlar yuvarlak kolloidler grubuna; çubuk, iplik ve şerit şeklinde olanlar uzun kolloidler grubuna girerler. Yuvarlak ve uzun kolloidlerin özellikleri arasındaki en büyük fark viskoziteleridir.Uzun kolloidler birbiri içine kolaylıkla girer, ağı yapma özelliği göstererek içlerine çözelti moleküllerini hapseder. Böylece belirli derişimden sonra jel oluşabilir. Yuvarlak kolloidler serbestçe hareket eder ve ağı oluşturmazlar(Üneri, 1969; Voyutsky, 1978).

Kolloidler kimyasal bileşimlerine göre inorganik ve organik olmak üzere ikiye ayrılırlar. Inorganik kolloidler de bileşimlerine göre metal (Au, Ag, Pt

soller), metal olmayan (S, grafit), hidroksit (demir(III)hidroksit) ve tüm kolloidleri ( $\text{AgCl}$ ,  $\text{BaSO}_4$ ) olarak sınıflandırılabilir. Organik kolloidler de homopolar (benzen içinde кауچuk), heteropolar (su içinde protein), hidroksil içeren kolloidler(su içinde glikojen) olmak üzere üç bölümde incelenebilir(Üneri, 1969).

#### 4.2 Yüzey Yükü

Kolloidal proteinler genelde hareketlerini etkileyen elektriksel yüke sahiptir. Parçacık yüzeylerinde elektriksel alan oluşturan yükler birincil yük olarak tanımlanır. Bunlar iki nedenle oluşur (Fair et al., 1968; Şengül, 1982).

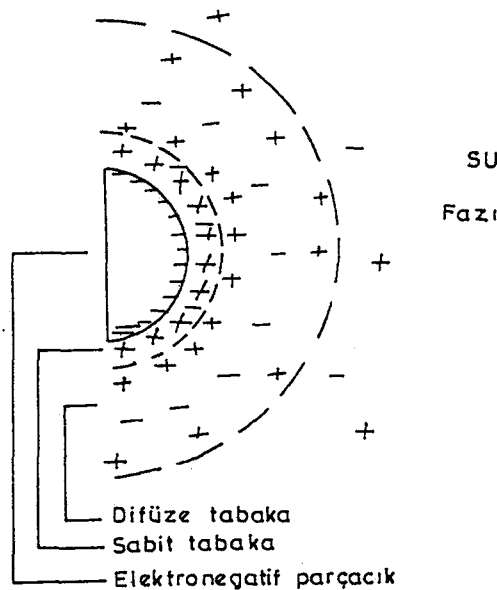
1) Parçacıkları oluşturan moleküllerin üç kısımlarındaki reaktif grupların iyonik açıdan aktifleşmesi,

2) Su içimdeki iyonların kolloidler üzerinde adsorpsiyonu

Hidrofilik kolloidler üzerindeki birincil yükler  $-\text{COOH}$  ve  $-\text{NH}_2$  gibi polar grupların iyonlaşmasıyla olur. Bunların yükleri iyonlaşma derecelerine dolayısıyla ortamın pH değerine de bağlıdır. Yükün sıfır olduğu pH değerine izoelektrik nokta denir. Örneğin protein molekülünün elektriksel yükü; yüksek pH değerinde negatif, düşük pH değerinde pozitif ve izoelektrik noktada sıfırdır. pH'da izoelektrik noktadan sonra artma hidrate amino grupların iyonlaşmasını bastırır ve negatif yüze neden olur, azalma ise karboksilik asit grubunun iyonlaşmasını bastırır ve moleküllerin pozitif yüklenmesine neden olur(Fair et al., 1968; Şengül, 1982).

Hidrofobik kolloidler üzerinde birincil yükler ortadaki iyonların tercihli adsorpsiyonuyla gerçekleşir. Yük pH değerinin değişimiyle değişebileceğinden hidrojen ya da hidroksil gruplarının adsorpsiyonuyla birincil yükler oluşur(Şengül, 1982).

Kolloid parçacığı üzerindeki birincil yük çözeltideki zit yüklü iyonları çeker. Birincil yük, parçacığı çeviren yüklü iyonların zit yüklü tabaka oluşturmasıyla kısmen dengelenir. Bu tamamlayıcı tabaka sabit tabaka adını alır. Bunu çeviren ikinci tabaka ise difüze tabaka (Gouy tabakası) adını alır. Bu tabakadaki zit yüklü iyonların derişimi, sabit tabakada bulunan yüksek derişimlerden sulu fazın derişimlerine kadar değişir. Negatif yüklü bir kolloid parçacığı için çift tabaka Şekil 4.1'de görülmektedir(Fair et al., 1968; Şengül vd., 1982).



Şekil 4.1 Negatif yüklü kolloid parçacığı için çift tabaka(Şengül, 1982)

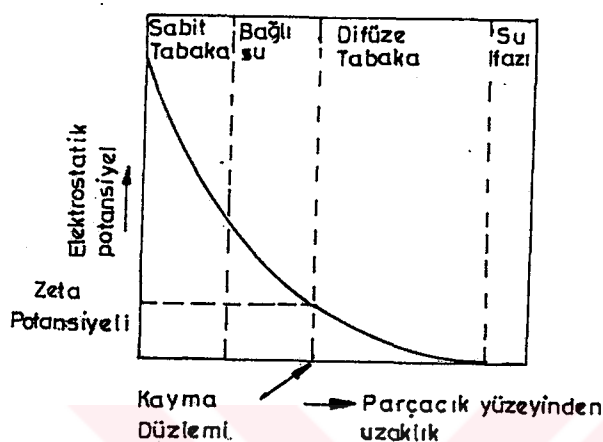
Katyon ve anyonlar arasındaki derişim farklılıklarını elektrostatik alan oluşumuna yol açar. Çözeltinin sulu fazının potansiyelinin sıfır olduğu göz önüne alınırsa çift tabakanın içindeki herhangi bir noktada potansiyel ölçülebilir.

Kayma düzlemi parçacıkla birlikte hareket eden etrafındaki gözelti kısmı ile parçacığın bağımsız hareket edebilen kısmı arasındaki sınırı oluşturur. Hidrofobik kolloidlerde bu düzlem sabit tabakayı difüze tabakadan ayırır. Hidrofilik parçacıklar arasındaki kayma düzlemi dışındaki bağlı su ile çakışır. Bu kayma düzlemindeki potansiyel zeta potansiyeli olarak tanımlanır. Yüklü kolloidal parçacığın çevresindeki elektrostatik potansiyeller Şekil 4.2'de görülmektedir(Fair et al., 1968; Şengül vd.,1982).

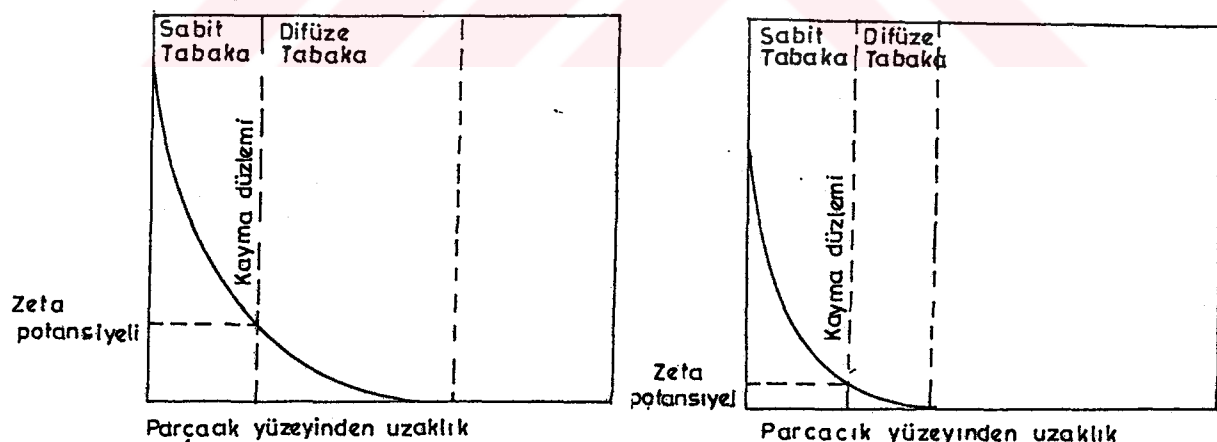
Kolloidal parçacıklar dengede olmadıkları sürece yumuşasıp çöker. Dengeli bir kolloidde parçacığa etki eden çekme ve itme kuvvetleri dengedendir. Çekme moleküller arası van der Waals kuvvetlerinden kaynaklanır. İtme kuvveti ise hidrofobik sistemlerde zeta potansiyelinden kaynaklanırken, hidrofilik sistemlerde hem zeta potansiyelinden hem de parçacığın çevresindeki bağlı su kütlesinden kaynaklanır(Fair et al., 1968; Şengül vd., 1982).

Dengede bulunan kolloidlerin yumuşastırılıp, çöktürülebilmesi için zeta potansiyelinin düşürülmesi gereklidir. Zeta potansiyeli sistemin pH değerini izoelektrik noktaya ayarlayarak düşürülebilir. Bu noktada birincil yük sıfırdır ve zeta potansiyelini oluşturan çift tabaka yoktur. Zeta potansiyeli

kolloidler üzerine zit yüklü iyon ya da kolloidler eklenerek de düşürülabilir. İyonlarla olan pıhtılastırma eklenen iyonun değerligi arttıkça pıhtılastırma yeteneği artar. Hidrofobik bir kolloidin zit yüklü iyonlarla pıhtılastırmasında zeta potansiyeli Şekil 4.3'teki gibi değişir.



Şekil 4.2 Yüklü bir hidrofilik kolloid parçacığı çevresindeki elektrostatik potansiyeller(Şengül vd., 1982).



Şekil 4.3 Hidrofobik kolloidin zeta potansiyelinin zit yüklü iyon kullanımıyla düşürülmesi(Şengül, 1982).

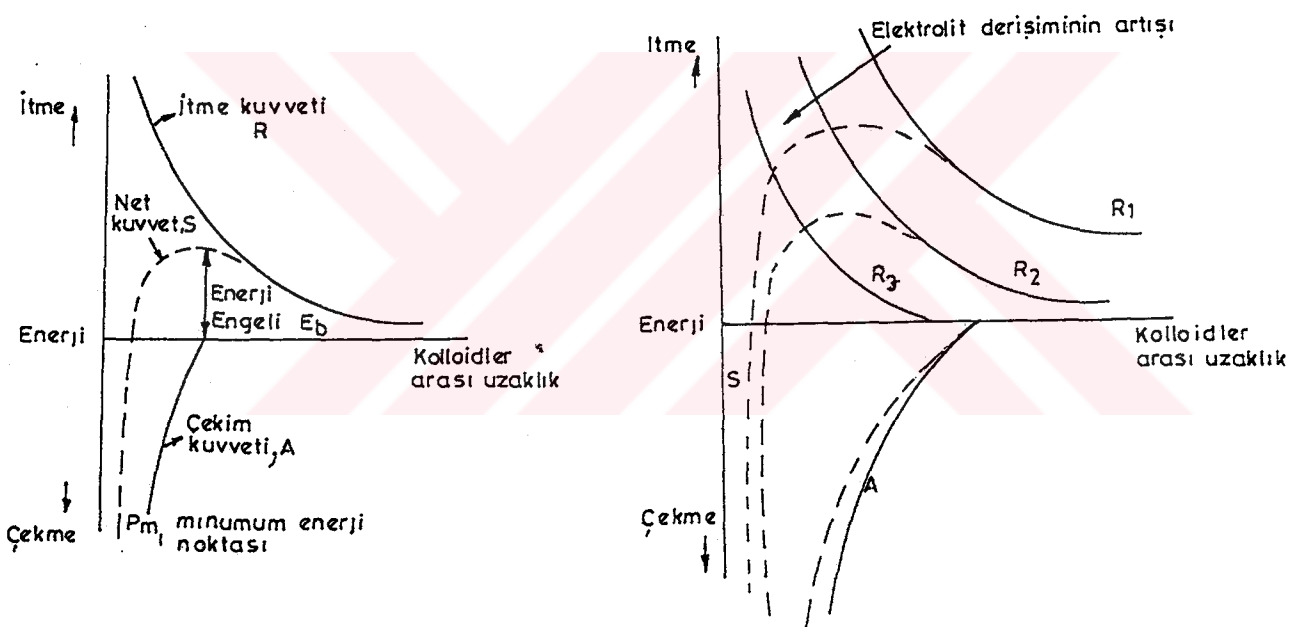
- Zit yüklü iyon eklenmeden önce
- Zit yüklü iyon eklenildikten sonra

Hidrofilik kolloidlerin dengesini bozmak için bağlı suyun uzaklaştırılması

gerekir. Bunun için suya tuz eklenir. Bu tuzların en etkilileri  $\text{SO}_4^{2-}$ ,  $\text{Cl}^-$ ,  $\text{NO}_3^-$ ,  $\text{I}^-$  anyonlarını içerir. Bu anyonlar suya duyarlı olduklarından kolloidlerdeki bağlı suyu ayırip alır (Sengül, 1982).

#### 4.3 Elektrolitlerin Pihtilaştırma Etkileri

Kolloidleri birbirine doğru çeken van der Waals kuvveti kolloidler arasındaki uzaklık arttıkça hızla azalır, uzaklık azaldıkça çekim kuvveti artar; aynı işaretli elektrik yüklerinin birbirlerini itme kuvvetleri önem kazanır. Bu etkilerin net bileşkesi kolloidin iyon şiddetine bağlıdır. Bu durum Şekil 4.4'te görülmektedir (Fair et al., 1968).



Şekil 4.4 İki kolloidal parçacık arasındaki uzaklığın itme ve çekme kuvvetleri üzerindeki etkisi (Fair et al., 1968).

Şekil 4.4'e göre van der Waals çekim kuvvetini gösteren A ve elektrostatik kuvveti gösteren R egrileri toplanırsa net kuvveti veren S eğrisi elde edilir. Minimum potansiyel enerji noktası  $P_m$ 'de dengeye ulaşılır. Bu noktada parçacıklar arasındaki uzaklık yaklaşık olarak sıfırdır ve parçacıklar birleşir. Parçacıkların birbirlerine yaklaşabilmeleri için enerji engeli  $E_b$ 'yi aşmaları gereklidir. Sadece parçacıkların kinetik enerjisi bunu gerçekleştirecek kadar büyük ise kolloidler kararsız hale gelir ve pihtilaşma

olur. İtme kuvvetini gösteren eğrinin şekli pözeltinin elektrolit içeriğine göre değişir. Eklenen elektrolit kolloidlerin yüküne zıt yöndeki iyonları artırır ve itme kuvvetini gösteren eğriyi dikleştirir. Eğrinin şekli aynı zamanda kolloidlerin doğasına, kolloidler tarafından adsorplanan çökürücü iyonların adsorplanma yeteneğine ve iyonların yüküne bağlıdır(Fair et al., 1963; Şengül vd., 1982).

Kolloidlerin enerji engelini aşarak pihtilaşmaları dört şekilde sağlanabilir:

- 1) Kaynatma,
- 2) Dondurma,
- 3) Elektrolitlerin kullanımı,
- 4) Zit yüklü kolloid eklenmesiyle elektrik yükünü nötrleştirecek çökelme.

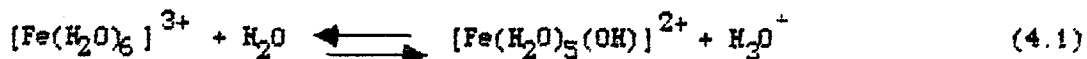
Hidrofobik kolloidlerin pihtilaştırılmasında en çok elektrolit eklemesi yöntemine gidilir. Çok kullanılan çift tabaka sıkıştırması yönteminde kullanılan elektrolitler Çizelge 4.1'de verilmiştir.

Çizelge 4.1 Elektrolitlerin göreli pihtilaştırma yetenekleri

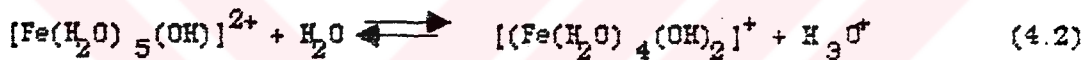
Göreli Pihtilaştırma Yeteneği		
Elektrolit	Pozitif kolloidler	Negatif kolloidler
NaCl	1	1
Ka <sub>2</sub> SO <sub>4</sub>	30	1
Na <sub>3</sub> PO <sub>4</sub>	1000	1
BaCl <sub>2</sub>	1	30
MgSO <sub>4</sub>	30	30
AlCl <sub>3</sub>	1	1000
Al <sub>2</sub> (SO <sub>4</sub> ) <sub>3</sub>	30	>1000
FeCl <sub>3</sub>	1	1000
Fe <sub>2</sub> (SO <sub>4</sub> ) <sub>3</sub>	30	>1000

Çizelgeden de anlaşıldığı gibi elektrolitlerin pihtilaştırma yetenekleri kolloidlerin elektrik yükünün mit işaretine sahip değerlik sayısı arttıkça artmaktadır. Bu kural Schulze-Hardy kuralı olarak bilinir. Bu kurala göre  $\text{Al}^{3+}$  ve  $\text{Fe}^{3+}$  negatif kolloidlerin pihtilaştırılmasında çok etkin olmasına rağmen, pihtilaştırma sırasında serbest halde  $\text{Fe}^{3+}$  ve  $\text{Al}^{3+}$  iyonu ortamda çok azdır. Pihtilaştırmayı sağlayan hidroliz ürünleridir (Fair et al., 1963).

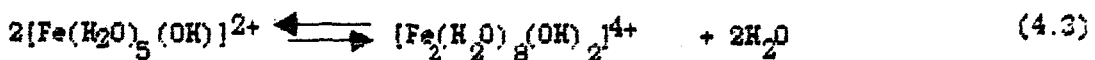
Hidrate metal iyonları Bronsted asitleridir. Demir (III) iyonu için asit-baz dengesi



şeklindedir. Yukarıdaki konjuge baz bir proton daha verebilir.



Benzer alışverişler devam edebilir. Sulu demir (III) iyonunun birinci asitlik sabiti fosforik asidinki gibidir.  $\text{FeCl}_3$ 'ün  $10^{-3}$  M çözeltisinin pH'sının yaklaşık 3,2 olmasına bağlı olarak demir (III) tuzlarının suya eklenmesi pH'de düşmeye alkalilikte azalmaya neden olur. Demir (III) hidroksi kompleksleri polimerleşme eğilimindedir.



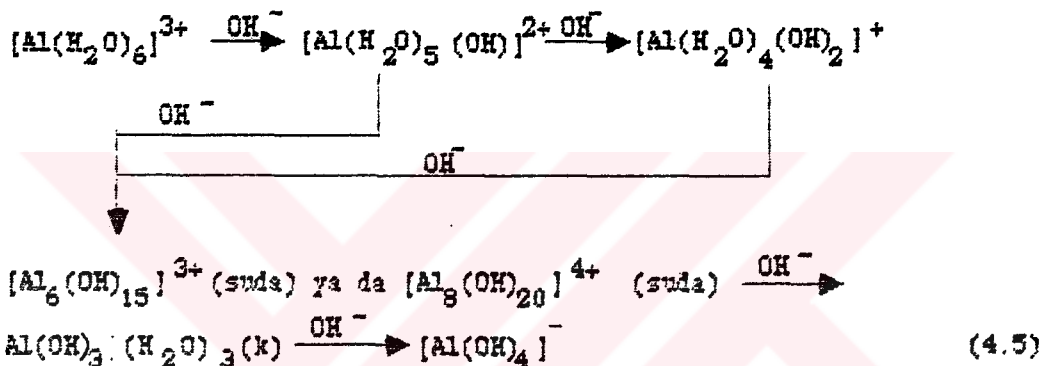
Bundan sonra daha fazla hidroksit bağının yardımıyla daha büyük hidroksi kompleksleri oluşur.



Demir (III) iyonunun hidroksit gruplarıyla düzenlenmesiyle yükü azaltığından iyonlar arasında daha az itme olur ve polimerleşmeye büyük eğilim görülür. Sonuçta kolloidal hidroksi polimerler ve son olarak çözünmeyen sulu demir (III) oksit bu şekilde çöker. Sulu demir (III) oksit polimerik yapısının oluşumu, sulu demir (III) oksidin manyetik momentinin demir (III) tuzlarından küçük olmasına dayanır. Çünkü katyonik demir (III) hidroksi kompleksleri az

asidik ya da nötral çözeltilerde bulunurken pozitif yüklü demir (III) oksit kolloidler bu pH aralığında oluşur. Anyonik hidroksi ferritlerin  $[Fe(OH)_4]^-$  polimerizasyonuna rağmen negatif yüklü kolloidler alkali şartlarda oluşur.

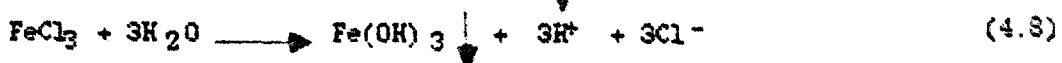
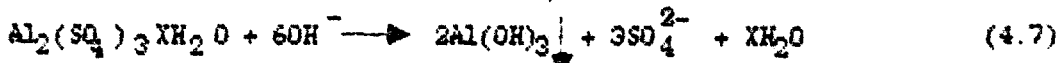
$Al^{3+}$ ,  $Fe^{3+}$  'e benzer şekilde davranışır, ancak onun hidroksizi görünüşte daha karışiktır. Alüminyum tuzları kolayca hidroliz olur. Sudaki alüminyum iyonlarının asitliği demir iyonlarınıninkinden daha düşüktür. Alüminyum tuzu çözeltilerinin pH'sı eşmolar asetik asit çözeltilerinininkile aynıdır. Demir (III) için anlatılanlara benzer şekilde pozitif alüminyum iyonunun basamaklı dönüşümlerle aşağıdaki gibi negatif alüminat iyonuna dönüştüğü varsayılar.



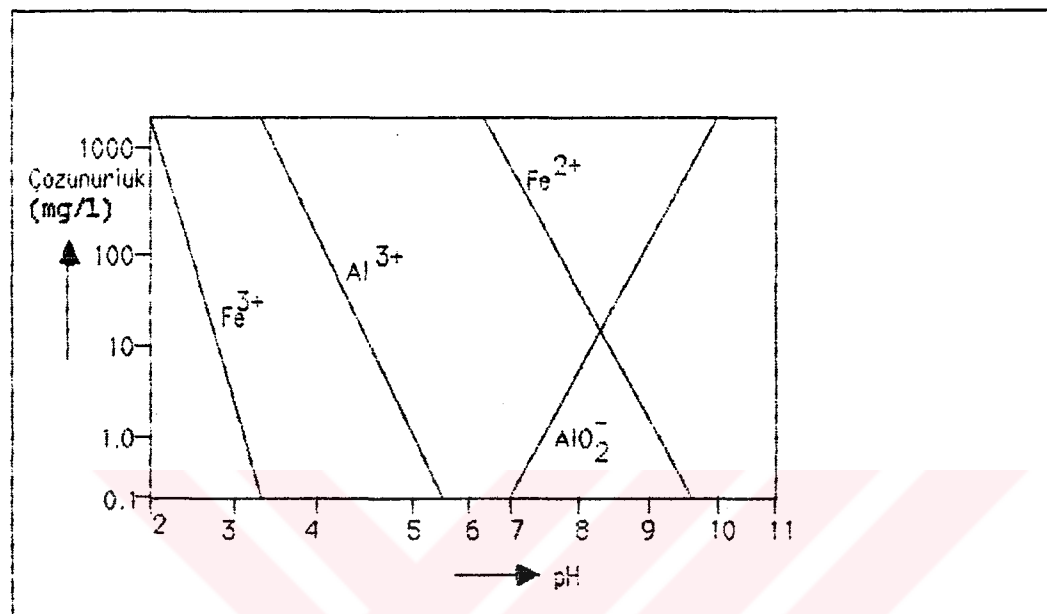
$Al^{3+}$  ve  $Fe^{3+}$  çözeltilerinin yaşıyla hidroliz doğru orantılı olarak artar. Bayat ve taze çözeltilerin pihtilaştırma etkileri oldukça farklıdır. Belli bir metal iyonu derişimi için pihtilaştırma hızı ve etkinliği ortamın pH'ına bağlıdır.

$Fe^{3+}$  ve  $Al^{3+}$ 'den oluşan bileşiklerin çözünürlükleri ortamın pH'ına göre çok değişir. pH<5'te  $Al(OH)_3$  çözünür, pH > 7'de ise alüminatlar oluşur. Alüminyum hidroksidin bu amfoterik özelliği demir (III) hidroksitte görülmez. Bunlar için dengе tepkimeleri ürünlerinin ortamın pH'ına göre çözünürlükleri Şekil 4.5'te görülmektedir.

En çok kullanılan göktürücülerin ortamındaki iyonlarla verebileceği reaksiyonlarının bazıları şunlardır.



Bu çökelmeler sırasında kolloidal tanecikler de sürüklenecek çöker (Şengül vd., 1982).

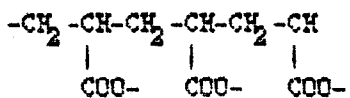


Şekil 4.5 Altıminyum ve demirin hidroksitlerinin çözünürlüklerinin pH'la değişimi.

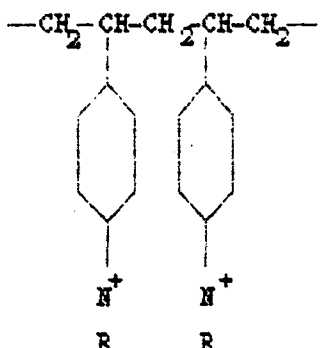
#### 4.4 Polielektrolitler

Polielektrolitler; belirli tekrarlanabilen küçük altbirimlerin bazen iki ya da üç farklı alt birimin, oluşturduğu doğrusal ya da dallanmış zincirlerden oluşur. Altbirimler  $-\text{COOH}$ ,  $-\text{OH}$ ,  $-\text{NH}_2$  ve  $\text{R}_3\text{NR}_2^+$  gibi iyonlaşabilen grupları içerir ve iletken gözelti oluşturur. Biyolojik orijinli polimerler gibi bazı doğal polielektrolitler biyolojik yapının düzenlenmesinde önemlidir. Proteinler, nükleik, peptik ve alginik asitler, polisakkaritler ve pek çok poliasit doğal polielektrolitlerdir. Sentetik polielektrolitler monomerlerin polimerizasyonuyla oluşur. Bu tip uzun zincirli moleküller 2'den  $10^6$ 'ya kadar altbirim içerecek şekilde üretilebilir. Katyonik, anyonik ve amfolidik (hem anyonik hem katyonik) polielektrolitler uygun monomerler yardımıyla hazırlanabilir (Fair et al., 1968; Mo Graw Hill, 1968).

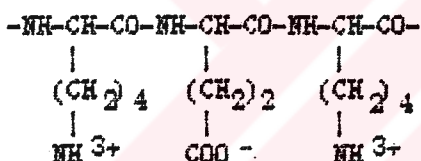
Anyonik poliektrolite örnek poli akrilat,



Katyonik poliektrolite örnek polivinil piridinyum,



amfoltitlere örnek polilisin glutamik asit gibi poli aminoasitler



verilebilir.

Prensipte bu polimerler doğal sularda bulunan bazı poliektrolitik kolloidlerle aynı değildir. Parçacık yükü iyonlaşma derecesine dolayısıyla ortamin pH'ına bağlıdır. Doğal ve sentetik makromoleküllerin kolloid çözeltilerin kararlılığını üzerinde belirgin etkisi vardır. Poliektrolitler su saflaştırma, çamur koşullandırma ve atıksu arıtımında kullanılmış pıhtılaştırıcılardır.

Polimerlerle kolloidal dağılmış katıların yumaklaştırılması;

1) Katılar üzerinde polimerlerin adsorpsiyonuyla,

2) Dağılan kolloidal parçacıklar arasında köprü oluşturmak için poliektrolitlerin parçalarının karşılıklı bağlanmasıyla,

3) Gevşek üç boyutlu yapının oluşması sonucunda gerçekleşir. Prensipte, dağılmış parçacıkların optimum yumaklaştırılması için gereken poliektrolit dozu eğer dağılan parçalar üzerinde poliektrolit için adsorpsiyon izotermi bilinirse tahmin edilebilir. Poliektrolitlerle yumaklaştırma sonucunda süzmeyle hızla giderilebilen poröz yumaklar oluşur.

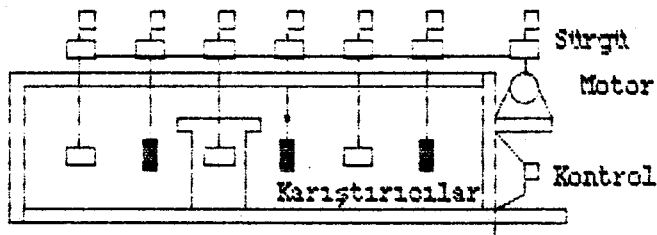
Polyelektrolitlerle yumaklaştırma hizası kurucu mekanizmalarla hidrofil etkileşimlere yol açtığından hidrojen bağı oluşumu ve dimerleyici bağlar elektrostatik etkileşimden daha önemlidir. Buna göre polyelektrolitler yumaklaştırılamak parçacıkların aynı işaretinde net yüze sahip olduklarıunda bile yumaklaşma olasılıkı var. Örneğin negatif yüze Miller, pozitif yüze poliakrilamidlerle uygun şekilde çöktürülebilir. Nötral tuzlarla (odium gibi), kolloidal çözeltilerin pıhtılastırılması tamamen deşistikir; kolloidler birleşir, punkt parçacıkların etrafındaki çift tabakanın itme potansiyeli azalır. İki mekanizmaya göre oluşturulan yumaklar değişik özelliklere sahiptir. Bu nedenle okselme ve suzmede farklı davranış gösterirler(Fair et al., 1966; McGraw Hill, 1992; Misra, 1989).

#### 4.5 Pıhtılastırma Sistemleri

Suların ve atıksuların kalitesi genel bir aralıktaki değişimi gösterdiğinde, pıhtılastırma-yumaklaştırma için gerekli pıhtılastırıcı dozu laboratuvarde hızlı ayarlanabilir karıştırıcıların kullanıldığı jar (kavanoz, deneylerıyla bulunur (Bkz. Sekil 4.6). Pıhtılastırma birçok deşistene bağlıdır ve bu değişkenler de birbirine bağlı olduğundan deneyde değişildiğinde fazla parametre sabit tutulmalıdır. pH değeri pıhtılastırıcının hidrofil ya da iyonlaşmasını etkilediğinden ve kolloidal saflıklıkların yükünden belirlemeye roh oynadığından sabit tutulmalıdır. pH ve alkaliliğin pıhtılastırıcı eklenmesiyle değiştiği unutulmamalıdır. Karıştırma derecesi ve su sıcaklığı da belirlenmelidir.

Pıhtılastırma, kolloidlerin kritik külesini ve pıhtılastırma hızını artıran maddeler (sıvı pıhtılastırma yardımcı maddeler) kullanılarak geliştirilebilir. Az bulanık su veya bulanıklıkta su teder helye ve iyi pıhtılastırılmazdır. O zaman pıhtılastırmaya istenilenlik için suyu bulanıklığı veren kolloidlerle aynı yüze kolloidler eklenir. Bu örnekler benzeri anorganik polyelektrolitler ve aktifleştirilmiş silikadır. Bu maddelerin ilavesiyle kullanılan sıvı pıhtılastırıcı için südeki kolloidlerin kritik külesi artırmadan pıhtılastırma süreci hızlaşır. Basen pıhtılastırma yardımcıları sürecin kinetiginin hızlanmasıyla pıhtılastırıcı dozunu azaltabilir. Aynı zamanda yumakların fiziksel özelliklerini de geliştirebilir. Metal iyon pıhtılastırıcıları içeren çözeltiler de, örneğin

bazı anionlar, polisilikatlar ve diğer anionik polielektrolitler; yoğun, hızla çökebilen ve kolayca filtre edilebilen çökelekler oluşturur.



Şekil 4.6 Gerekli karıştırma hızı ve pihtilaştırıcı kimyasal maddenin optimum dozunun belirlenmesi için laboratuvar düzeneği.

## 5 ATİKSULAR İLE ÇALIŞTAN FABRİKALAR, ATİKSULARDA YAPILAN ARAŞTIRMLAR

### 7.2 İNCELENME, PIHTILAŞTIRMA İLE ARITIM DESEY YÖNTEMİ

Bu bölümde atiksuların özelliklerinin belirlenmesi için yapılan deneysel çalışmalar, pihtilaştırma ile arıtım desey düzeneği ve desey yöntem hakkında bilgi verilecektir.

#### 5.1 Atiksuların Özelliklerinin Belirlenmesi Çalışmaları

Bu çalışmada Bozüyüklük yoresindeki üç seramik fabrikası (A, B, C) ve bir kağıt fabrikası (D) atiksularının özellikleri belirlenmiştir.

A ve B seramik fabrikaları proses atiksuları, arıtım tesislerinde pihtilaştırma-yumaklaştırma yöntemiyle arıtılmaktadır. Pihtilaştırıcı olarak alüminyum sulfat ve superfloc ticari adlı organik polielektrolit birlikte kullanılmaktadır. A İşletmesi ilgililerince isteğimiz üzerine arıtma tesisi çıkışındaki ışık kanala 10 cm genişlikte dikdörtgen kesitli bir savak yerleştirilmiştir. Debi ölçümü bu savak yardımıyla yapılmış örneler de buradan alınmıştır. B İşletmesi ilgililerince de isteğimiz üzerine arıtma tesisi çıkışına uygun bir kanal ve ucuwa 13,5 cm genişlikte dikdörtgen kesitli bir savak yerleştirilmiş bulunmaktadır. Bu savak yardımıyla debi ölçümü yapılmıştır. Savak yardımıyla debi ölçümünde kullanılan ifade

$$Q = 1,84 (L=0,2H) H^2/2 \quad (5.1)$$

şeklidir. Burada, Q debi ( $m^3/s$ ), L savak genişliği (m), H suyu yüksekliğidir (m).

C Seramik Fabrikası atiksuları da pihtilaştırma-yumaklaştırma ile arıtılmaktadır. Pihtilaştırıcı olarak superfloc ticari adlı polielektrolit kullanılmaktadır. Atıksu parsel çıkışına yarınlaç kapılı bir borusu ile geldiğinden savakta debi ölçümü son konusu değildir. Su yüziden debi ölçümü atiksuların parsel çıkışında 35 litrelik derecelendirilmiş bir plastik bicon ve kronometre kullanılarak yapılmıştır.

DİF İNCELENMEDEKİ PARSEL ÇIKIŞI DESTEKLİ DESEY DÜZENEĞİ İLE İNCELENMEDEKİ PIHTILAŞTIRMA-YUMAKLAŞTIRMA YÖNTEMİYLE ARITIM İÇİN TASARLANMIŞ KURULMUS bir arıtım tesisi bulunmaktadır. Tesiste çökürme tankından sonra çamur

filtre-preslerde ve üstten taşan su ise kum süzgeçlerinde süzülerken suyun ıslıkları düzeyde arıtımı amaçlanmıştır. Arıtulan suyun önemli bir bölümü prosese dönüştürülerek kullanılmaktadır. İşletmede zaten bol miktarda alüminyum sulfat kullanıldığı gereklüğüyle atıksu arıtım tesisisinde herhangi bir pihtılastırıcı (flokkulant) kullanılmamaktadır. Arıtma tesisisinden çıkan atıksu ve işletmeden gelen, pek kirli olmadığı söylenen sular birleşerek açık bir kanaldan 50-60 m kadar aktıktan sonra kapalı kanala girmekte ve daha sonra fabrikanın perdesini terketmektedir. İsteğimiz üzerine açık kanalın son ucuna 20 cm yarık açıklığı bulunan dikdörtgen kesitli bir savak fabrika ilgililerince yerleştirilmiştir. Atıksu örnekleri buradan alınmış ve debi ölçümleri de bu savakla yapılmıştır.

Fabrikaların atıksu örnekleri 4 Eylül 1988 tarih ve 19919 sayılı Resmi Gazete'de yayımlanan ve aynı tarihte yürürlüğe giren SKKY uyarınca üç ayrı işgündünde iki saatlik kompozit örnekler halinde alınmıştır. B Fabrikası için yönetmeliğin kağıt sanayileri için öngördüğü (bkz. Ek Açıklamalar-A.2) 24 saatlik kompozit örneklerin alınması bizim için olanaksız olduğundan iki saatlik kompozit örnekler alınmıştır.

Tüm atıksulardan geniş ağızlı 500 ml haciminde şişelerle yarım saatte bir anlık örnekler alınmıştır. Her seferinde debiler, pH ve sıcaklık değerleri ölçülümüştür. Böylece beş kez anlık örnek alınmış ve iki saatin sonunda bu anlık örneklerden debilerle orantılı hacimler alınarak birleştirilmiştir. Böylece kompozit örnekler elde edilmiştir. Kompozit örneklerdeki parametre tayinleri standart olarak kabul edilmiş yöntemlere göre yapılmıştır. B Fabrikası için ayrıca yönetmelikte öngördüğü gibi Imhoff konilerine de birer litre anlık örnekler alınarak bir saat bekleme sonunda çökebilir katı madde hacimleri okunmuştur.

A ve C fabrikalarında seramik gereçler üretimi B Fabrikasında karo ve fayans üretimi yapılmaktadır. Bu yüzden maden sanayi sektörüne (seramik ve topraktan kap kacak yapımı ve benzerleri) sokulabilecek A, B ve C fabrikaları için geçerli parametre sınır değerlerinin yönetmelikte Tablo 7. 4'teki değerler olacağı sonucuna varılmıştır. Burada kimyasal oksijen ihtiyacı, askida katı madde, kurşun, kadmiyum ve pH parametrelerinin sınır değerleri verilmiştir(bkz. Ek Açıklamalar-A.1).

B İşletmesinde satın alınan saf selülozden yola çıkılarak çeşitli kağıtlar üretilmektedir. Selüloz üretimi ve eski kağıt kullanımı yoktur. Bu nedenle yönetmelikteki Tablo 13.5, 6 ve 7'deki değerler geçerli olmaktadır (bkz.Ek Açıklamalar-A.2). Yönetmeliğin 26. maddesi F bendine göre bunların

icinde en kısıtlayıcı olan temel alınmalıdır. En küçük sınır değerler Table 13.5'te yer almaktadır (bkz. Çizelge-A.2). Burada pH, sıcaklık, çökəbilir katı madde, biyokimyasal oksijen ihtiyacı, parametrelerinin sınır değerleri verilmiştir.

A, B, C ve D fabrikalarının atıksularında yapılan analizler aşağıdaki altböölümlede tanıtılacaktır.

### 5.1.1 pH değeri

Bilindiği gibi pH değeri hidrojen iyonu molar derişiminin eksi logaritması olarak tanımlanmıştır.

pH değeri doğal sularda ve atıksularda önemli bir kalite parametresidir. Pek çok doğal suyun pH değeri 4-9 arasındadır. pH değeri örneğin taşınması sırasında değiştireceğinden yerinde ölçülmeliidir. Endüstriyel atıksuların pH değerinin kontrolü hidrojen ve hidroksil iyonu derişiminin ayarlanması gerektirir. pH değeri gerektiğiinde alkali ya da asit ilavesiyle değiştirilebilir. Hidrojen ya da hidroksil iyonunun derişiminin ayarlanması iyon değiştirici sisteminde gerçekleştirilebilir. Sabit yataklı ya da sürekli sistemler kullanılabilir. Sürekli sistemler oldukça etkindir(Santaniello, 1971).

Çoğu biyolojik yaşam türleri için pH aralığı dar ve kritiktir(Tchobanoglous, 1979).

Bu çalışmada atıksuların pH değeri örnek alınırken pH-metre(Elektron-Mag, M-820) ile ölçülmüştür.

### 5.1.2 Sıcaklık

Su sıcaklığını; canlı yaşamına, kimyasal tepkimelelere ve tepkime hızlarına önemli ölçüde etki ettiğinden çok önemli bir parametredir(Kirk Othmer, 1934). Bazı durumlarda ısıl kirlenmeye en ekonomik çözüm prosesinde ısılı kullanımının daha etkin olması ya da daha etkin ısılı değiştiricilerle daha iyi bir şekilde ısının geri kazanımıdır. ısıl kirlenme problemi büyük ölçüde atık soğutma suyundan kaynaklandığından, soğutma kulelerinin kullanımı ya da soğutma suyunun sisteme yeniden kullanımı pratik bir çözümüdür(Santaniello, 1971).

### 5.1.3 Toplam, askıda ve çökebilen katılar

Sudaki ya da atiksudaki askıda (suspense) ve çözünmüş maddelerin uçucu olmayanları katı maddeler olarak adlandırılır. Buharlaşma işleminden ve 103-105 °C'de kurutmadan sonra geriye kalan maddeler toplam katı maddeler olarak adlandırılır ve iki gruba ayrılabilir:

1) Çözünmeyen katı maddeler (toplam askıda katı maddeler); bunlar da iki gruba ayrılabilir:

a) Çökemeyen katı maddeler: kolloidler ve yoğunluğu az olan maddeler

b) Çökebilen katı maddeler: yoğunluğu yüksek olan maddeler

2) Çözünen katı maddeler

Askıda katı madde (AKM) atiksuyun belli hacminin 103-105 °C'de sabit tartıma getirilen filtreden süzülmesi ve sonra filtrenen aynı sıcaklıkta kurutularak sabit tartıma getirilmesiyle tayin edilir. Ağırlık farkı askıda katıları verir. Buradan litrede miligram olarak AKM değeri hesaplanır. AKM tayini evsel atiksuların kirlilik derecesini ve arıtma tesislerinin verimlerini belirlemeye önemli bir parametredir. Arıtma tesisi çıkışında AKM değerinin belli bir limiti aşmasına izin verilmez; çünkü alıcı su ortamlarında çökelmelere ve fazla miktarda dip çamuru oluşumuna neden olur (Şengül vd., 1982).

Çökebilen katı maddeler yerçekimi etkisiyle çöker. Atiksularda çökebilen katı maddelerin ölçümlü, çökelme ünitelerinin hacminin ve veriminin belirlenmesinde önemlidir. Çökebilen katıların tayini Imhoff konisinde yapılır. Süspansiyon bir litrelilik Imhoff konisine konur bir saat çökelmeye izin verildikten sonra çökebilen katı madde hacmi (ÇKMH) ml/l olarak koniden okunur.

Çözünen katılar cam filtreden geçen ve 100 °C'de buharlaştırma ve kurutmadan sonra geriye kalan maddelerdir. Çözünen maddelerin atiksudan uzaklaştırılması güçtür ve pek çok durumda pahalı yöntemler gereklidir (Santaniello, 1971).

Bu çalışmada atiksularda AKM ve ÇKMH tayinleri standart yöntemlere göre yapılmıştır (Standart Methods, 1967).

### 5.1.4 Biyokimyasal oksijen ihtiyacı

Biyokimyasal oksijen ihtiyacı (BOİ) havalı ortamda bakterilerin organik maddeleri parçalayarak kararlı hale getirmesi için gerekli oksijen miktarıdır. BOİ testi evsel ve endüstriyel atıksuların kirlilik derecesini belirlemekte yaygın olarak kullanılır. Arıtma tesislerine gelen kirlilik yükleri ve arıtma tesislerinin verimlerinin belirlenmesinde de kullanılır.

BOİ 20 °C'de karışık bir mikroorganizma topluluğu tarafından kullanılan oksijen miktarının ölçümünü içeren bir yaşam (bioassay) testidir. Oksijenin südaki sınırlı çözünürlüğü yüzünden (20 °C'de 9 mg/l), çok kirli atıklarda, test sırasında kapta çözünmüş oksijen bulunması için bu tip numuneler seyreltilmelidir. Bu test biyolojik bir test olduğundan, işlem sırasında çevresel koşulların canlı organizmaların fonksiyonlarını yapabilmelerine olanak verecek şekilde olması gereklidir. Bakteriyel büyümeye için gerekli tüm besin maddeleri (azot, fosfor ve bazı iz elementler gibi) ortamda bulunmalıdır. Bu nedenle belli miktarlarda atıksu, hazırlanan seyreltme suyu ile seyreltilerek yaklaşık 300 ml'lik özel BOİ şişelerine konur. Seyreltme suyu, fosfor tamponu ( $pH=7,2$ ), magnezyum sulfat, kalsiyum klorür, demir (III) klorür içerir ve çözünmüş oksijenle doymuş haldedir. Eğer atıksu numunesinde organik maddeleri parçalamak için gerekli mikroorganizma yoksa, ortama aşı mikroorganizmalar ilave edilir. Aşı olarak çöktürülerek 24 saat bekletilmiş taze kanalizasyon suyu, toprak özütleri ya da en iyisi BOİ'si tayin edilecek suyun döküldüğü akarsuyun birkaç km aşağıından alınan su kullanılabilir. Aşının BOİ değeri de ayrıca tayin edilmeli ve aşı düzeltmesi yapılmalıdır. Atıksu organik madde (biyolojik besin) sağlar, seyrelme suyu gerekli besin elementlerini ve çözünmüş oksijeni sağlar. BOİ testinde genel tepkime; organik madde ve çözünmüş oksijenin bakteriler tarafından alınıp, karbondioksit ve bakterilere dönüştürülmüşidir. İkinci tepkime ise bakteri hücrelerinin protozoalar tarafından besin olarak tüketilip yeni protozoa hücrelerinin oluşumudur. BOİ şişesindeki çözünmüş oksijenin azalması doğrudan doğruya ayırsabilen organik madde miktarıyla ilgiliidir. Evsel atıksular gibi doğal olarak mikroorganizma içeren atıksularda, dışarıdan ayrıca mikroorganizma (aşı) eklemeye gerek yoktur. Standart BOİ testinde inkübasyon periyodu 20 °C'de 5 gündür.

BOİ testinde oluşan tepkimeler biyolojik aktivitenin sonucudur. Bu yüzden tepkime hızı mikroorganizma topluluğu sayısına ve sıcaklığı bağlıdır.

Tepkime 20 °C'de günlerce devam edebilir. Kuramsal olarak organik maddenin tam biyolojik oksidasyonu için sonsuz zaman gereklidir; fakat pratikte tepkimenin 20 günde tamamlanlığı varsayılmış olabilir. Ancak 20 gün beklemek çok zaman alıcı olduğundan BOİ testinde 5 günlük süre kabul edilerek, inkübasyon süresi 5 gün ile sınırlandırılmış ve BOİs adını almıştır. Beş günlük değerler, toplam BOİ değerinin % 70-80 kadarı olup yeterli görülmüştür (Şengül, 1982; Kirk Othmer, 1984).

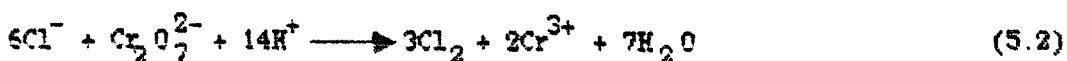
Atıkların BOİs değerleri biyolojik arıtım birimlerinin projelendirilmesinde büyük önem taşır. Arıtım yönteminin seçiminde ve bazı birimlerin boyutlarının saptanmasında da kullanılır. Ayrıca arıtım tesisleri çalışmaya başladiktan sonra çeşitli birimlerin arıtma verimlerini değerlendirmede BOİ testinin kullanımı uygun olmaktadır.

BOİs deneyleri standart yöntemlere göre yapılmıştır (Standart Methods, 1967). Çözünmüş oksijen değerleri oksijenmetre (0-15 g/m<sup>3</sup> kapasitede, Chemtrix Inc. Type 300) ile ölçülmüştür.

#### 5.1.5 Kimyasal oksijen ihtiyacı

Kimyasal oksijen ihtiyacı (KDI) evsel ve endüstriyel atıksuların kirlilik derecesini belirlemeye kullanılan önemli bir parametredir. Biyolojik yaşam için zehirli maddeler içeren kullanılmış sularla, endüstri atıklarında BOİs deneyi sonuçları çok küçük çıkar, hatta sıfır olabilir. Bu durumda BOİs deneyi sonucu bu suyun içerdiği organik madde derişiminin bir ölçüsü olamaz. Böyle durumlarda organik maddelerin yükselgenmesi için oksijen yerine asidik ortamda kuvvetli yükselgen olan kimyasal bir madde kullanılır. Bu amaç için potasyum dikromat çok uygun bir maddedir; ancak bu maddenin yağı asitlerini yükselgenme gücü yetersizdir. Bu gibi durumlarda, ortamda gümüş iyonlarının bulunması katalitik etki yapmakta ve yükselgenme kolaylaşmaktadır. Bu nedenle gümüş sulfatlı sulfütrik asit kullanılır. Bazı aromatik organik maddelerin yükselgenmesi ise hiçbir koşulda mümkün olmamaktadır.

Bazı indirgen inorganik iyonlar, KDI testi ile benzer koşullarda yükselgenebilir ve hatalı sonuçların ortaya çıkmasına neden olur. Ortamda klorür bulunması halinde, bu iyon hem gümüşü çöktürmesi, hem de potasyum dikromat ile redoks reaksiyonuna girmesi açısından girişim oluşturur.

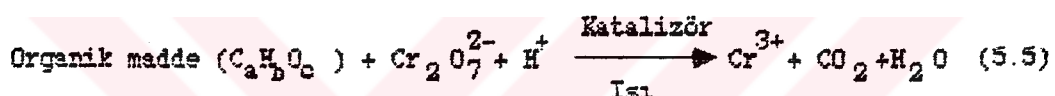




Klorür girişimi, ortama civa sülfat ilavesiyle giderilebilir. Civa iyonu klorür iyonıyla birleşerek zayıf iyonlaşabilen civa klorür kompleksini oluşturur (Şengül vd., 1982).



KOİ tayininde biyokimyasal yükseltgenme yerine kimyasal yükseltgenme gerçekleşir. Krom 6+ değerden 3+ değereye düşerken, organik madde yükseltgenerek, karbon 4+ değerini almaktadır. Bu sırada tüketilen dikromatin oksijen eşdeğerine kimyasal oksijen ihtiyacı denir.



KOİ deneyinde biyolojik olarak ayırt edilemeyecek olanaksızlığı bu parametre için en büyük sakincadır. KOİ değeri genelde BOİ değerinden daha büyütür. Çünkü biyolojik olarak oksitlenebilenden daha fazla bileşliğin kimyasal olarak oksitlenmesi mümkündür. Birçok atık madde için BOİ ile KOİ arasında bir bağlantı vardır. BOİ's ancak 5 günlük deneylerle bulunabileceği halde, KOİ'nin 3 saat içinde tayini mümkündür. Bu bağlantı bilinirse kısa sürede tayin edilebilen KOİ değerlerinden arıtım tesislerinin kontrol ve işletilmesinde yararlanılabilir (Muslu, 1985; Santaniello, 1971).

Bu çalışmada KOİ deneyleri standart yöntemlere göre yapılmıştır (Standart Methods, 1967).

### 5.1.6 Kurşun

Kurşun ve bileşikleri genellikle benzin katkı maddesi, alkil kurşunların, akümlatörlerin, su borularının, insektisitlerin üretiminde, boyaların, tekstil sanayisinde kullanılmaktadır. Elektrolitik kurşun kaplama nadiren uygulanır (bakır ve kalay kaplama ile birlikte elektronik baskı devre üretiminde). Atiksularda kurşun yanında bakır, çinko, nikel katyonları

ve tetrafluoroberat, sülfat anyonları bulunabilir. Deniz suyu örneklerindeki Pb miktarı değişkendir. Kurşun tuzları deniz suyunun pH'sında ( $\text{pH} = 3,1$ ) genellikle çözünmez haldedir. Bu durum tatlı sularda farklıdır(Baykut vd., 1987).

Kurşunun suda çözünen bileşiklerinin deniz canlılarına çok zehirli olduğu kabul edilmekle beraber, suda çözünmeyen ince dağılmış kurşun sülfürün de balıkları 2 ay içinde öldürübildiği belirlenmiştir.

Molloidal ya da organik kurşun bileşiklerinin balık solungaçlarında adsorbe edildiği ve solunan  $\text{CO}_2$  yüzünden pH'sı düşen solungaç yüzeylerinde kurşunun çözünerek dokuya geçtiği sanılmaktadır. Kurşunun kimyasal bileşiklerinin türü kadar ortamin pH'sı, organik maddelerin ve diğer elementlerin varlığı, suyun sertliği gibi faktörler de kurşunun zehirliliğini etkiler. Deniz canlılarının kurşunu biriktirebilmeleri de kurşunun zehirliliğini etkiler(Baykut vd., 1987).

Kurşun, toprakta ortalama 15 mg/kg derişimi ile ömensiz bir elementtir. Topraklara çok büyük miktarlarda eklendiği halde herhangi bir zehir etkisi gözlenmemiştir. Kurşunun çözünebilir şekli toprağa verildiğinde, diğer kimyasal bileşenlerle hızla tepkime vererek çözünmeyen bileşikler verdiği, bu nedenle de topraktaki kurşunun çözünerek yeraltı suyuna karışmasının mümkün olmadığı belirlenmiştir. Atıksuların tipik kurşun derişimi 0,05 mg/l'dir. Yüzey topraklarındaki kurşunun derişimi atıksuların boşaltıldığı suların kullanımıyla artmakla beraber toprakta kurşun birikiminin neden olduğu bitki zehirlenmesi gözlenmemiştir(Doğan, 1998).

İnsan üzerindeki kurşun etkisi, kullanılan kap-kacak, yenen yemekler ve solunan hava yoluyla toplu ölümlere kadar giden sonuçlarla belirlidir. Kurşunun akut toksik etkisi azdır ve kronik zehirlenmelere neden olur. Kurşun esasen insan ve hayvan binyesinde bir miktar bulunur. Normal olarak besinlerden, sulardan ve havadan 0,4 mg/gün Pb insan vücutuna girer. İnsan ve diğer memelilerin dokularında biriken kurşun bir süre sonra zehirlenmelere yol açar. Çocuklar yetiskinlere göre daha kolay kurşun zehirlenmesinden etkilenir. En bilinen çocuk kurşun zehirlenmesi, kurşun içeren boyalı parçalarının çocuk tarafından yutulmasıdır. Kurşun vücutta önce alyuvarlar içeresine girer, hücrenin içindeki demiri dışarı atarak onun yerini alır. Vücutta demir eksikliğine bağlı olan kansızlık ortaya çıkar. Kurşunun fazlası delak, karaciğer, böbrek gibi organlarda bulunmakla beraber en çok kemiklerde toplanır. Kurşunun kükürde karşı eğilimi olduğundan dış kenarlarında ve

bağırsaklarda da bulunur. Kurşun zehirlenmesinin erken döneminde iştahsızlık, zayıflama, yorgunluk, baş ağrısı, anemi, ağızda madeni tat, kansızlık, mide şikayetleri, diş etlerinde mavimtişirak çizgiler görülür. Daha ileri hallerde; buzursuzluk, sinirlilik, tekrarlayan kusmalar, eklem ağruları, ellerde felç, duyu bozuklukları görülür. En ileri ağır şekillerinde ise; yüksek tansiyon, devamlı kusma, beyin ödemi, beyin damarlarında spazm sonucu ortaya çıkan merkezi sinir sistemi bozuklukları kendini gösterir (Baykut vd., 1987; Peker, 1989).

Bu çalışmada kurşun tayini standart yöntemlere göre spektrofotometrik olarak yapılmıştır (Standart Methods, 1967).

Örneğe önce perklorik ve nitrik asitle ya da sülfürik ve nitrik asitle önişlem uygulanarak organik maddeler parçalanır ve sonra ditizonu oksitleme yeteneği bulunan element ve bileşikler hidrazin asetatla indirgenir. Demir (II) ve kalay (IV) iyonları oldukça yavaş indirgendiklerinden, indirgen madde olarak hidrazin asetat kullanımı bazı güçlüklerle yol açabilir. İndirgeme dikkatlice ve yönteme uygun olarak yapılmalıdır. pH 2-3'te ditizon, bakır, bismut, kalay, cıva ve gümrükle kompleks oluşturur. Böylece bismut ve kalay uzaklaşır ve bu nedenle pH 8-9'da kurşun özütlemesinde girişim yapamazlar. Bismut, kalay ya da bakır göreli olarak büyük niceliklerde bulunabileceğinden; bu elementleri özütlemek için ditizonun kloroformda derişik bir çözeltisi kullanılmalıdır.

Girişim yapan elementler uzaklaştırıldıktan sonra, hidroksitlerin oluşumunu önlemek için tartarat matılır ve çözeltinin pH değeri amonyum hidroksit ve sodyum siyanürle 8-9'a getirilir. Sonra kurşun seyreltik bir ditizon çözeltisiyle özütlendirir. Ditizonun fazlası kullanıldığından kurşun ditizonatın pembe rengi fazla ditizonun yoğun yeşil renghiyle maskelenir. Bu fazla ditizon alkali siyanür çözeltisiyle karbontetra klorür evresinden özütlendirir, kurşun ditizonat organik çözeltide kalır. Kurşun ditizonatın çözeltisi belli bir hacme tamamlanır ve spektrofotometreyle 520 nm'de karbontetraklorürüne karşı absorbans belirlenir. Bu çalışmada Shimadsu marka (250-1000 nm kapasitede UV-120-01) spektrofotometre kullanılmıştır.

Yöntem şu elementlerin iyonlarının her birinden 100'er  $\mu\text{g}$  bulunduğuunda 0-75  $\mu\text{g}$  kurşunu tayin etmek üzere geliştirilmiştir: Ag, Mg, Bi, Cu, Cd, As, Sb, Sn, Fe, Al, Cr, Ni, Co, Mn, Zn, Ca, Ba, Mg, Na, K ve  $\text{NH}_4^+$  (Standart Methods, 1967).

### 5.1.7 Kadmiyum

Demir-çelik, kadmiyum, çinko, kurşun ve bakır üretiminde; saflaştırma ve ekstraksiyonunda kullanılan süreçler ana kadmiyum kaynaklarıdır.

Kadmiyumun ana kullanım yerleri; elektrolitik kaplama, boyalar, mürekkep ve plastiklerde kullanılan pigmentler, çoğunlukla PVC için kullanılan plastik stabilizatörler, alaşımalar, nikel-kadmiyum pilleridir. Lastik sertleştirilmesi, fotoğrafçılık, kaydırıcılar, özel aynalar, fungisitlerin ve insektisitlerin üretimi, televizyon tüpleri, nükleer santrallerde merkezsel çubuk üretiminde de kadmiyum kullanım alanı bulur.

Kadmiyum gerek atmosfer yoluyla gerekse drenajlarla su sistemlerine geçmektedir. Bu çeşitli kaynaklardan ekosisteme geçen kadmiyum normal şartlarda iz halinde bulunmasına rağmen bazı organizmalarda yüzlerce defa daha fazla birikmektedir. Bunun sonucunda da gıda zinciri yoluyla insanlarda, özellikle kadmiyumunun üretiliği ve kullanıldığı endüstri dalında çalışan işçilerde kronik bozukluklar, hipertansiyon ve kanser vakalarının meydana geldiği görülmektedir. Besin yolu ile geçen kadmiyum böbrek ve kemik hastalıklarına (Itai-Itai hastalığı) yol açar. Kadmiyumun etkisiyle böbrek-üstü bezlerine olumsuz etkiler, kansızlık, kadın ve erkek yumurtalıklarında doku harabiyeti ve indirgenmiş hemoglobin düzeyleri gözlenmiştir. İnsan vücutu yaklaşık 30 mg kadar kadmiyum içerir ve normal olarak günde 0,2-0,5 mg kadmiyum özümlenir (Baykut vd., 1987; Tunçer, 1983).

Kadmiyum ve çinko arasında kuvvetli bir metabolik ilişki vardır ve patojenik tehlike bu iki elementin birlikte birikimi ile birleşir. İnsanlarda çinko genellikle çok az absorbe edilir ve çoğu dışarı atılır.

Japonya'da bir çinko maden işletmesinin atıksularıyla kirlenmiş suların suladığı pirinç tarlalarında toplanan pirinçte, Japon pirinçinin içeriği ortalamaya kadmiyum düzeyinin 10 katı kadmiyum bulunmuş ve bu pirincin yemesiyle yaklaşık 100倍 olmayı olmuştur (Tunçer; 1983).

Kadmiyum ve çinko toprağın kimyasal özelliklerine göre bitki zehirlenme etkisi gösterir. Tüm topraklardaki bitki büyümesi bu metallerin topraktaki derişimlerinin artması ve absorpsiyonlarının hızlanmasına bağlıdır. Kadmiyum ve çinkonun zehir etkisi, asidik topraklarda, nötr ve kalkerli topraklarda gözlenenden daha düşük derişimlerde gerçekleşir. Bu elementler toprakta diğer eser elementlerden daha çok sorun oluşturur.

Doğal topraklarda kadmiyum derişimleri 0,05-1,5 mg/kg ve tipik derişim

0,3 mg/kg'dır. Pırıltı türlerine göre kadmiyum da gösterilen toleransın genis bir aralıktır değildir. Örneğin ispirnak oldukça duyarlı bir türdür. Pırıncı ise oldukça toleranslidir (Jegan, 1968).

Kadmiyum iyonları difenilhikarbazona (ditizon) koyu karmızı renkli bir bileşik verir ve bu kloroformla çözütlerek kadmiyumin kolorimetrik tayininde kullanılabilir.

Organik maddeleri parçalamak için  $\text{HNO}_3\text{-H}_2\text{SO}_4$  ya da  $\text{HNO}_3\text{-HClO}_4$  ile örtüklerin önyükleminden sonra bulunabilecek büyük nicelikteki gümüş  $\text{Ag}^{+}$  şeklinde çözütlür. Bakır ve cıva geride kalan gümüşle birlikte, pH 2'de kloroformdaki ditizon çözeltisiyle özütlenerek uzaklaştırılır. Çözeltinin pH'sı 9 yapılır ve nikel, dimetilglikosin katılarak ve kloroformla özütlenerek uzaklaştırılır; eğer kobalt varsa dimetil glikosinle komplekslaşır ve ditizona tepkimeye girmez. Sonra çözelti kuvetelli bazık yapılır ve kadmiyum kloroformdaki ditizon çözeltisiyle özütlenir. Bu bazık çözeltiden kadmiyuma beraber özütlenen çinko, kloroform çözeltisi 0,5 M NaOH ile yıkandırıktır. Sonunda kloroformdaki kadmiyum ditizon kompleksi 515 nm'de ölçülür.

Üzerilen süreci izlemişi zaman en büyük girişim fazla nicelikteki çinko'dan olur. Eğer çinko/kadmiyum oranı büyükse (500/1'den büyük) kadmiyumuza son hali kullanırmak güçtür ve düşük sıcaklıklar elle edilir. 2,5 ile 25 µg arasındaki niceliklerde kadmiyum, bakır kobalt ve çinkonun her birinden 0,25 µg ayrıca gümüş, cıva, kurşun, bismut, arsenuk, astımom, kalay, krem, alüminyum, demir, manganez, nikel, siyanür, tıvosülfat, fosfat, sulfit, tıvosiyonat, carterat, asetat ve diğer yaygın iyonların her birinden 2,5 µg bulunusa da kolejce tayin edilebilir. Son kloroform çözeltisinde 515 nm'da 0,01'lik net absorbans vermesi için gereklili kadmiyum niceligi yaklaşık 0,5 µg'dır.

Tıntemin yok duyarlı olması ve kadmiyum iyonlarının yüzeylerde kolejce soyulması nedeniyle örtük alıcı kapların temiz olması önemlidir. Folietlenen kaplar tercih edilir. Cam kayalar normal temizlemeden sonra 1+1  $\text{HNO}_3$  ile çalkalanmalıdır ve sonra yasilen danitilmiş suyla durulmalıdır.

Kadmiyum tayini standart yöntemlere göre yapılmıştır (Standart methods, 1967; Yıldırın, 1969).

### 5.2 Pihtilaştırma ile Arıtım Deney Düzeneği ve Deney Yöntemi

Atıksuların arıtımında en iyi pihtilaştırıcı ya da pihtilaştıracı karışımıyla miktarının tayini ve uygun koşulların belirlenmesi için Jar (kavonoz) testi yapılır.

Bu çalışmada çöktürücü olarak  $\text{Al}_2(\text{SO}_4)_3 \cdot 18\text{H}_2\text{O}$ ,  $\text{FeCl}_3 \cdot 6\text{H}_2\text{O}$  ve polielektrolitler (Batı Almanya'nın BASF firmasının "sedipur" ve ABD Cyanamid firmasının "superfloc" adlı maddeleri ) kullanılmıştır. Ayrıca  $\text{Al}_2(\text{SO}_4)_3 \cdot 18\text{H}_2\text{O}$  ve superfloc'un bir arada kullanımı da denenmiştir.

Pihtilaştırma-yumaklaştırma deneyleri C ve D fabrikalarının ham atıksularında yapıldı.

Temiz litrelik beherlere iyice çalkalanarak alınan atıksuya belirli dozarda kimyasal madde eklendi.  $\text{Al}_2(\text{SO}_4)_3 \cdot 18\text{H}_2\text{O}$  ve  $\text{FeCl}_3 \cdot 6\text{H}_2\text{O}$  küçük beherlerde hassas olarak tartılarak kullanıldı. Sedipur'un (1 mg/ml'lik) ve superfloc'un (0,3 mg/ml'lik) çözeltileri kullanıldı. Kimyasal maddeler atıksu örneklere hızlı karıştırma anında eklendi. İki dakika hızlı karıştırmadan sonra 10 dakika beşteşle yavaş karıştırıldı. Hızlı karıştırma mekanik karıştırıcı (EMSA-MKI) ile yapıldı. Çökelmenin gerçekleşmesi için 1 saat bekletildi. Ayrıca çökelme hızlarını gözlemek üzere beherlerdeki atıksuların üst seviyesinden itibaren duru bölge yükseklikleri belirli zaman aralıklarıyla ölçüldü. Hızlı karıştırma çöktürünün homojen dağılıminin sağlanması için yavaş karıştırma ise yumaklaştırma için gereklidir. Çökelmeden sonra üstteki berrak kısım sifonla uygun şişelere alındı ve +4 °C'de buzdolabında analizler için saklandı. Bu arıtılmış atıksularda pH, MOI ve AKM tayinleri yapıldı.

## 6. DENEYSEL BULGULAR

A, B, C seramik fabrikaları ve D Kağıt Fabrikası arıtım tesisleri çıkışından alınan kompozit örneklerde SKKY'nin öngördüğü parametreler tayin edilmiştir. Bu analizlerin sonuçları bu bölümde verilecektir. Daha sonra C ve D fabrikalarının ham atiksularında çeşitli pihtılaştırıcılarla pihtılaştırma-yumaklaştırma ile arıtım deneyleri yapılmıştır. Bu deneylerin sonuçları da izleyen altbölümde verilecektir.

### 6.1 Arıtım Tesislerinden Çıkan Atiksuların Özellikleri

Fabrikaların arıtım tesislerinden çıkan atiksuların analiz sonuçları aşağıdaki altbölümlerde verilmiştir. Analizler standart yöntemlere göre yapılmıştır (Standart Methods, 1967). Atiksuların pH değeri, sıcaklığı, debisi ve D Fabrikası için ayrıca ÇKMH anlık örnekler alınırken ölçülmüştür. Diğer parametrelerin tayinleri için kompozit örnekler uygun şekilde korunarak analizler laboratuvara yapılmıştır.

#### 6.1.1 A Seramik Fabrikası atiksularının Özellikleri

A Seramik Fabrikasından üç ayrı işgündünde alınan iki saatlik kompozit örneklerin analiz sonuçları Çizelge 6.1, 2 ve 3'te verilmiştir. Kompozit örnekler için verilen debi değerleri anlık örneklerin debilerinin aritmetik ortalaması alınarak; sıcaklık ve pH değerleri anlık değerlerin debilere göre ağırlıklı ortalaması alınarak elde edilmiştir. Diğer parametrelerin değerleri ise kompozit örnekler üzerinde yapılan analizlerle belirlenmiştir. Üç işgünü için aritmetik ortalama değerler SKKY sınır değerleriyle birlikte Çizelge 6.4'te verilmiştir.

Çizelge 6.1. 26.10.1988 tarihinde A Seramik Fabrikası arıtım tesisi çıkışından alınan atıksu örneklerinin analiz sonuçları (hava sıcaklığı 8 °C ve yağmurlu, örnekler pek az bulanık ve kokusuz)

Parametre	Anlık örneklerin alınış saati					Kompozit örnek
	14.40	15.10	15.40	16.10	16.40	
Debi( $m^3/saat$ )	11,56	11,56	11,56	11,56	11,56	11,56
Sıcaklık(°C)	14,0	14,0	14,0	14,0	14,0	14,0
pH	9,05	9,05	9,05	9,00	9,00	9,03
KOI (mg/l)						17,9
AKM (mg/l)						22,5
Cd (mg/l)						0,00
Pb (mg/l)						0,00

Çizelge 6.2. 28.10.1988 tarihinde A Seramik Fabrikası arıtım tesisi çıkışından alınan atıksu örneklerinin analiz sonuçları (hava sıcaklığı 7 °C ve kapalı, örnekler pek az bulanık ve kokusuz)

Parametre	Anlık örneklerin alınış saati					Kompozit örnek
	10.26	10.56	11.26	11.56	12.26	
Debi( $m^3/saat$ )	1,18	0,38	10,55	11,56	11,55	6,84
Sıcaklık(°C)	11,0	11,0	11,0	11,0	11,0	11,0
pH	8,25	8,45	8,45	8,55	8,50	8,49
KOI (mg/l)						25,1
AKM (mg/l)						27,0
Cd (mg/l)						0,00
Pb (mg/l)						0,00

Çizelge 6.3. 3.11.1988 tarihinde A Seramik Fabrikası arıtım tesisi çıkışından alınan atıksu örneklerinin analiz sonuçları ( hava sıcaklığı 12 °C ve güneşli, örnekler pek az bulanık ve kokusuz)

Parametre	Anlık örneklerin alınmış saatı					Kompozit örnek
	11.45	12.15	12.45	13.15	13.45	
Debi( $m^3$ /saat)	2,49	15,12	0,47	15,12	0,00	6,64
Sıcaklık( °C)	14,0	14,0	14,0	14,0	14,0	14,0
pH	8,80	8,75	8,75	8,75	8,75	8,75
KDT (mg/l)						10,6
AKM (mg/l)						46,0
Cd (mg/l)						0,00
Pb (mg/l)						0,00

Çizelge 6.4. A Seramik Fabrikası arıtım tesisi çıkışından alınan atıksu örneklerinin kirlilik parametrelerinin üç iş günü için ortalama değerleri

Parametre	Üç iş günündeki ortalama değer	SKKY sınır değerleri
Debi( $m^3$ /saat)	8,35	-
Sıcaklık( °C)	13,0	-
pH	8,76	6-9
KDT(mg/l)	17,9	80
AKM(mg/l)	31,9	100
Pb(mg/l)	0,00	1,00
Cd(mg/l)	0,00	0,10

### 6.1.2 B Seramik Fabrikası atıksularının Özellikleri

B Seramik Fabrikasından üç ayrı işgünden alınan iki saatlik kompozit örneklerin analiz sonuçları Çizelge 6.5, 6 ve 7'de verilmiştir. Kompozit örnek için verilen değerler Alt Bölüm 6.1.1'deki gibi bulunmuştur. Üç işgünü için aritmetik ortalama değerler SKYD sınır değerleriyle birlikte Çizelge 6.8'de verilmiştir.

**Çizelge 6.5. 26.10.1998 tarihinde B Seramik Fabrikası arıtım tesisi çıkışından alınan atıksu örneklerinin analiz sonuçları (hava sıcaklığı 8 °C ve yağmurlu, örnekler bulanık ve kokusuz)**

Parametre	Anlık örneklerin alınmış saati					Kompozit örnek
	11.55	12.25	12.55	13.25	13.55	
Debi(m <sup>3</sup> /saat)	6,63	5,30	5,30	5,30	19,72	9,45
Sıcaklık( °C)	16,5	16,0	16,0	16,0	16,0	16,1
pH	8,20	8,15	8,10	8,05	8,00	8,10
KOİ (mg/l)						50,2
AKM (mg/l)						43,0
Cd (mg/l)						0,00
Pb (mg/l)						0,00

**Çizelge 6.6. 28.10.1998 tarihinde B Seramik Fabrikası arıtım tesisi çıkışından alınan atıksu örneklerinin analiz sonuçları (hava sıcaklığı 8 °C ve yağmurlu, örnekler az bulanık ve kokusuz)**

Parametre	Anlık örneklerin alınmış saati					Kompozit örnek
	10.40	11.00	11.40	12.10	12.40	
Debi(m <sup>3</sup> /saat)	17,84	23,77	24,09	17,84	23,77	24,09
Sıcaklık( °C)	16,0	15,0	15,0	15,0	15,0	15,2
pH	9,05	9,05	9,15	9,15	9,15	9,11
KOİ (mg/l)						39,4
AKM (mg/l)						179,0
Cd (mg/l)						0,00
Pb (mg/l)						0,00

Çizelge 6.7. 3.11.1988 tarihinde B Seramik Fabrikası arıtım tesisi çıkışından alınan atıksu örneklerinin analiz sonuçları (hava sıcaklığı 12 °C ve güneşli, örnekler çok bulanık ve son iki örnek pembe renkli, kokusuz)

Parametre	Anlık örneklerin alınış saati					Kompozit örnek
	11.35	12.05	12.35	13.05	13.35	
Debi( $m^3$ /saat)	7,97	14,84	13,39	20,93	20,61	15,55
Sıcaklık( °C)	16,0	16,0	16,0	16,0	16,0	16,0
pH	8,45	8,45	8,45	8,50	8,60	8,50
KOI (mg/l)						17,7
AKM (mg/l)						541,0
Cd (mg/l)						0,00
Pb (mg/l)						0,00

Çizelge 6.8. B Seramik Fabrikası arıtım tesisi çıkışından alınan atıksu örneklerinin kirlilik parametrelerinin üç işgünü için ortalama değerleri

Parametre	Üç işgündeki ortalama değer	SKTY sınır değerleri
Debi( $m^3$ /saat)	16,3	-
Sıcaklık( °C)	15,8	-
pH	8,50	6-9
KOI(mg/l)	35,8	30
AKM(mg/l)	254,3	100
Pb(mg/l)	0,00	1,00
Cd(mg/l)	0,00	0,10

### 6.1.3 C Seramik Fabrikası atıksularının özellikleri

C Seramik Fabrikasından üç ayrı ışığında alınan iki saatlik kompozit örneklerin analiz sonuçları Çizelge 6.9, 10 ve 11'de verilmiştir. Kompozit örnekler için verilen değerler Alt Bölüm 6.1.1'deki gibi bulunmuştur. Üç ışığını için aritmetik ortalama değerler SKYI sınır değerleriyle birlikte Çizelge 6.12'de verilmiştir.

**Çizelge 6.9.** 19.1.1989 tarihinde C Seramik Fabrikası arıtım tesisi çıkışından alınan atıksu örneklerinin analiz sonuçları (hava sıcaklığı 5 °C ve güneşli. Örnekler biraz bulanık ve kokusuz)

Parametre	Anlık örneklerin alınmış saati					Kompozit Örnek
	10.30	11.00	11.30	12.00	12.30	
Debi(m <sup>3</sup> /saat)	0,00	0,00	0,00	18,00	13,00	6,20
Sıcaklık( °C)	-	-	-	8,0	8,0	8,0
pH	-	-	-	8,50	8,50	8,50
KDİ (mg/l)						43,0
AKM (mg/l)						76,0
Cd (mg/l)						0,20
Pb (mg/l)						1,08

**Çizelge 6.10.** 14.2.1989 tarihinde C Seramik Fabrikası arıtım tesisi çıkışından alınan atıksu örneklerinin analiz sonuçları (hava sıcaklığı 7 °C ve güneşli. Örneklerin görünümü hafif bulanık ve koku yok)

Parametre	Anlık örneklerin alınmış saati					Kompozit Örnek
	14.00	14.30	15.00	15.30	16.00	
Debi(m <sup>3</sup> /saat)	21,60	15,80	15,80	15,80	15,80	17,00
Sıcaklık( °C)	8,0	9,0	9,0	9,0	9,0	9,0
pH	8,30	8,40	8,50	8,40	8,40	8,40
KDİ (mg/l)						41,0
AKM (mg/l)						11,0
Cd (mg/l)						0,04
Pb (mg/l)						1,40

Çizelge 6.11. 22.5.1989 tarihinde C Seramik Fabrikası arıtım tesisi çıkışından alınan atıksu örneklerinin analiz sonuçları (hava sıcaklığı 18 °C, kapalı ve yağmurlu; örnekler biraz bulanık ve kokusuz)

Parametre	Anlık örneklerin alınış saati					Kompozit örnek
	14.00	14.30	15.00	15.30	16.00	
Debi( $m^3$ /saat)	27,10	29,10	27,10	28,90	0,00	28,10
Sıcaklık( °C)	19,0	19,0	19,0	19,0	-	19,0
pH	8,10	8,10	8,10	8,15	-	8,11
KDI (mg/l)						19,5
AKM (mg/l)						48,4
Cd (mg/l)						0,00
Pb (mg/l)						0,00

Çizelge 6.12. C Seramik Fabrikası arıtım tesisi çıkışından alınan atıksu örneklerinin kirlilik parametrelerinin üç işgünü için ortalama değerleri

Parametre	Üç işgündeki ortalama değer	SKKY sınır değerleri
Debi( $m^3$ /saat)	17,10	-
Sıcaklık( °C)	12,0	-
pH	8,34	6-9
KDI(mg/l)	34,5	80
AKM(mg/l)	45,1	100
Pb(mg/l)	0,83	1,00
Cd(mg/l)	0,08	0,10

#### 6.1.4 D Kağıt Fabrikası atıksularının Özellikleri

D Kağıt Fabrikasından üç ayrı işgündünde alınan iki saatlik kompozit örneklerin analiz sonuçları Çizelge 6.13,14, ve 15'te verilmiştir. Kompozit örnekler için verilen debi değerleri anlık örneklerin debilerinin ortalaması alınarak; sıcaklık, pH değerleri ve ÇKMİ anlık değerlerin debilere göre ağırlıklı ortalaması alınarak elde edilmiştir. Üç işgünü için aritmetik ortalama değerler SKYT sınır değerleriyle birlikte Çizelge 6.16'da verilmiştir.

Çizelge 6.13. 20.10.1988 tarihinde D Kağıt Fabrikası arıtım tesisi çıkışından alınan atıksu örneklerinin analiz sonuçları(hava sıcaklığı 13 °C ve çok hafif yağışlı, örnekler biraz bulanık ve H<sub>2</sub>S kokulu)

Parametre	Anlık örneklerin alınış saati					Kompozit örnek
	10.45	11.15	11.45	12.15	12.45	
Debi(m <sup>3</sup> /saat)	42,80	30,00	27,60	71,20	3,14	34,95
Sıcaklık( °C)	26,0	27,0	28,5	28,0	26,0	27,4
pH	5,30	5,15	5,50	5,25	5,20	5,28
ÇKMİ (ml/l)	0,00	0,30	0,20	0,00	0,40	0,09
BOİ <sub>5</sub> (mg/l)						40,0
KDİ (mg/l)						332,6

Çizelge 6.14. 26.10.1988 tarihinde D Kağıt Fabrikası arıtım tesisi çıkışından alınan atıksu örneklerinin analiz sonuçları (hava sıcaklığı 9 °C ve yağmurlu, örnekler pek az bulanık ve kokusuz)

Parametre	Anlık örneklerin alınış saati					Kompozit örnek
	10.45	11.15	11.45	12.15	12.45	
Debi(m <sup>3</sup> /saat)	25,20	22,80	26,10	25,20	26,60	25,18
Sıcaklık( °C)	23,0	22,0	23,0	23,0	22,0	23,3
pH	8,55	8,65	9,15	9,10	9,05	8,91
ÇKMİ (ml/l)	0,30	0,30	0,20	0,00	0,30	0,22
BOİ <sub>5</sub> (mg/l)						82,0
KDİ (mg/l)						118,3

Çizelge 6.15. 23.10.1988 tarihinde D Kağıt Fabrikası arıtım tesisi çıkışından alınan atıksu örneklerinin analiz sonuçları (hava sıcaklığı 7 °C ve kapalı, örnekler biraz bulanık ve hafif  $H_2S$  kokulu)

Parametre	Anlık örneklerin alınış saatı					Kompozit örnek
	10.15	10.45	11.15	11.45	12.15	
Debi( $m^3/\text{saat}$ )	2,40	2,40	2,40	0,47	2,40	2,01
Sıcaklık(°C)	23,0	24,0	23,0	20,0	30,0	24,7
pH	7,20	5,65	7,90	7,85	7,60	7,12
ÇEMİ (ml/l)	0,40	0,70	0,20	0,30	1,50	0,68
BO <sub>T</sub> <sub>5</sub> (mg/l)						76,1
KOİ (mg/l)						207,9

Çizelge 6.16. D Kağıt Fabrikası arıtım tesisi çıkışından alınan atıksu örneklerinin kirlilik parametrelerinin üç işgünü için ortalama değerleri

Parametre	Üç işgündeki ortalama değer	SMKE sınır değerleri
Debi( $m^3/\text{saat}$ )	20,70	-
Sıcaklık(°C)	25,8	-
pH	7,10	-
ÇEMİ (ml/l)	0,33	0,50
BO <sub>T</sub> <sub>5</sub> (mg/l)	66,0	40,0
KOİ (mg/l)	219,6	100

Fabrika ilgililerinin istediği üzerine ikinci kez D Fabrikasından atıksu örnekleri alınmıştır. Üç ayrı işgünde alınan iki saatlik kompozit örneklerin analiz sonuçları Çizelge 6.17, 18 ve 19'da verilmiştir. Üç işgünü

için aritmetik ortalama değerler SKKY sınır değerleriyle birlikte Çizelge 6.20'de verilmiştir. SKKY'nde sınır değerler hem derişim (mg/l) hem de birim üretim başına kirlilik yükü (kg/t) olarak verilmiştir. Bu yüzden birim üretim başına kirlilik yükleri işletme ilgilileri tarafından verilen günlük toplam kağıt üretim verileri yardımıyla hesaplanmıştır. Bu veriler 18.7.1989 günü 155,100 ton; 19.7.1989 günü 162,600 ton ve 20.7.1989 günü 150,000 ton şeklindedir. İki saatlik kompozit örneklerin günlük ortalama değerleri temsil ettiği varsayımlı ile önce bir gündeki BOİş ve KDI değerleri bulunur ve o günü kağıt üretimiine bölünerek birim üretim başına kirlilik yükü elde edilir.

Çizelge 6.17. 18.7.1989 tarihinde D Kağıt Fabrikası arıtım tesisi çıkışından alınan atıksu örneklerinin analiz sonuçları (ortalama hava sıcaklığı 30 °C, parçalı bulutlu, örnekler bulanık ve H<sub>2</sub>S kokulu)

Parametre	Anlık örneklerin alınış saati					Kompozit örnek
	15.25	15.55	16.25	16.55	17.25	
Debi(m <sup>3</sup> /saat)	33,57	77,07	63,12	63,12	63,12	60,00
Sıcaklık( °C)	34,0	32,0	34,0	34,0	35,0	33,7
pH	8,05	7,70	7,80	7,70	7,45	7,71
CEMH (ml/l)	0,30	0,50	2,00	1,00	0,20	1,00
BOİ <sub>5</sub> (mg/l)						33,3
KDI <sub>5</sub> (kg/t)						0,82
BOİ (mg/l)						318,5
KDI (kg/t)						4,89

Çizelge 6.18. 19.7.1989 tarihinde D Kağıt Fabrikası arıtım tesisi çıkışından alınan atıksu örneklerinin analiz sonuçları (ortalama hava sıcaklığı 27 °C, parçalı bulutlu, örnekler çok az bulanık ve kokusuz)

Parametre	Anlık örneklerin alınış saati					Kompozit örnek
	10.35	11.05	11.35	12.05	12.35	
Debi(m <sup>3</sup> /saat)	56,84	37,70	0,22	37,70	1,31	26,75
Sıcaklık( °C)	35,0	35,0	34,0	35,0	33,0	35,0
pH	7,25	7,20	7,25	7,25	7,30	7,24
ÇRMH (ml/l)	0,40	1,80	0,00	0,00	0,00	0,70
BOT <sub>5</sub>	(mg/l)					57,5
	(kg/t)					0,23
KOT	(mg/l)					200,0
	(kg/t)					0,79

Çizelge 6.19. 20.7.1989 tarihinde D Kağıt Fabrikası arıtım tesisi çıkışından alınan atıksu örneklerinin analiz sonuçları (ortalama hava sıcaklığı 24 °C, çok bulutlu örnekler biraz bulanık ve kokusuz)

Parametre	Anlık örneklerin alınış saati					Kompozit örnek
	12.25	12.55	13.25	13.55	14.25	
Debi(m <sup>3</sup> /saat)	59,68	56,84	65,42	62,54	62,54	61,40
Sıcaklık( °C)	36,0	36,0	36,5	36,0	36,0	36,1
pH	6,50	6,65	6,70	6,75	6,75	6,67
ÇRMH (ml/l)	0,10	0,00	0,00	0,00	0,00	0,00
BOT <sub>5</sub>	(mg/l)					33,7
	(kg/t)					0,33
KOT	(mg/l)					274,1
	(kg/t)					2,69

Çizelge 6.29. D Kağıt Fabrikası arıtım tesisi çıkışından alınan atıksu örneklerinin kirlilik parametrelerinin üç işgünü için ortalama değerleri

Parametre	Üç işgündeki ortalama değer	SKKY sınır değerleri
Debi( $m^3$ /saat)	49,38	-
Sıcaklık( $^{\circ}\text{C}$ )	34,9	-
pH	7,21	-
ÇMMH (ml/l)	0,6	0,5
BOİ <sub>5</sub>	(mg/l)	59,8
	(kg/t)	0,46
KDI	(mg/l)	264,2
	(kg/t)	2,79

6 Seramik Fabrikası ve D Kağıt Fabrikası atıksularında SKKY'nde öngörülen sınır değerler en azından bazı parametreler bakımından aşıldığından arıtım tesislerinin etkin şekilde çalışmasını sağlamak amacıyla CvE'D işletmelerin ham atıksularından örnekler alınarak pihtilaştırma-yumaklaştırma deneyleri yapılmış ve sonuçlar izleyen altbölümde verilmiştir.

## 6.2 Pihtilaştırma-Yumaklaştırma Yöntemiyle Arıtım Sonuçları

Fabrikaların her ikisi de atıksuların arıtımında pihtilaştırma-yumaklaştırma yöntemini kullanmaktadır. Bu yüzden C ve D Fabrikaları ham atıksularının pihtilaştırma-yumaklaştırma yöntemiyle arıtımı üzerinde çalışılmıştır.  $\text{Al}_2(\text{SO}_4)_3 \cdot 18\text{H}_2\text{O}$ ,  $\text{FeCl}_3 \cdot 6\text{H}_2\text{O}$  ve poliselektrolitler (Batı Almanya'nın BASF firmasının sedipur ve ABD Cyanamid firmasının superfloc adlı maddeleri ) çöktürücü olarak kullanılmıştır. Ayrıca  $\text{Al}_2(\text{SO}_4)_3 \cdot 18\text{H}_2\text{O}$  ve superfloc'un birarada kullanımı da denenerek etkin çöktürücü dozunun belirlenmesine çalışılmıştır. Bu bölümde arıtım deneylerinin sonuçları verilerek, çöktürücü niceliğine karşılık arıtılmış sudaki pH, KDI ve AXI

değerleri grafiğe geçirilmiştir. Ayrıca göküş hızlarını karşılaştırmak için çökelme sırasında belirli zaman aralıklarıyla atıksuların üst seviyesinden itibaren ölçülen duru bölge yükseklikleri de bu bölümde verilmiştir.

#### 6.2.1 C Seramik Fabrikası atıksuyunun pihtilaştırma- yumaklaştırma ile arıtım sonuçları

Fabrikadan belli bir günde ve anda alınan ham atıksuyun özellikleri, SKKY'nde öngörülen sınır değerlerle beraber Çizelge 6.21'de verilmiştir. Arıtım hedefi sınır değerlerini aşan parametrelerin bu sınırların altına düşürülmemesidir.

**Çizelge 6.21. C İşletmesinden 22.5.1989'da saat 16.15'te alınan ham atıksuyun özellikleri (hava yağışlı, su çok bulanık)**

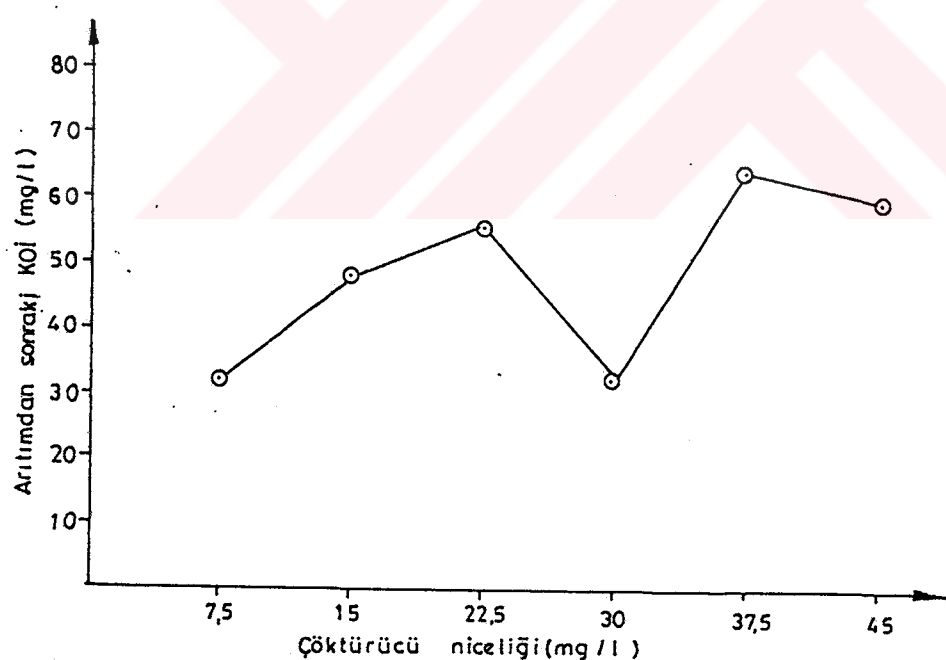
Parametre	Ham atıksu	SKKY sınır değerleri
Sıcaklık (°C)	20,0	-
pH	7,89	6-9
AKM (mg/l)	4194	100
ÇKMH (ml/l)	10,0	-
KOİ (mg/l)	82,7	80,0
Cd (mg/l)	0,00	0,10
Pb (mg/l)	0,43	1,00

İşletme ham atıksuyunun arıtımında 7,50; 15,00; 22,50; 30,00; 37,50 ve 45,00 mg/l dozlarda superfloc kullanılmıştır. Pihtilaştırıcı ilavesinden sonra atıksu 2 dk hızlı 10 dk yavaş karıştırılarak 1 saat çökelme için bekletilmiştir. Ham atıksudaki kadmiyum ve kurşun miktarları SKKY sınır değerlerini aşmadığından arıtımdan sonra kadmiyum ve kurşun tayini yapılmamıştır. Arıtımından sonra elde edilen pH, KOİ, AKM verileri ve pH, KOİ ve AKM'de % azalma değerleri Çizelge 6.22'de verilmiştir. Arıtımından sonraki

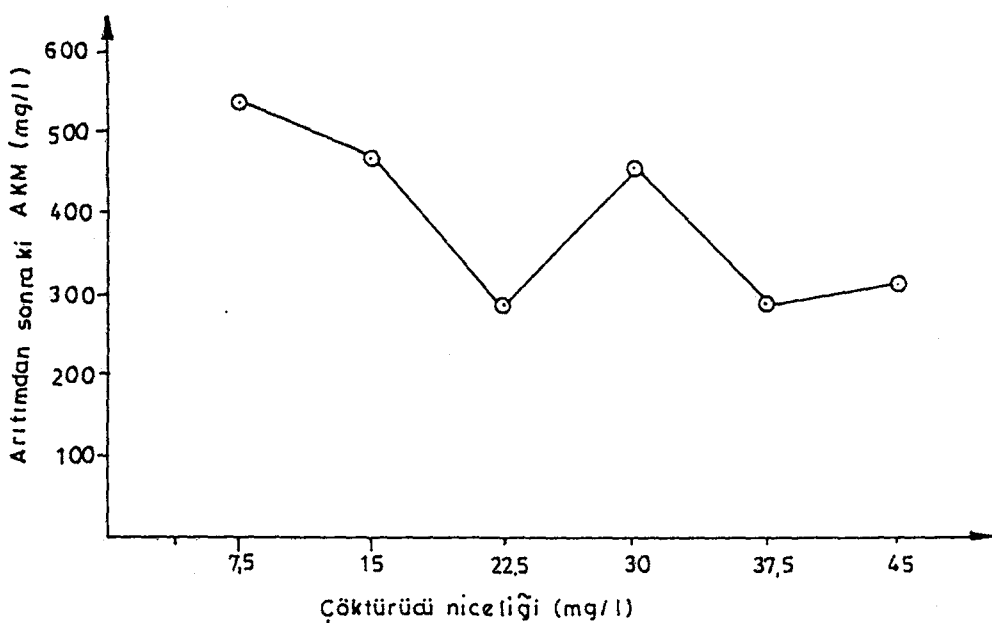
KOİ ve AKM verileri çöktürücü niceliğine karşı grafiğe geçirilmiştir. Bu grafikler Şekil 6.1 ve 2'de görülmektedir. Çökelme sırasında duru kısım oluşmadığından duru bölge yükseklikleri ölçülememiştir.

Çizelge 6.22. C Seramik Fabrikası ham atıksuyunda superfloc'la pihtilaştırma ile elde edilen analiz sonuçları

Çöktürücü dozu(mg/l)	pH	pH'ta % azalma	KOİ (mg/l)	KOİ'de % azalma	AKM (mg/l)	AKM'de % azalma
7,50	7,75	1,6	32,1	61,2	536	87,2
15,00	7,75	1,6	45,8	44,6	468	88,8
22,50	7,75	1,6	55,0	33,9	284	93,2
30,00	7,75	1,6	32,1	61,2	456	89,1
37,50	7,75	1,6	64,2	22,4	284	93,2
45,00	7,75	1,6	59,6	27,9	308	92,7



Şekil 6.1. C Seramik Fabrikası ham atıksuyunun superfloc'la arıtımında superfloc niceliğine karşı arıtımından sonraki KOİ değerleri.

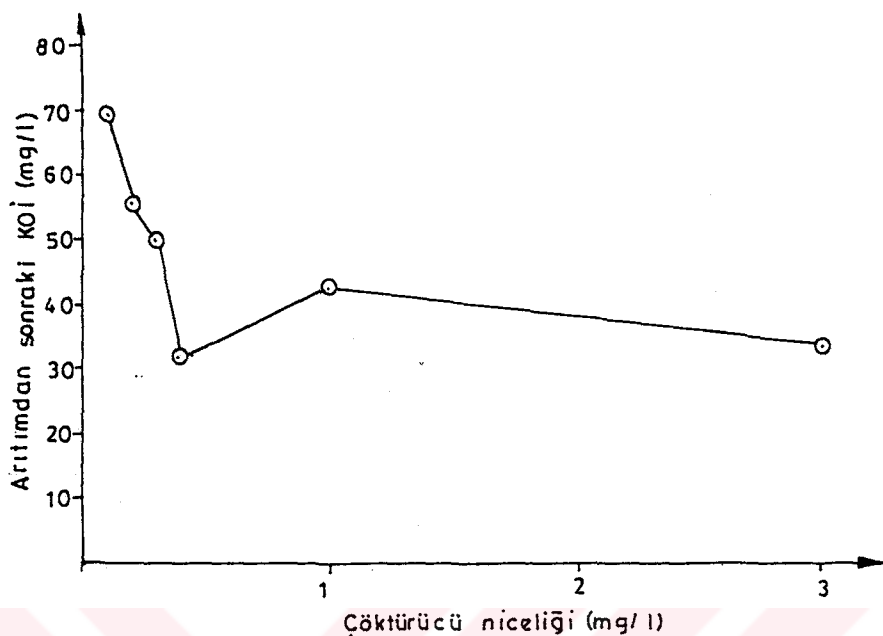


Şekil 6.2. C Seramik Fabrikası ham atıksuyunun superfloc'la arıtımında superfloc niceliğine karşı arıtımından sonraki AMI değerleri.

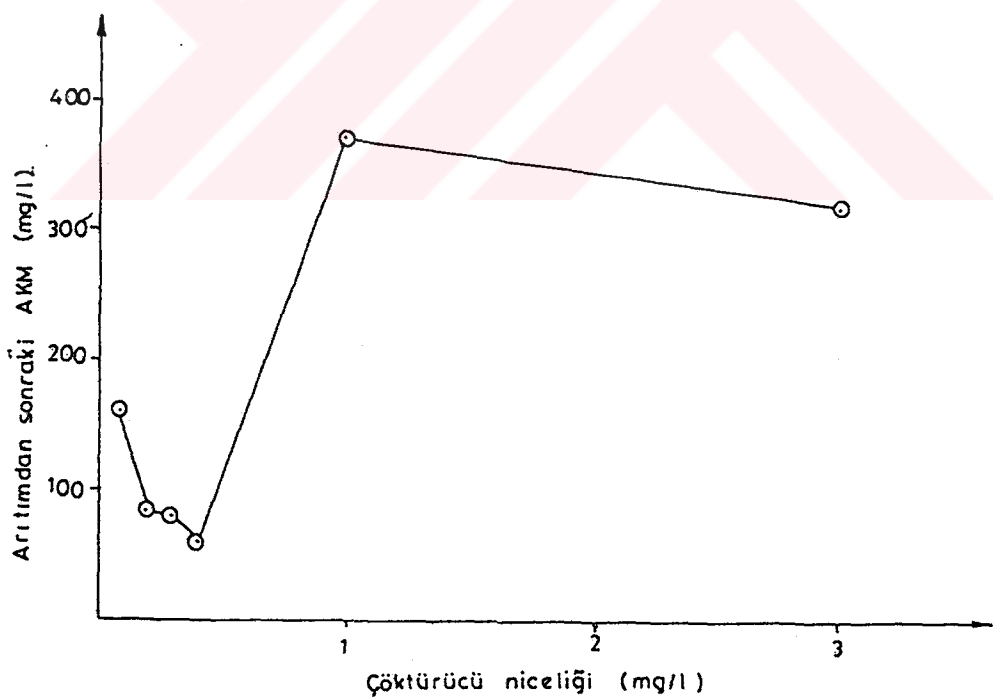
Organik polielektrolit dozu artırıldıkça, KOİ giderimindeki azalmanın ilave edilen çöktürücünün KOİ değerinden ileri gelebileceği düşünülerek daha sonra 0,10; 0,20; 0,30; 0,40; 1,00 ve 3,00 mg/l gibi oldukça küçük dozlarda superflocla çalışılmıştır. Arıtımından sonra elde edilen pH, KOİ, AMI verileri ve pH, KOİ, AMI'de % azalma değerleri Çizelge 6.23'te verilmiştir. Arıtımından sonraki KOİ ve AMI değerleri çöktürücü niceliğine karşı grafiğe geçirilmiştir. Bu grafikler Şekil 6.3 ve 4'te görülmektedir. Çökelme sırasında duru kısım oluşmadığından duru bölge yükseklikleri ölçülememiştir.

Çizelge 6.23. C Seramik Fabrikası ham atıksuyunda superfloc'la pihtilaştırma ile elde edilen analiz sonuçları

Çöktürücü dozu(mg/l)	pH	pH'ta % azalma	KOİ (mg/l)	KOİ'de % azalma	AMI (mg/l)	AMI'de % azalma
0,10	7,80	1,0	69,0	16,6	162	96,1
0,20	7,75	1,6	55,0	33,5	85	98,0
0,30	7,85	0,4	50,0	39,5	81	98,1
0,40	7,90	-0,3	32,0	61,3	60	98,6
1,00	7,90	-0,3	42,6	48,5	368	91,2
3,00	7,95	-0,9	33,5	59,5	316	92,5



Şekil 6.3. C Seramik Fabrikası ham atıksuyunun superfloc'la arıtımında superfloc niceliğine karşı arıtımından sonraki KOİ değerleri.

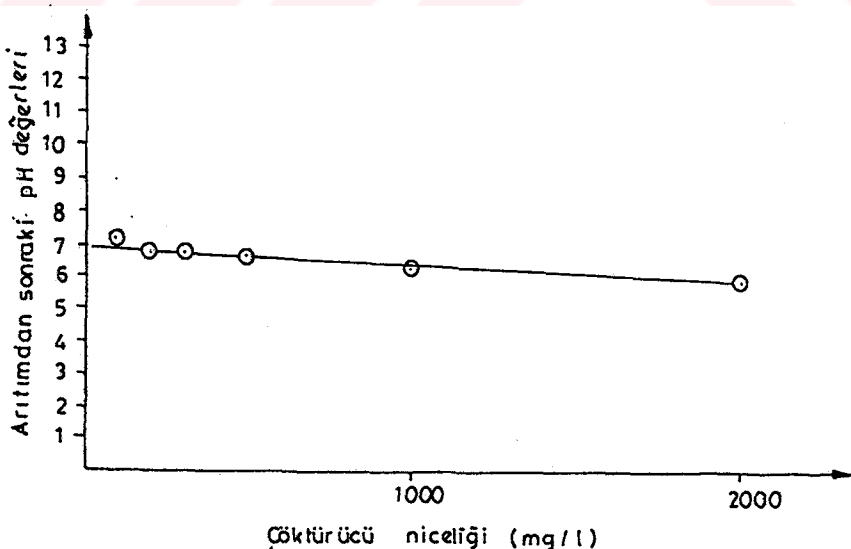


Şekil 6.4. C Seramik Fabrikası ham atıksuyunun superfloc'la arıtımında superfloc niceliğine karşı arıtımından sonraki AKM değerleri.

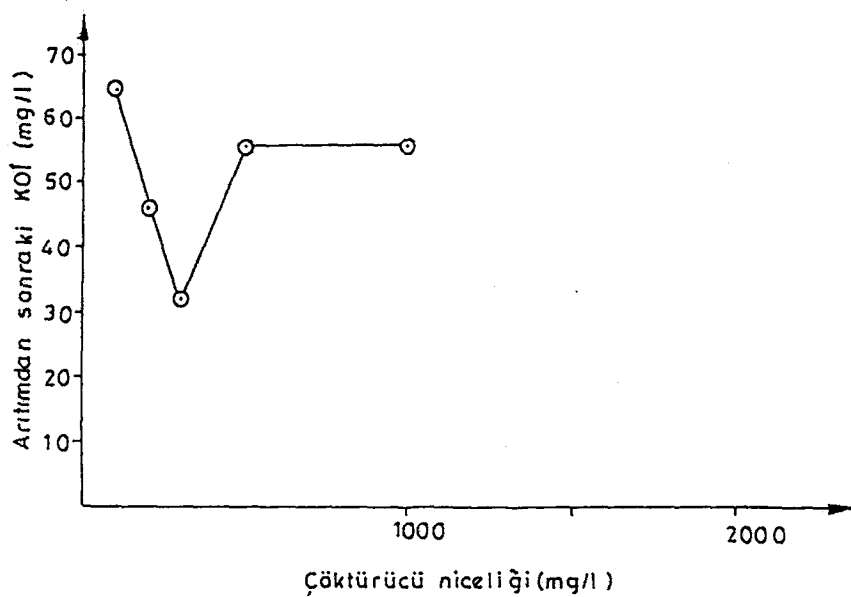
Daha sonra 100, 200, 300, 500, 1000 ve 2000 mg/l dozlarda  $\text{Al}_2(\text{SO}_4)_3 \cdot 18\text{H}_2\text{O}$  kullanılarak pihtilaştırma-yumaklaştırma deneyleri yapılmıştır. Aritimdan sonra elde edilen pH, KOİ, AKM verileri ve pH, KOİ, AKM'de % azalma değerleri Çizelge 6.24'te verilmiştir. Aritimdan sonraki pH, KOİ ve AKM değerleri çöktürücü niceliğine karşı grafiğe geçirilmiştir. Bu grafikler Şekil 6.5, 6 ve 7'de görülmektedir. Çökelme sırasında belirli zaman aralıkları ile ölçülen duru bölge yükseklikleri de Çizelge 6.25'te verilmiştir. Burada toplam sıvı yüksekliği yaklaşık 9,5 cm'dir.

Çizelge 6.24. C Seramik Fabrikası ham atiksuyunda  $\text{Al}_2(\text{SO}_4)_3 \cdot 18\text{H}_2\text{O}$  ile pihtilaştırmaya elde edilen analiz sonuçları

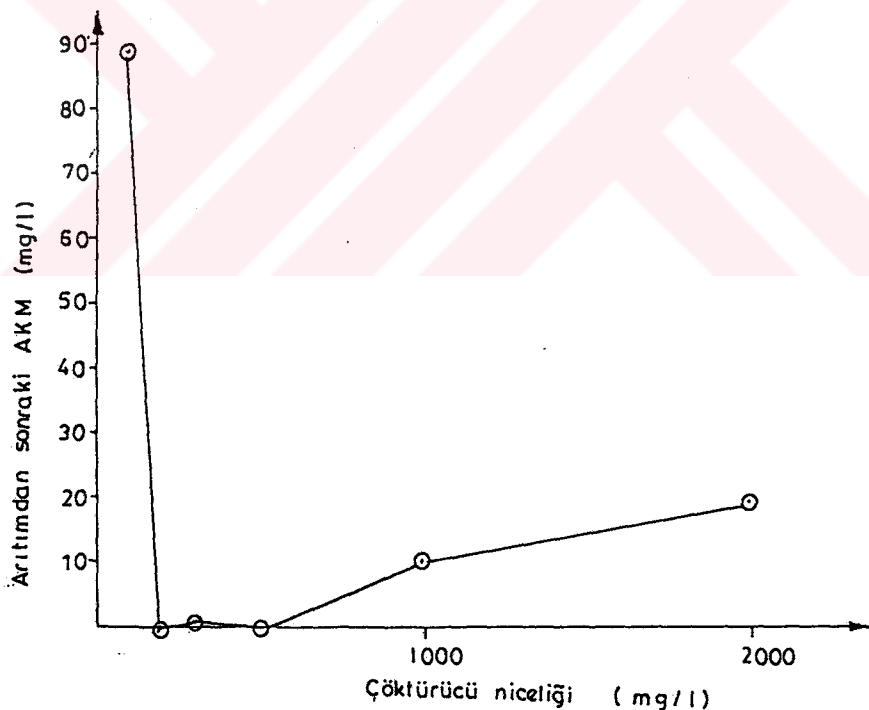
Çöktürücü dozu(mg/l)	pH	pH'ta % azalma	KOİ (mg/l)	KOİ'de % azalma	AKM (mg/l)	AKM'de % azalma
100	7,10	9,9	64,2	22,4	83	97,9
200	6,85	13,1	45,8	44,6	0	100,0
300	6,70	15,0	32,1	61,2	0	100,0
500	6,55	16,9	55,1	33,4	0	100,0
1000	6,20	21,3	55,1	33,4	10	99,8
2000	5,90	25.1	-	-	19	99,6



Şekil 6.5. C Seramik Fabrikası ham atiksuyunun  $\text{Al}_2(\text{SO}_4)_3 \cdot 18\text{H}_2\text{O}$  ile aritiminde  $\text{Al}_2(\text{SO}_4)_3 \cdot 18\text{H}_2\text{O}$  niceliğine karşı aritimdan sonraki pH değerleri.



Şekil 6.6. C Seramik Fabrikası ham atıksuyunun  $\text{Al}_2(\text{SO}_4)_3 \cdot 18\text{H}_2\text{O}$  ile arıtımında  $\text{Al}_2(\text{SO}_4)_3 \cdot 18\text{H}_2\text{O}$  niceliğine karşı arıtmdan sonraki KOİ değerleri.



Şekil 6.7. C Seramik Fabrikası ham atıksuyunun  $\text{Al}_2(\text{SO}_4)_3 \cdot 18\text{H}_2\text{O}$  ile arıtımında  $\text{Al}_2(\text{SO}_4)_3 \cdot 18\text{H}_2\text{O}$  niceliğine karşı arıtmdan sonraki AKM değerleri.

Çizelge 6.25. Çökelme hızına  $Al_2(SO_4)_3 \cdot 18H_2O$ 'nun etkisi

Çöktürücü dozu(mg/l)	Duru kısım yükseklikleri(cm)						1saat sonunda tamamen berraklaşma gözlenmedi
	2dk	5dk	10dk	20dk	30dk	60dk	
100	-	8,7	8,7	8,7	8,8	8,9	1saat sonunda tamamen berraklaşma gözlenmedi
200	-	8,5	8,5	8,5	8,5	8,5	Çok kısa sürede duru kısım oluştı. 10dk'da berraklaştı.
300	8,2	8,2	8,3	8,3	8,4	8,4	15 dk sonunda duru kısım oluştı. Sonunda su çok berraktı.
500	8,4	8,5	8,5	8,5	8,5	8,5	Çökelme sonunda hafif bulanıklık vardı.
1000	8,4	8,4	8,4	8,4	8,5	8,5	Çökelme sonunda az bulanıklık vardı.
2000	7,3	7,7	8,1	8,0	8,0	8,0	Çökelme sonunda bulanıklık birez daha arttı.

Son olarak superfloc ve  $Al_2(SO_4)_3 \cdot 18H_2O$ 'ın birlikte kullanımı denenmiştir. Alüminyum sülfatın 1/10'u kadar superfloc kullanılmıştır. Arıtımından sonraki pH, KOİ, AKM verileri ve pH, KOİ ve AKM'de % azalma değerleri Çizelge 6.26'da verilmiştir. Çökelme sırasında atiksular bulanık olduğundan duru bölge yükseklikleri ölçülememiştir.

Çizelge 6.26. C Seramik Fabrikası ham atıksuyunda  $Al_2(SO_4)_3 \cdot 18H_2O$  ve superfloc'un birlikte kullanımıyla pihtilaştırmada elde edilen analiz sonuçları

$Al_2(SO_4)_3 \cdot 18H_2O$ dozu(mg/l)	Superfloc dozu(mg/l)	pH	pH'ta % azalma	KOİ	KOİ'de % azalma	AKM (mg/l)	AKM'de % azalma
10	1,00	7,40	6,1	110,0	-0,3	72	98,3
20	2,00	7,35	6,7	71,1	0,1	0	100,0
35	3,50	7,10	6,9	64,0	22,6	0	100,0
100	10,00	7,10	9,9	74,7	9,7	0	100,0

**6.2.2 D Kağıt Fabrikası atıksuyunun pihtilaştırma yumaklaştırma ile arıtım sonuçları**

Fabrikanın ham atıksuyunun özelliklerini, SKKY'nde öngörülen sınır değerlerle birlikte Çizelge 6.27'de verilmiştir.

**Çizelge 6.27.D işletmesinden 13.7.1989'da alınan ham atıksuyun özellikleri**

Parametre	Ham atıksu	SKKY sınır değerleri
pH	7,80	-
AKM (mg/l)	172	-
ÇKMH (ml/l)	20,0	0,5
KDİ (mg/l)	407,5	100,0
BOİ <sub>5</sub> (mg/l)	98,4	40,0

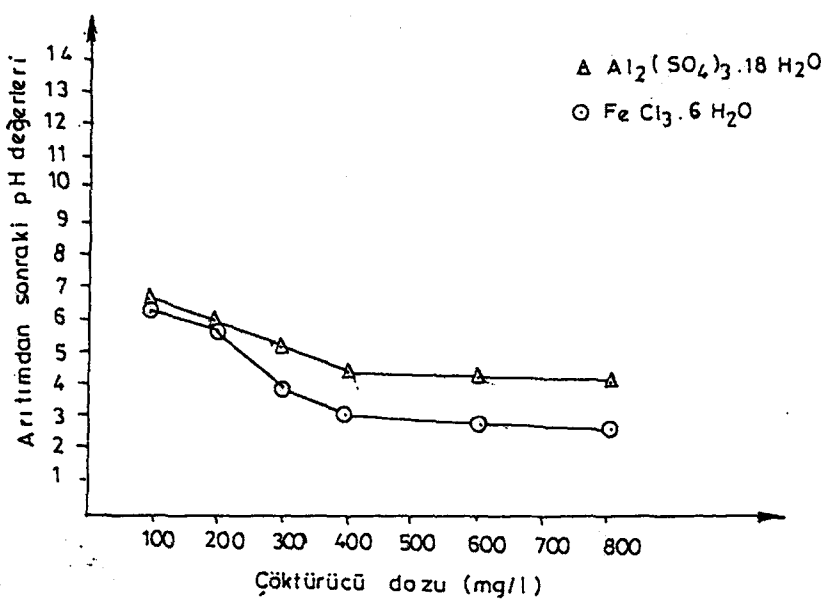
İşletme ham atıksuyunun arıtımında 100, 200, 300, 400, 600, 800 mg/l dozlarında  $\text{Al}_2(\text{SO}_4)_3 \cdot 18\text{H}_2\text{O}$  ve aynı dozlarında  $\text{FeCl}_3 \cdot 6\text{H}_2\text{O}$  kullanılmıştır. Arıtımından sonraki BOİ<sub>5</sub> değerleri fazla zaman allığı için izlenmemiştir. Arıtımından sonra elde edilen pH, KDİ, AKM verileri ve pH, KDİ ve AKM'de % azalma değerleri Çizelge 6.28 ve 29'da verilmiştir. Arıtımından sonraki pH, KDİ ve AKM verileri göktürkücü niceğine karşı grafiğe geçirilmiştir. Bu grafikler Şekil 6.8, 9 ve 10'da görülmektedir. Çökelme süresındaki duru bölge yükseklikleri Çizelge 6.30 ve 31'de verilmiştir. Pihtilaştırıcı dozunun artışıyla  $\text{Al}_2(\text{SO}_4)_3 \cdot 18\text{H}_2\text{O}$  kullanımında bulanıklığın,  $\text{FeCl}_3 \cdot 6\text{H}_2\text{O}$  kullanımıyla sarı renk ve bulanıklığın arttığını gözlenmiştir.  $\text{FeCl}_3 \cdot 6\text{H}_2\text{O}$ 'ün en küçük dozuyla atıksu, çökelme işleminden sonra oldukça berrak görünümeye sahip olmuştur.

Çizelge 6.28. D Kağıt Fabrikası ham atıksuyunda  $Al_2(SO_4)_3 \cdot 18H_2O$  ile pihtilaştırmayla elde edilen analiz sonuçları

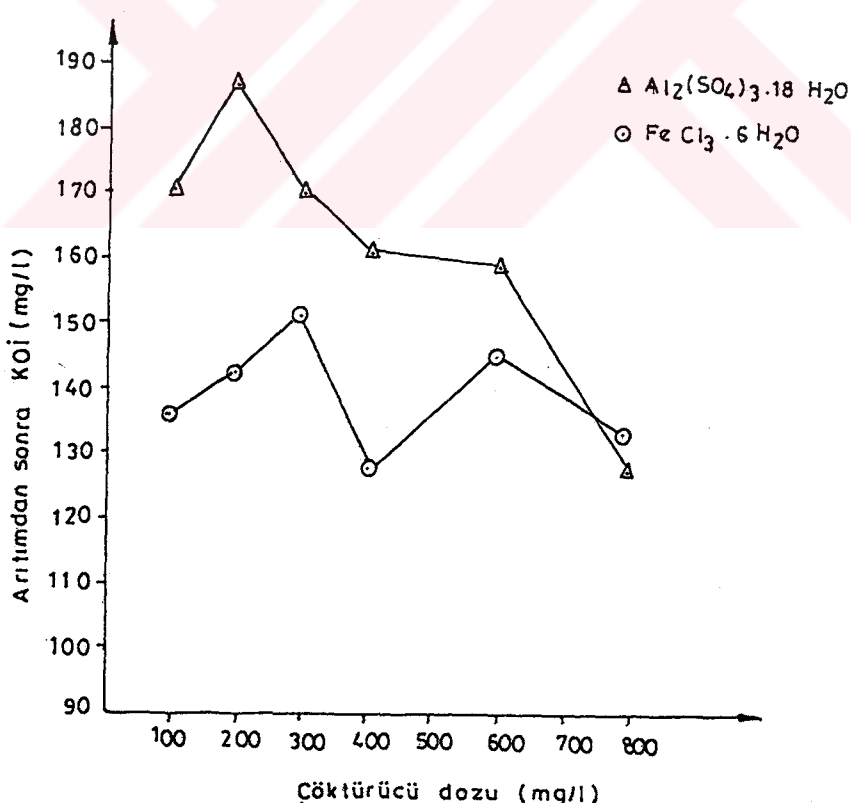
Çöktürücü dozu(mg/l)	pH	pH'ta % azalma	KDİ (mg/l)	KDİ'de % azalma	AKM (mg/l)	AKM'de % azalma
100	6,65	14,7	170,4	58,2	0	100,0
200	5,90	24,3	185,2	54,5	0	100,0
300	5,05	35,3	170,4	58,2	5	97,1
400	4,45	42,9	161,1	60,5	8	95,3
600	4,25	45,5	159,3	60,9	8	95,3
800	4,10	47,4	127,9	68,6	6	96,5

Çizelge 6.29. D Kağıt Fabrikası ham atıksuyunda  $FeCl_3 \cdot 6H_2O$ 'le pihtilaştırma ile elde edilen analiz sonuçları

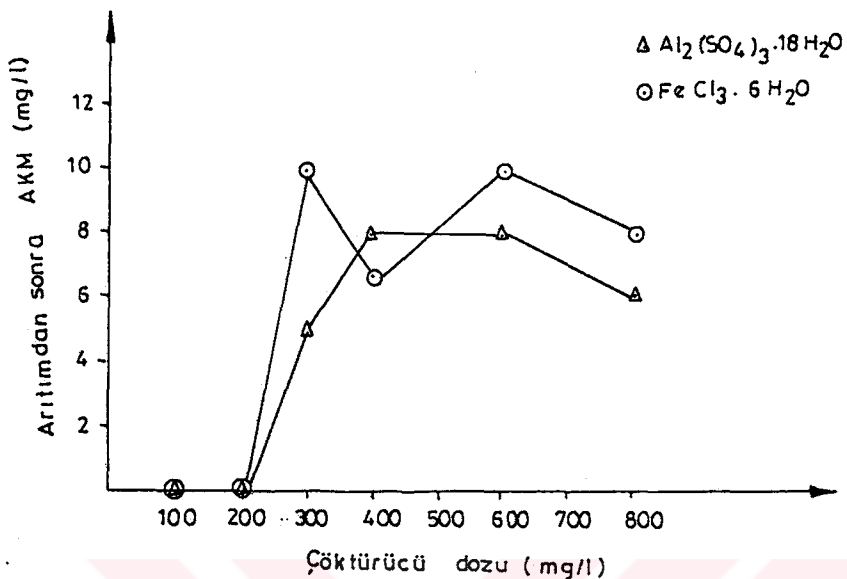
Çöktürücü dozu(mg/l)	pH	pH'ta % azalma	KDİ (mg/l)	KDİ'de % azalma	AKM (mg/l)	AKM'de % azalma
100	6,25	19,9	135,2	66,6	0,0	100,0
200	5,65	27,6	142,6	65,0	0,0	100,0
300	3,95	49,3	151,9	62,7	10,0	94,1
400	3,10	60,2	127,8	68,6	6,6	96,1
600	2,70	65,3	146,3	64,1	10,0	94,1
800	2,55	67,3	133,3	67,3	8,0	95,3



Şekil 6.8. D Kağıt Fabrikası ham atıksuyunun  $\text{Al}_2(\text{SO}_4)_3 \cdot 18 \text{H}_2\text{O}$  ve  $\text{FeCl}_3 \cdot 6 \text{H}_2\text{O}$  ile arıtımında çöktürücü niceliğine karşı arıtımından sonraki pH değerleri.



Şekil 6.9. D Kağıt Fabrikası ham atıksuyunun  $\text{Al}_2(\text{SO}_4)_3 \cdot 18 \text{H}_2\text{O}$  ve  $\text{FeCl}_3 \cdot 6 \text{H}_2\text{O}$  ile arıtımında çöktürücü niceliklerine karşı arıtımından sonraki KOİ değerleri.



Şekil 6.10. D Kağıt Fabrikası ham atıksuyunun  $\text{Al}_2(\text{SO}_4)_3 \cdot 18\text{H}_2\text{O}$  ve  $\text{FeCl}_3 \cdot 6\text{H}_2\text{O}$  ile aritimında cöktürücü niceliklerine karşı aritimdan sonraki AKM değerleri.

Çizelge 6.30.  $\text{Al}_2(\text{SO}_4)_3 \cdot 18\text{H}_2\text{O}$ 'nun çökelleme hızına etkisi

Cöktürücü dozu(mg/l)	Duru bölge yükseklikleri (cm)					
	2dk	5dk	10dk	20dk	30dk	60dk
100	8,1	8,1	8,1	8,1	8,1	8,2
200	8,0	8,0	8,3	8,3	8,4	8,5
300	8,2	8,2	8,2	8,3	8,3	8,3
400	8,0	8,3	8,3	8,4	8,5	8,5
600	8,0	8,5	8,5	8,5	8,5	8,6
800	7,9	8,0	8,0	8,0	8,0	8,1

Çizelge 6.31.  $FeCl_3 \cdot 6H_2O$ 'nun çökelme hızına etkisi

Çöktürücü dozu(mg/l)	Duru bölge yükseklikleri (cm)					
	2dk	5dk	10dk	20dk	30dk	60dk
100	8,6	8,6	8,7	8,7	8,7	8,9
200	8,6	8,7	8,7	8,7	8,7	8,7
300	8,1	8,2	8,3	8,3	8,3	8,3
400	8,7	8,7	8,9	8,9	8,9	8,9
600	8,6	8,7	8,7	8,7	8,7	8,7
800	8,6	8,6	8,6	8,6	8,6	8,6

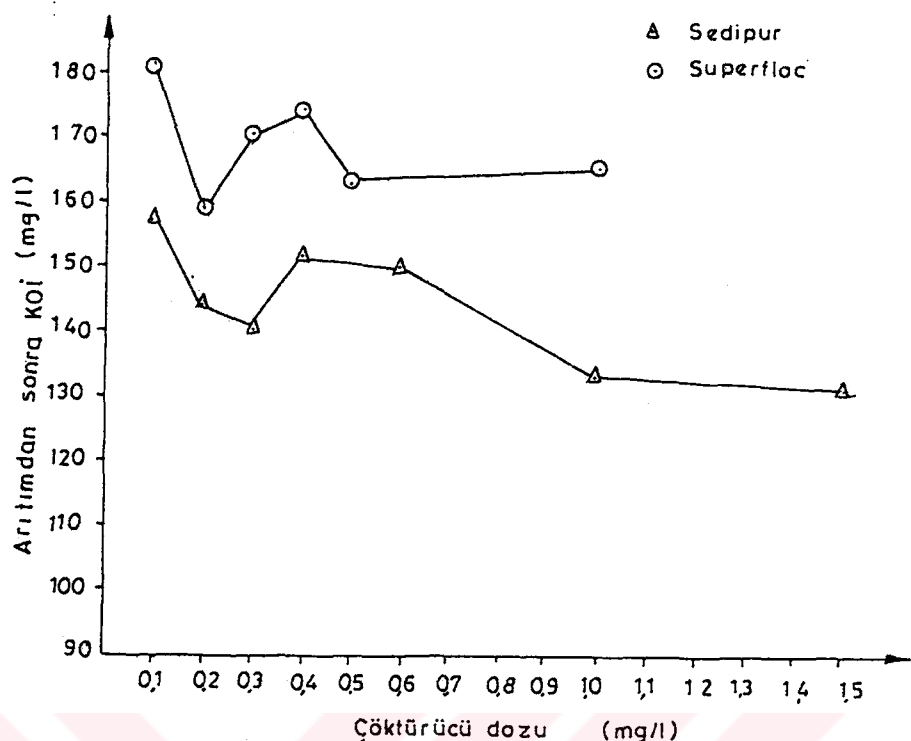
İşletme ham atıksuyunun arıtımında 0,10; 0,20; 0,30; 0,40; 0,50 ve 1,00 mg/l dozlarda superfloc ve 0,10; 0,20; 0,30; 0,40; 0,60; 1,00 ve 1,50 mg/l dozlarda sedipur da kullanılmıştır. Arıtımdan sonra elde edilen pH, KÖİ, AKM verileri ve pH, KÖİ ve AKM'de % azalma değerleri superfloc ve sedipurla arıtım sırasıyla Çizelge 6.32 ve 33'te verilmiştir. Arıtımdan sonraki KÖİ ve AKM verileri çöktürücü mıneligine karşı grafiğe geçirilmiştir. Bu grafikler Şekil 6.11 ve 12'de görülmektedir. Superfloc kullanımında çökken katılar beherin ortasında yuvarlak yumaklar oluşturduğundan duru bölge yükseklikleri ölçülemedi. Superfloc dozu arttıkça berraklığın arttığı ve bir saat sonunda beherlerin hepsinde de bulanıklık kalmadığı gözlendi. Sedipur kullanımında çökelme sırasında zamana karşı duru bölge yükseklikleri Çizelge 6.34'te verilmiştir. Arıtımdan sonra sular berrakte, kabarık bir çökelek oluştu.

Çizelge 6.32. D Kağıt Fabrikası ham atıksuyunda superfloc ile pihtilaştırmayla elde edilen analiz sonuçları

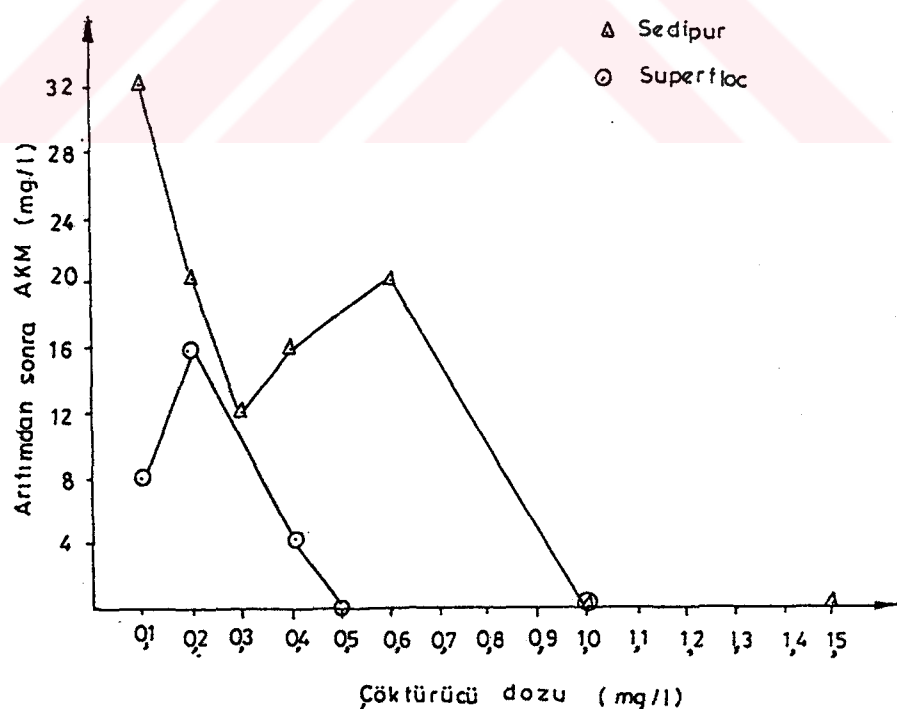
Çöktürücü dozu(mg/l)	pH	pH'ta % azalma	KOI (mg/l)	KOI'de % azalma	AKM (mg/l)	AKM'de % azalma
0,10	7,65	1,9	181,5	55,5	8	95,3
0,20	7,65	1,9	159,3	60,9	16	90,7
0,30	7,60	2,6	170,4	58,2	12	93,0
0,40	7,55	3,2	174,1	57,3	4	97,7
0,50	7,55	3,2	163,0	60,0	0	100,0
1,00	7,50	3,8	166,7	59,1	0	100,0

Çizelge 6.33. D Kağıt Fabrikası ham atıksuyunda sedipur ile pihtilaştırmayla elde edilen analiz sonuçları

Çöktürücü dozu(mg/l)	pH	pH'ta % azalma	KOI (mg/l)	KOI'de % azalma	AKM (mg/l)	AKM'de % azalma
0,10	7,20	7,7	157,5	61,3	32	81,4
0,20	7,10	9,0	144,5	64,6	20	88,4
0,30	7,10	9,0	140,8	65,5	12	93,0
0,40	7,10	9,0	151,8	62,8	16	90,6
0,60	7,05	9,6	150,0	63,2	20	88,4
1,00	7,00	10,2	133,3	67,3	0	100,0
1,50	7,10	9,0	129,5	68,2	0	100,0



Şekil 6.11. D Kağıt Fabrikası ham atıksuyunun superfloc ve sedipur ile aritiminde çöktürücü niceliklerine karşı aritimdan sonraki KDI değerleri.



Şekil 6.12. D Kağıt Fabrikası ham atıksuyunun superfloc ve sedipur ile aritiminde çöktürücü niceliklerine karşı aritimdan sonraki AKM değerleri.

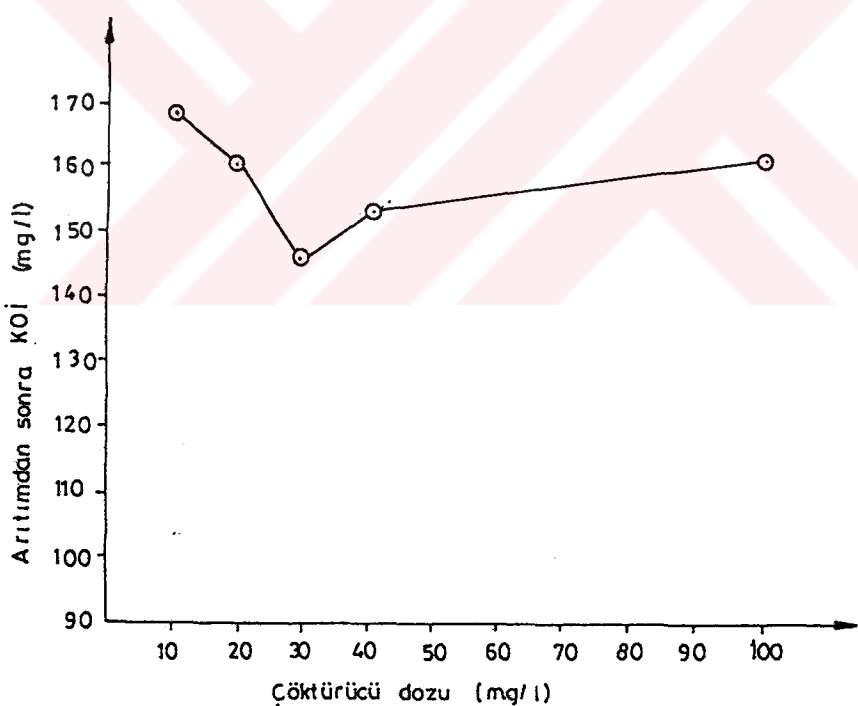
Çizelge 6.34. Sedipur'un çökelme hızına etkisi

Çöktürücü dozu(mg/l)	Duru bölge yükseklikleri (cm)					
	2dk	5dk	10dk	20dk	30dk	60dk
0,10	8,3	8,4	8,4	8,4	8,6	8,6
0,20	8,5	8,5	8,6	8,6	8,6	8,7
0,30	8,3	8,3	8,4	8,4	8,4	8,5
0,40	8,8	8,9	9,2	9,2	9,2	9,2
0,60	9,2	9,4	9,4	9,4	9,4	9,4
1,00	8,3	8,4	8,4	8,4	8,4	8,4
1,50	8,3	8,3	8,3	8,3	8,4	8,4

İşletme ham atıksuyunun arıtımında ayrıca superfloc ve  $\text{Al}_2(\text{SO}_4)_3 \cdot 18\text{H}_2\text{O}$ 'nun birlikte kullanımı da denenmiştir. Jar testinde bir deneme ( $30 \text{ mg Al}_2(\text{SO}_4)_3 \cdot 18\text{H}_2\text{O} + 0,4 \text{ mg superfloc}$ ) dışında  $\text{Al}_2(\text{SO}_4)_3 \cdot 18\text{H}_2\text{O}$ 'nun  $1/100$ 'ü kadar superfloc kullanılmıştır. Arıtımından sonraki pH, KOİ, AKM verileri ve pH, KOİ ve AKM'de % azalma değerleri Çizelge 6.35'te verilmiştir. Arıtımından sonraki KOİ verileri çöktürücü niceliğine karşı grafiğe geçirilmiştir. Bu grafik Şekil 6.13'te görülmektedir. Çökelme sırasında zamana karşı duru bölge yükseklikleri Çizelge 6.36'da verilmiştir. Arıtımından sonra sular berraktı ve kabarık bir çökelek oluştu.

Çizelge 6.35. D Kağıt Fabrikası ham atıksuyunda  $\text{Al}_2(\text{SO}_4)_3 \cdot 18\text{H}_2\text{O}$  ve superfloc'un bir arada kullanımıyla pihtilaştırmada elde edilen analiz sonuçları

$\text{Al}_2(\text{SO}_4)_3 \cdot 18\text{H}_2\text{O}$ dozu(mg/l) <sup>2</sup>	Superfloc dozu(mg/l)	pH	pH'ta % azalma	KDİ	KDİ'de % azalma	AKM (mg/l)	AKM'de % azalma
10	0,1	7,00	10,2	168,5	58,6	0	100
20	0,2	6,95	10,9	161,1	60,5	0	100
30	0,3	6,95	10,9	146,3	64,1	0	100
40	0,4	6,90	11,5	153,7	62,3	0	100
60	0,4	6,60	15,4	144,5	64,5	0	100
100	1,0	6,45	17,3	161,1	60,5	0	100



Şekil 6.13. D Kağıt Fabrikası ham atıksuyunun  $\text{Al}_2(\text{SO}_4)_3 \cdot 18\text{H}_2\text{O}$  ve superfloc'un bir arada kullanımı arıtımında cökütürücü niceliğine karşı arıtımından sonraki KDİ değerleri.

Çizelge 6.36. Superfloc ve  $\text{Al}_2(\text{SO}_4)_3 \cdot 18\text{H}_2\text{O}$ 'ın birlikte kullanımının çökelme hızına etkisi

$\text{Al}_2(\text{SO}_4)_3 \cdot 18\text{H}_2\text{O}$ dozu(mg/l)	Superfloc dozu(mg/l)	Duru bölge yükseklikleri (cm)					
		2dk	5dk	10dk	20dk	30dk	60dk
0,1	10	7,9	8,0	8,0	8,0	8,0	8,0
0,2	20	8,4	8,4	8,4	8,5	8,5	8,5
0,3	30	8,1	8,1	8,1	8,1	8,1	8,1
0,4	40	8,6	8,6	8,6	8,6	8,6	8,7
0,4	80	8,6	8,6	8,7	8,7	8,7	8,7
1,0	100	8,2	8,3	8,3	8,3	8,3	8,3

## 7. BULGULARIN TARTIŞILMASI

A, B, C Seramik Fabrikaları ve D Kağıt Fabrikası arıtım tesisinden çıkan atıksularдан alınan üç işgününe ait kompozit örneklerde SKKY'nin öngördüğü parametreler tayin edilmiştir. Analiz sonuçları Altbölm 6.1'de verilmiştir. B ve D işletmelerinde bazı parametrelerin SKKY'nde öngörülen sınır değerleri aşığı belirlenmiştir. Arıtım tesislerinin etkin bir şekilde çalışmasını sağlamak amacıyla CveD İşletmelerinin ham atıksularından örnekler alınarak pihtilaştırma-yumaklaştırma deneyleri yapılmış ve sonuçlar Altbölm 6.2'de verilmiştir. Bu bölümde 6.1 ve 6.2 Altbölmelerinde verilen sonuçlar değerlendirilecektir.

### 7.1 Atıksuların Özelliklerinin SKKY'ne Uygunluklarının Tartışılması

Fabrikaların atıksularının özelliklerini belirleme çalışmalarının sonuçları tüm işletmeler için ayrı ayrı aşağıdaki altbölmelerde verilecektir.

#### 7.1.1 A Seramik Fabrikası atıksularının özelliklerinin tartışılması

A Seramik Fabrikasından deşarj edilen atıksuların analizlerini ve SKKY sınır değerlerini gösteren Çizelge 6.4 incelendiğinde üç işgünü için ortalama pH değerinin izin verilen aralık olan 6-9 içinde kaldığını görülebilir; ancak üst sınıra çok yakın çalışılması sakincalı olabilir. Alüminyum sülfat dozunun artırılmasıyla pH değeri biraz düşürülebilir. İşletme yetkililerince işletmede herhangi bir kurşun ve kadmiyum bileşiği kullanılmadığı (sır ve boyalar dahil) belirtilmiştir; ancak yönetmelikte öngördüğünden bu tayinler de yapılmıştır. Analiz sonuçlarında örneklerde çok az kadmiyum ve kurşuna rastlanmış olmakla beraber spektrofotometrik tayin yöntemleriyle bile sajılıklı olarak tayin edilemeyecek düzeydedir ve sınır değerlerine yaklaşması dahi söz konusu değildir. Diğer parametreler de sınır değerlerin çok altındadır. Bu işletmeye SKKY uyarınca deşarj izni verilebilir.

#### 7.1.2 B Seramik Fabrikası atıksularının özelliklerinin tartışılması

B Seramik Fabrikası arıtım tesisinden çıkan atıksulardan alınan üç ayrı işgününe ait kompozit örnekler için SKKY'nce öngörülen parametrelerin

aritmetik ortalama değerleri sınır değerlerle birlikte Çizelge 6.9'de verilmiştir. pH için izin verilen aralık 6-9'dur. Üç işgündünde aritmetik ortalama pH değeri 8,60'tır ve sınırların içindedir; ancak üst sınırda oldukça yakın olması arıtım tesisisinde kullanılan alüminyum sülfatın yetersiz olabileceğini düşündürmektedir. Askıda katı madde için üç işgündeki ortalama değer 254,3 mg/l olarak elde edilmiştir, oysa sınır değer 100 mg/l'dir. Diğer parametraler sınır değerlerinin çok altındadır. Sonuç olarak bu fabrikanın atıksuyu askıda katı madde dışında yönetmelik sınır değerlerini aşmamaktadır; ancak askıda katı madde sınırı çok aştığinden düşürülmesi için mutlaka önlemler alınmalıdır. 3.11.1988 tarihinde örnek alınması için gidildiğinde, pompa arızası nedeniyle arıtım tesisinin çalışmıyor olması bu olumsuz sonucun ortaya çıkmasında etken olmakla beraber, tesisin çalıştığı 26.10.1988 günü alınan örnekte de AKM sınır değeri bir hayli aştığinden, arıtım tesisinin uygun şekilde çalıştırılamadığı sonucuna varılmıştır. 26.10.1988 tarihinde olduğu gibi tesis uygun bir şekilde çalıştırılırsa bu parametrenin de 100 mg/l'nin altına düşürülmesi olanağıdır. pH değerinin de yüksek olması alüminyum sülfat kullanımının yetersiz olabileceği kanısını vermektedir. Bu atıksuda AKM 100 mg/l'nin altına düşürülebildiği taktirde SKKY uyarınca deşarj edilebilir.

#### 7.1.3 C Seramik Fabrikası atıksularının özelliklerinin tartışılmazı

C Seramik Fabrikası arıtım tesisi çıkışından alınan atıksularda üç ayrı işgünden ait kompozit örnekler için SKKY'de öngörülen parametralerin aritmetik ortalama değerleri SKKY sınır değerleriyle birlikte Çizelge 6.12'de görülmektedir. Buradaki parametralerin hiçbirini sınır değerlerini aşmamaktadır. Bu işletmenin atıksuyu SKKY uyarınca deşarj edilebilir. Çizelge 6.9'da analizi verilen 19.1.1989 tarihinde alınan örnekte kurşun sınır değeri biraz aşmakla birlikte kadmiyum sınır değerinin iki katı derişimdedir. 14.2.1989 tarihinde alınan örnekte (bkz. Çizelge 6.10) kurşun sınır değerini aşmaktadır. Bu yüzden 22.5.1989 tarihinde arıtım tesisi çıkışından örnek alınırken ham atıksu örneği de alınmıştır. Ham atıksuda çeşitli pihtilaştırcılar kullanılarak pihtilaştırma ile arıtım deneyleri yapılmıştır.

#### 7.1.4 D Kağıt Fabrikası atıksularının özelliklerinin tartışıılması

D Kağıt Fabrikası arıtım tesisinden çıkan atıksulardan alınan üç ayrı işgününe ait kompozit örnekler için SKKY'nce öngörülen parametrelerin aritmetik ortalama değerleri sınırlarla birlikte Çizelge 6.15'da görülmektedir. Burada önemli üç parametreden biri olan çökebilir katı madde hacmi için yönetmelik sınır değeri (anlık)  $0,5 \text{ ml/l}$  dir. Çizelge 6.13,14 ve 15 incelendiğinde üç ayrı işgününde yapılan 15 ölçümden yalnız ikisisinde bu sınır değerinin aşıldığı görülebilir; ancak anlık değerlerin birbirinin  $0,5 \text{ ml/l}$ 'yi aşmaması gereklidir. Biyokimyasal oksijen ihtiyacı için yönetmelikteki sınır değer  $40 \text{ mg/l}$  dir. Üç işgünündeki ortalama değer  $66 \text{ mg/l}$  dir ve sınır değeri  $\times 65$  oranında aşmaktadır. Kimyasal oksijen ihtiyacı için SKKY sınır değeri  $100 \text{ mg/l}$  dir. Üç işgünü için aritmetik ortalama değer ise  $219,6 \text{ mg/l}$  dir. Bu parametre de sınır değeri  $\times 120$  oranında aşmaktadır. Bu parametrelerin düşürülmesi gereklidir. İşletmede atıksu arıtım tesisi uygun olarsak çalıştırılırsa bu parametreler sınır değerlerin altına düşürülebilir.

D Kağıt Fabrikası ilgililerinin istediği üzerine ikinici kez alınan üç ayrı işgününe ait kompozit örnekler için SKKY'nce öngörülen parametrelerin aritmetik ortalama değerleri sınırlarla beraber Çizelge 6.20'de görülmektedir. SKKY'deki sınır değerler hem derişim ( $\text{mg/l}$ ) hem de birim üretim başına kirlilik yükü ( $\text{kg/t}$ ) olarak verilmiştir. Fabrika ilgililerinin istediği üzerine parametrelerin değerleri 6.1.4 Altbölümündeki, ilgililerce verilen günlük toplam kağıt üretim verileri kullanılarak her iki birimle de hesaplanmıştır. Çizelge 6.20'de verilen üç işgünündeki ÇKMH değerlerinin ortalaması olan  $0,6 \text{ ml/l}$  sınır değer  $0,5 \text{ ml/l}$ 'nin biraz üstündedir; ancak anlık değerlerin de sınırları aşmaması gerektiği unutulmamalıdır. Biyokimyasal oksijen ihtiyacının derişim birimiyle üç işgünündeki ortalaması olan  $59,8 \text{ mg/l}$  sınır değer  $40 \text{ mg/l}$ 'yi aşmaktadır; ancak birim üretim başına kirlilik yükü olarak ortalama değer  $0,46 \text{ kg/t}$ , sınır değer  $3 \text{ kg/t}$ 'un çok altındadır. Kimyasal oksijen ihtiyacının derişim birimiyle üç işgünündeki ortalaması  $264,2 \text{ mg/l}$  sınır değer olan  $100 \text{ mg/l}$ 'yi çok fazla aşmaktadır. Birim üretim başına kirlilik yükü olarak ortalama değer  $2,79 \text{ kg/t}$  ise sınır değer olan  $6 \text{ kg/t}$ 'un yarısından da azdır. Parametreler derişim birimleriyle ele alındığında işletmenin atıksuyunun özellikleri sınır değerlerini aşmaktadır ve arıtım tesisinin etkin bir arıtım sağlayamadığı sonucuna varılmaktadır. Birim üretim başına kirlilik yükü cinsinden parametreler

incelediğinde ise atiksuların özelliklerinin sınır değerlerin bir bayli altında değerler verdiği gözlenmiştir. SKKT'nin 26. maddesi uyarınca her iki sınır değerin de ayrı ayrı sağlanması gerektiği açıklar. Alışlagelen deşarj standartları genellikle derişim birimleriyle verilmektedir. Daha kesin bir yargıya varabilmek için SKKT'nde bu tip işletmeler için öngörülen 24 saatlik komposit örneklerin alınması gereklidir; ancak bu tip örnekler alınmasına olanak bulunamamıştır.

D Kağıt fabrikası atiksuyunun sınır değerlerini aşan parametrelerinin sınırların altına düşürülmesini sağlamak için ham atıksu örneği alınarak çeşitli pihtilaştırcılarla pihtilaştırma ile arıtım deneyleri yapılmıştır.

## 7.2 Pihtilaştırma İle Arıtım Bulgularının Tartışılması

C Seramik ve D Kağıt Fabrikası atiksularının pihtilaştırma yöntemiyle arıtımında çeşitli pihtilaştırcılar kullanılmıştır. C ve D Fabrikaları atiksularının arıtım bulguları iki ayrı altbölümde ele alınarak değerlendirilecektir.

### 7.2.1 C Seramik Fabrikası ham atiksuyunun pihtilaştırma ile arıtım bulgularının tartışılması

C Seramik Fabrikası ham atiksuyunun analiz sonuçları Çizelge 6.21'de SKKT sınır değerleriyle birlikte görülmektedir. Çizelge 6.21'e bakıldığından KKİ, KOİ değerlerinin sınır değerlerini aştığı görülmektedir.

Superfloc'la pihtilaştırma deneyleri arıtım sonuçları Çizelge 6.22 ve 23'te ve grafikler Şekil 6.1-4'te verilmiştir. Bu çizelge ve grafikler incelediğinde KOİ ve AKM değerlerinin superfloc kullanımıyla sınır değerlerin altına indirilebildiği anlaşılabılır. Superfloc'un 0,20-0,40 mg/l dozlarında kullanımıyla AKM sınır değerlerin altına inmektedir. 0,40 mg/l dozdandan sonra KOİ değeri artmakla beraber sınır değerin üstüne çıkmamaktadır. Superfloc organik bir madde olduğundan fazla kullanıldığından KOİ değerini artırmaktadır. pH tüm dozlarda sınır değerlerin arasında kalmaktadır; ancak KOİ değeri açısından düşük dozlar çok daha uygundur.

$\text{Al}_2(\text{SO}_4)_3 \cdot 18\text{H}_2\text{O}$  kullanımıyla elde edilen analiz sonuçları Çizelge 6.24 ve Şekil 6.5-7'den izlediğinde, KOİ ve AKM değerlerinin en düşük dozda bile sınır değerlerin altına indiği görülebilir.  $\text{Al}_2(\text{SO}_4)_3 \cdot 18\text{H}_2\text{O}$  niceliği

arttıkça AKM değeri artmaktadır. KCl,  $Al_2(SO_4)_3 \cdot 18H_2O$  niceliğinin artmasıyla belli bir değere kadar azalmakta sonra sabit kalmaktadır. pH ise çöktürücü dozunun artışıyla alüminyum sülfatın hidrolizi nedeniyle azalmaktadır. pH, 2000 mg/l  $Al_2(SO_4)_3 \cdot 18H_2O$  kullanımıyla SKY alt sınır değerinin altına inmektedir. 100-1000 mg/l dozları arasında  $Al_2(SO_4)_3 \cdot 18H_2O$  kullanımını uygundur; ancak gereksiz madde kullanımından kaçınılmalıdır. Çökelme hızları Çizelge 6.25'ten izlendiğinde 200 mg/l dozunda en hızlı çökelmenin olduğu ve en berrak suyun bu dozda oluşturduğu anlaşılmaktadır. Bu doz tavsiye edilebilir.

Superfloc ve  $Al_2(SO_4)_3 \cdot 18H_2O$ 'nın birlikte kullanımıyla arıtım sonuçları Çizelge 6.26'dan izlendiğinde KOİ ve AKM'nin  $Al_2(SO_4)_3 \cdot 18H_2O$ 'nın 20 mg/l ve superfloc'un 2 mg/l'den sonraki dozlarında sınır değerlerin altına indiği anlaşılmabilir; ancak doz arttıkça superfloc KOİ değerini artırmaktadır. Uygulanan bu oranda iki maddenin bir arada kullanımı, ayrı ayrı kullanımına göre avantaj sağlamamaktadır.

#### 7.2.2 D Kağıt Fabrikası ham atıksuyunun pihtilaştırma ile arıtım bulgularının tartışılmaması

D Kağıt Fabrikasının ham atıksuyunun Çizelge 6.27'de görülebilen özellikleri SKY sınır değerleriyle karşılaştırıldığında KOİ, ÇMMK ve BOİS değerleri sınırları aşmaktadır. Bunları sınırların altına indirebilmek için çeşitli pihtilaştırcılar denenmiştir.

Çizelge 6.28-29 ve Şekil 6.8-10 incelendiğinde  $Al_2(SO_4)_3 \cdot 18H_2O$  ve  $FeCl_3 \cdot 6H_2O$ 'nın kullanımıyla KOİ değerinin düşmekte beraber sınır değerinin altına inmediği görülebilir. Doz arttıkça KOİ azalmaktadır.  $FeCl_3 \cdot 6H_2O$  ile daha düşük KOİ değerlerine inilmektedir; ancak pH 2,55 gibi çok düşük değerlere düşmektedir. AKM değeri her iki pihtilaştırcının tüm dozlarıyla çok iyi giderilebilmektedir. Burada çöktürücü dozu seçilirken gözden geçirilmemesi gereken nokta pH değerinin 6'nın altına düşürülmemesidir. Zorunlu olarak yüksek dozlarda çöktürücü kullanılırsa da pH'in 6'nın üstüne çıkarılması için kireç ilave edilmelidir.

Sedipur ve superfloc kullanımıyla KOİ sınır değerinin altına inmemekle beraber düşme göstermektedir. Tüm dozlarda AKM oldukça iyi giderilmektedir. Sedipur dozu arttıkça KOİ değeri de azalmakta belli bir dozdan sonra sabitleşmektedir. Superfloc dozunun artışıyla KOİ azalmakla birlikte sedipur

kullanımındaki kadar düşmemektedir. Her iki organik poliekskrolitin dozu daha da artırılsaydı kendilerinin KDI değerine katkısı nedeniyle KDI'de artış olması beklenirdi (bkz. Çizelge 6.22-23 ve Şekil 6.1,3). pH her iki çöktürücünün kullanımıyla da pek fazla değişmemektedir.

$\text{Al}_2(\text{SO}_4)_3 \cdot 18\text{H}_2\text{O}$  ve superfloc'un bir arada kullanımıyla pH fazla düşmemekte KDI düşmekte beraber sinir değerin altına inmemektedir. AMM ise % 100 giderilmektedir. Denenen oranda bu iki çöktürücünün bir arada kullanımı ayrı ayrı kullanımına göre bir üstünlük sağlamamaktadır.

Çizelge 6.30, 31, 34 ve 36 incelendiğinde KDI'de yüksek aritimin elde edildiği çöktürücü dozlarında duru bölge yüksekliklerinin de daha fazla olduğu görülmektedir. Ayrıca çok kısa bir sürede ( 2 dk gibi ) 8 cm'nin üzerinde (toplam sıvı yüksekliğinin % 84'ü kadar) duru bölge yükseklikleri sağlanmaktadır. Bu da çökelmenin çok hızlı olduğunu göstermektedir. Tasarım açısından bu oldukça önemli bir sonuctur; çünkü çöktürme tanklarının hacimleri küçük tutulabilecektir.

## GENEL SONUÇLAR VE ÖNERİLER

### 3.1. Genel Sonuçlar

Bozüyüklük yörenesindeki A, B, C Seramik ve D Kağıt fabrikalarının arıtım tesislerinden çıkan atıksuların özellikleri belirlenip, SKKY sınırlarıyla karşılaştırıldığında; B Seramik ve D Kağıt Fabrikaları atıksularında bazı parametrelerin sınır değerleri aştığı, bu yüzden önleme alınıp bunların sınır değerlerinin altına indirilmesi gerektiği kararına varılmıştır (bkz. Alt Bölüm 6.1 ve 7.1). A ve C Seramik Fabrikaları atıksularında parametreler sınır değerleri aşmadığından SKKY uyarınca bu işletmenin atıksularını dışarıj edebileceğii sonucuna varılmıştır (bkz. Alt Bölüm 6.1.1 ve 6.1.3). Seramik fabrikaları atıksularının özelliklerinin benzer olması nedeniyle fabrikalardan birinin atıksuyunun pihtilaştırma-yumaklaştırma yöntemiyle arıtımı incelenmiştir.

Seramik fabrikası ham atıksuyunun pihtilaştırma-yumaklaştırma yöntemiyle arıtımında superfloc'un 0,20-0,40 mg/l ve  $Al_2(SO_4)_3 \cdot 18H_2O$ 'ın 100-1000 mg/l dozlarında parametreleri sınır değerlerinin altına indirdiği belirlendiğinden bu aralıklardaki dozlar tavsiye edilebilir; ancak  $Al_2(SO_4)_3 \cdot 18H_2O$ 'ın 200 mg/l dozunda en hızlı gökelme gerçekleştiğinden ve en berrak su elde edildiğinden bu doz önerilebilir (bkz. Alt Bölüm 7.2.1).  $Al_2(SO_4)_3 \cdot 18H_2O$  ve superfloc'un bir arada kullanımı ayrı ayrı kullanımına göre avantaj sağlaymadığından her iki pihtilaştırıcıının incelenen oranda kullanımın tavsiye edilmemektedir. Parametreleri sınır değerlerinin altına indiren iki pihtilaştırıcı arasında seçim gerekirse sonucu ekonomik etkenler belirleyecektir. Arıtım sonunda oluşan çamurun giderimi de ayrı bir sorundur. İşletmenin pihtilaştırma-yumaklaştırma yöntemiyle arıtma yönelik arıtım tesisi bulunduğuundan kirlilik parametreleri de bu yöntemle SKKY sınır değerleri altına indirilebildiğinden başka bir yöntemle arıtımın denemesine gerek yoktur.

Kağıt fabrikası ham atıksularında kullanılan pihtilaştiricilerin tümüyle de KDI düşmekte beraber sınır değerinin altına inmediği belirlenmiştir (bkz. Alt Bölüm 7.2.2). Sedipur ve superfloc'un düşük dozlarında KDI sınır değerinin altına inmediğinden, yüksek dozlarda da polielektrolyitlerin kendilerinin KDI değerine katkısı nedeniyle KDI'de artış olması beklenliğinden (bkz. Çizege-

6.22, 23 ve Şekil 6.1.3) bu polielektrolitlerin kullanımı tavsiye edilmemektedir.

$\text{FeCl}_3 \cdot 6\text{H}_2\text{O}$  ve  $\text{Al}_2(\text{SO}_4)_3 \cdot 18\text{H}_2\text{O}$ 'ın düşük dozlarının kullanımıyla KÜİ sınır değerinin altına indirilememektedir (bkz. Alt Bölüm 7.2.2). Yüksek dozların kullanımı düşünülebilir; ancak doz arttıkça pH'ta alt sınır olan 6 değerinin altına düşme gözlenmektedir. Bu durumda pihtilaştırmadan sonra pH'in 6'ın üstüne çıkarılması gereklidir. Bunun için en ekonomik yöntem kireç kullanımıdır. Her iki çöktürücü arasında seçim gerektiğinde sonucu ekonomik etkenler belirleyecektir. Oluşan çamurun giderimi de önemlidir.

Superfloc ve  $\text{Al}_2(\text{SO}_4)_3 \cdot 18\text{H}_2\text{O}$ 'ın birlikte kullanımı ayrı ayrı kullanımına göre üstünük sağlamadığından, en azından incelenen oranda, her iki pihtilaştırcının bir arada kullanımı tavsiye edilmemektedir.

Kağıt fabrikası ham atiksuyunun pihtilaştırma ile arıtımında elde edilen sonuçlara (bkz. Çizelge 6.28, 29, 32 ve 33) göre kirlilik parametreleri SKY sınırlarına, ham atıksu alınırken arıtım tesisi çıkışından alınan atıksu'daki parametrelerden daha yakındır. Fabrikada atıksu deşarj edilmeden önce kum filtrelerinden geçirilmektedir. Bu nedenle uygun dozlarda pihtilaştırma-yumaklaştırma ile arıtımdan sonra filtrasyon uygulanlığında parametrelerin daha fazla düşeceği umulmaktadır.

## 8.2. Öneriler

Kağıt sanayileri için SKY'nce öngörülen (bkz. Ek Açıklamalar-A.2) 24 saatlik kompozit örneklerin alınması bizim için olanaksız olduğundan, 2 saatlik kompozit örnekler alınarak, elde edilen sonuçlar 24 saatlik kompozit örnekler için verilen değerlerle karşılaştırılmıştır; ancak 24 saatlik kompozit örnekler alınmadıkça sonuçlar pek gerçekçi olmayacağındır. Ayrıca 24 saatlik ortalama debi bilinmediğçe birim üretim başına kirlilik yükü değerleri de pek fazla gerçekçi olmayacağındır.

B Seramik Fabrikasında da bazı parametreler sınır değerlerini aşığundan ham atiksuyunun arıtılabilirliği incelenebilir. Ancak seramik fabrikaları atıksularının özellikleri benzer olduğundan C Seramik Fabrikası atıksuları için elde edilen sonuçların B Seramik Fabrikası atıksuları için de geçerli olduğu düşünülebilir.

Seramik fabrikası atiksuyunun pihtilaştırma-yumaklaştırma ile arıtımında  $\text{Al}_2(\text{SO}_4)_3 \cdot 18\text{H}_2\text{O}$  ve superfloc dışındaki pihtilaştırcılar da

denenebilir. Superfloc/  $\text{Al}_2(\text{SO}_4)_3 \cdot 18\text{H}_2\text{O}$  oranı küçültüleerek her iki pihtılastırıcının bir arada kullanımı da denenebilir.

Kağıt fabrikası atıksularında  $\text{FeCl}_3 \cdot 6\text{H}_2\text{O}$  ve  $\text{Al}_2(\text{SO}_4)_3 \cdot 18\text{H}_2\text{O}$ 'ın yüksek dozlarının kireçle birlikte kullanımı denenebilir. Bu şekilde daha etkin bir arıtım sağlanabileceği ve SKKY sınır değerlerinin altına inilebileceği umulmaktadır. Kağıt fabrikası arıtım tesisisinde atıksu son olarak kum filtrelerinden geçmektedir. Bu nedenle ham atıksuyun pihtılastırma ile arıtımından sonra filtrasyon uygulanırsa parametreler sınır değerlerin altına inebilir.

Kağıt fabrikası atıksuları için yukarıda önerilenlerin hepsi denendikten sonra parametreler hala sınır değerlerin altına indirilemiyorsa pihtılastırma-yumaklaştırma dışındaki diğer arıtım yöntemleri denenmelidir. Arıtım yöntemleri denenirken öncelik, arıtım tesisinin uyarlanabilecegi yöntemlerin olmalıdır.

Arıtım deneylerinde ham atıksuların kirlilik parametrelerini SKKY sınır değerleri altına indirecek pihtılastırıcı türü ve dozu belirlenmeye çalışılmıştır. Pihtılastırma-yumaklaştırma deneylerinde hızlı karıştırma (2 dk), yavaş karıştırma (10 dk) ve çökelme süreleri (1 saat) sabit tutulmuştur. Bu süreler değiştirilerek en uygun karıştırma ve çökelme sürelerinin belirlenmesi için çalışmaları yapılabilir.

## Ek Açıklamalar-A

## ENDÜSTRİYEL ATIKSU DEŞARJ STANDARTLARI

SKKY'nin 31. maddesi uyarınca endüstriler üretim tiplerine göre gruplandırılmış ve onaltı sektör oluşturulmuştur. Bu sektörler için öngörülen deşarj standartları SKKY'nde Tablo 5 ve Tablo 20 arasında verilmiştir. Bu bölümde çalışma sırasında kullanılan deşarj standartları verilecektir (Resmi Gazete, 1988).

## A.1. Maden Sanayii Atıksularının Alici Ortama Deşarj Standartları

Maden sanayi sektörü demir ve demir dışı metal cevherleri, kömür üretimi ve nakli, bor cevheri, seramik ve toprak sanayii; cimento, taş kırmızı, toprak sanayii gibi endüstrileri içerir.

Atıksuları üzerinde çalışılan A, B ve C Seramik Fabrikalarının seramik ve topraktan kap-kacak yapımı ve benzerleri grubunu içeren maden sanayi sektörüne girdiği düşünüldüğünden burada sadece bu grup için SKKY'ndeki Tablo 7.4 ile öngörülen atıksuların alici ortama deşarj standartları Çizelge A.1'de verilecektir.

## Çizelge A.1. Maden sanayii (seramik ve topraktan kap-kacak yapımı ve benzerleri) atıksularının alici ortama deşarj standartları

Parametre	Birim	Kompozit numune 2 saatlik	Kompozit numune 24 saatlik
Kimyasal oksijen ihtiyacı (KOİ) (mg/l)		80	
Aşkida katı madde (AKM) (mg/l)		100	
Kurşun (Pb)	(mg/l)	1	
Kadmiyum (Cd)	(mg/l)	0,1	
pH		6-9	6-9

**A.2. Selüloz, Kağıt, Karton ve Benzeri Sanayilerin Atıksularının Alıcı Ortama Deşarj Standartları**

Selüloz, kağıt, karton sanayi sektörü; yarı selüloz, ağırtılmamış selüloz, ağırtılmış selüloz, saf selüloz, nişasta katkısız kağıt, nişasta katkılı kağıt, çok ince dokulu kağıt, kırıntı kağıt yüzdesi yüksek olmayan kağıt, kırıntı kağıttan kağıt, parşömen kağıdı ve benzeri üretimleri içerir.

Atıksuları üzerinde çalışılan D Kağıt Fabrikasında saf selülozden nişasta katkılı kağıt, nişasta katkısız kağıt ve çok ince dokulu kağıt üretimleri yapılmaktadır. Bu yüzden bu üç tip üretim için geçerli olan SKKY'nde Tablo 13.5, 6 ve 7 ile verilen deşarj standartları Çizelge A.2, 3 ve 4'te verilecektir. SKKY'nin 26. maddesi uyarınca aynı sanayi kuruluşu içinde birden fazla üretim yapılması halinde, bu sektörler için ayrı ayrı verilen değerler arasında en kısıtlayıcı olanlar esas alınmalıdır. Buna göre D Kağıt Fabrikası için Çizelge A.2'deki (SKKY'ndeki Tablo 13.5) değerler esas alınmalıdır.

**Çizelge A.2. Selüloz, Kağıt, Karton ve benzeri sanayilerin ( nişasta katkısız kağıt) atıksularının alıcı ortama deşarj standartları**

Parametre	Birim	Anlık numune	Kompozit numune 24 saatlik
Biyokimyasal oksijen ihtiyacı (BOL <sub>5</sub> )	(mg/l) (kg/t)		40 3
Kimyasal oksijen ihtiyacı (KDI)	(mg/l) (kg/t)		100 6
Çökebilir katı madde	(ml/l)	0,5	

**Çizelge A.3. Selüloz, kağıt, karton ve benzeri sanayilerin (nişasta katkılı kağıt) atıksularının alıcı ortama deşarj standartları**

Parametre	Birim	Anlık numune	Kompozit numune 24 saatlik
Biyokimyasal oksijen ihtiyacı (BO <sub>1g</sub> )	(mg/l) (kg/t)		40 3
Kimyasal oksijen ihtiyacı (KDI)	(mg/l) (kg/t)		100 8
Çökebilir katı madde	(ml/l)	0,5	

**Çizelge A.4. Selüloz, kağıt, karton ve benzeri sanayilerin (saf selülozdan elde edilen ince dokulu kağıt) atıksularının alıcı ortama deşarj standartları**

Parametre	Birim	Anlık numune	Kompozit numune 24 saatlik
Biyokimyasal oksijen ihtiyacı (BO <sub>1g</sub> )	(mg/l) (kg/t)		40 6
Kimyasal oksijen ihtiyacı (KDI)	(mg/l) (kg/t)		120 15
Çökebilir katı madde	(ml/l)	0,5	

### KAYNAKLAR DİZİSİ

- Arceivala, S.J.1973, Simple Waste Treatment Methods, Middle East Technical University, Ankara, 156 s.
- Baban, A. ve Çamlılar, S., 1986, Boya endüstrisi atıksularının artılması, Kimya Mühendisliği Dergisi, 119, 19-20.
- Baykut, F., Aydın, A. ve Baykut, S., 1987., Çevre Sorunları ve Korunma, İstanbul Üni Müh. Fak. Yayınları, İstanbul, 419 s.
- Bayraktar, T.C., Önal, G., Atak, S., Yalçın, T., Kaytaz, Y., Maytalman, D., Ateşok, G., Gürkan, V., Acarkan, N. ve Acarkan, S., 1978, Bozöyük seramik fabrikası artık sularının arıtılması deneyleri, İTÜ Maden Fakültesi Cevher Hazırlama Kürsüsü, 12 s. (Yayılmanızmamış Rapor).
- Bhaskar, G.U. and Gupta, S.K., 1987, Syntheses and application of anionic polyelectrolytes in water and wastewater treatment, Water Air and Soil Pollution, 35,251-260.
- Berkem, A.R.ve Baykut, S., 1980, Fizikokimya, İstanbul Üniversitesi Yayınları, İstanbul, 812 s.
- Billings, M.R. and DeHaas, G.G., Pollution control in the pulp and paper industry, Industrial Pollution Control Handbook, H.F. Lund (Ed.), McGraw Hill Book Company, New York, chapter 18.1-17.
- Constable, P.H. , 1975, Fizikokimyaya Giriş, (Cev. D.H. Feridun) İstanbul Üni., Fen Fak. Basımevi, İstanbul, 100 s.
- Cheremisinoff,P.N., 1989, Water and wastewater treatment- fundamentals and innovations, Pollution Engineering, 21,94-99.
- Çelebi, E.,1989, İzmit körfezi hala çukuru, Milliyet Gazetesi,16 s.
- Çelebi, S.ve Yeşilnacar, Ş., 1988, The use of polymers in the treatment of river water, Çevre'88 Dördüncü Bilimsel ve Teknik Çevre Kongresi, İzmir.
- Dean, R.B.,1956,"Modern Kolloidler", (Cev.B.Baysal),T.C. Ankara Üniversitesi Fen Fakültesi Yayınları,İstanbul,332 s.
- Dentel, S.K. and Gossset, I.M.,1982, Effect of chemical coagulation on anaerobic digestibility of organic materials, Water Research, 16 , 707-718.
- Doğan, A.,1983, Atıksulardaki eser elementlerin bitki büyütmesine etkileri, topraktaki davranışları, Seminer, Anadolu Üniversitesi Fen Bilimleri Enstitüsü, Kimya Mühendisliği Bölümü, 22 s. (yayılmanızmamış).

KAYNAKLAR DİZİNİ (devam ediyor)

- Ellis, K.V., 1982, Techniques for the treatment of strong biodegradable industrial wastewaters in developing nations, Management of Industrial Wastewater in Developing Nations, D. Stuckey and A. Namza(Eds.), Pergamon Press Ltd., 499 p.
- Fair, M.G., Geyer, I.C., and Okun, D.A., 1968, "Water and Wastewater Engineering" John Wiley and sons, USA Toppan Company, Japan, chapter 28, 30.
- Gillespie, W.J., 1984, Pulp and paper effluent management, Journal WPCF, 56, 643-646.
- Ikatsu, H., Kaseno,S., Korenaga, T., Takahashi, T., and Shinoda, S., 1987, Collective treatment of wastewaters containing dyes and colors from arts and crafts activities at universities, Suishitsu Odaku Kenkyu, 10(5), 310,14(Chemical Abstracts, 28 December 1987, vol.107).
- Kirk-Othmer, 1982, Encyclopedia of Chemical Technology, Third Edition, John Wiley and Sons, vol 18, 950p.
- Kirk-Othmer, 1984, Encyclopedia of Chemical Technology, John Wiley and sons, A Wiley-Interscience Publication, vol. 24, 315-326.
- Kor, N., 1974, Çevre Sağlığı ve Teknolojisi, Kullanılmış suların uzaklaştırılması ve tasfiyesi, İTÜ matbaası, cilt I, Gümüşsuyu, İstanbul, 525s.
- McGraw Hill, 1982, Encyclopedia of Science and Technology, Per-prog., New York, vol.3, 861 p.
- Mishra, S.K., 1989, Polymer flocculation of fine particles, Theoretical developments, Pollution Engineering, part 1, 21, 102-105.
- Muslu, Y., 1985, "Su Temini ve Çevre Sağlığı", İTÜ kütüphanesi İstanbul, cilt III, 741s
- Müezzinoğlu, A., 1973, Modern dünyayı tehdit eden tehlikeli çevre sorunları , Kimya Mühendisliği Dergisi, cilt 6, sayı: 62, S-14s.
- Özgen, S. ve Sürücü, G., 1983, Kanalizasyon sularının fizikokimyasal aritiminde sodyum alüminat kullanımı, Çevre'83, II. Ulusal Çevre Mühendisliği Sempozyumu, Dokuz Eylül Üniversitesi, ÇT-8, İzmir.
- Öztürk, B., Akyüz, F., Diler, İ. ve Yıldız, G., 1989, Bir Pamuklu Tekstil Fabrikası Atıksuyunun Artılabilirliğinin İncelenmesi, Bitirme Ödevi, A.U.Müh.Mim.Fak.Kimya Mühendisliği Bölümü, Eskişehir, 45 s.(yayınlanmamış).

KAYNAKLAR DİZİNİ (devam ediyor)

- Pel, H.S. and Khalafawi, M.S. 1982, Purification of industrial wastewaters in Kuwait, 1. Physicochemical treatment using a marine clay and polyeletrolyte, Management of Industrial Wastewater in Developing Nations, D., Stuckey and A. Hamza (Eds.), Pergamon press, 499p.
- Peavy, S.H., Rowe, D.R. and Tchobanoglous, G., 1986, Environmental Engineering, McGraw Hill Book Company, Singapore, 700 p.
- Peker, İ., 1999, İş güvenliği yönünden kurşun; Kimya ve Sanayi, cilt 31, sayı: 157-158, 145s.
- Pekin, B., 1983, Biyokimya Mühendisliği (Biyoteknoloji), Ege Üni. Kimya Fak. Yayınları, İzmir, 409 s.
- Picard, M.A., 1978, Combined physico-chemical and biological processes for treatment of domestic wastes, New Processes of Wastewater Treatment and Recovery, Ellis-Horwood Ltd. Chichester, chapter 13.
- Resmi Gazete, 4 Nisan 1971, Su Ürünleri Kanunu, No:1380, sayı:13799.
- Resmi Gazete, 11 Ağustos 1983, Çevre Kanunu, No:2872, sayı:18132.
- Resmi Gazete, 13 Mart 1984, Atıksuların Kanalizasyon Şebekesine Değerj Yönetmeliği, sayı:18340.
- Resmi Gazete, 28 Şubat 1985, Tarım Orman ve Köy İşleri Bakanlığı 10 Numaralı Sirkütləri,sayı:19630.
- Resmi Gazete, 4 Eylül 1988, "Su Kirliliği Kontrolü Yönetmeliği", sayı:19919.
- Resmi Gazete, 12 Mart 1989, "Su Kirliliği Kontrol Yönetmeliğin İdari Usuller Tebliği", sayı:20106.
- Resmi Gazete, 12 Mart 1989, Su Kirliliği Kontrolü Yönetmeliği Suda Tehlikeli ve Zararlı Maddeler Tebliği, sayı:20106.
- Rudolis, W., 1967, Pis Su Tasfiyesinin Prensipleri, (Çev. Y. Muslu), İTÜ Kütüphanesi, sayı:692, 141s
- Santaniello, R.M., 1971, Water quality criteria and standards for industrial effluents, Industrial Pollution Control Handbook, H.F. Lund(Ed. ), McGraw Hill Book Company, New York,chapter 2, 23-38.
- Selek, A., 1998,"Eskişehir Evsel ve Endüstriyel Atıksularının Aktif Çamur Yöntemiyle Birlikte Arıtılabilirliği", Doktora Tezi, Eskişehir, 172s. (yayınlanmamış).
- Shreve, R.N., Joseph, A. and Brink, Jr., 1983, Kimyasal Proses Endüstrileri, (Çev. A.I. Çataltaş), İnkılap ve aka basımevi, cilt 1, 567s.

KAYNAKLAR DİZİNİ (devam ediyor)

- Shreve, R.N. and Brink, Jr. J.A., 1985, Kimyasal Proses Endüstrileri,  
 (Çev. A.I. Çataltaş), İnkılap Kitabevi Yayın Sanayi ve Ticareti A.Ş.,  
 İstanbul, cilt 2, 564 s.
- Standart Methods For the Examination of Water and Wastewater, 1967, APHA INC.  
 1740, Broadway, New York, NY 10019, 770 p.
- Şengil, A., 1983, Su tasfiyesinde alümit ile pihtilaştırma üzerine bir  
 araştırma, Çevre'83, II. Ulusal Çevre Mühendisliği Sempozyumu, Dokuz  
 Eylül Üniversitesi, ÇT-19, İzmir.
- Şengül, F., Müezzinoğlu, A. ve Samsunlu, A., 1982, Çevre Mühendisliği Kimyası  
 Ege Üniversitesi İnşaat Fak. Ders Notları, İzmir, 267 s.
- Şengül, F., 1983, Tekstil sanayii atıksularında organik madde ve renk giderme  
 ile ilgili laboratuvar model çalışmaları, Çevre'83, II. Ulusal Çevre  
 Mühendisliği Sempozyumu, Dokuz Eylül Üniversitesi, SC-23, İzmir.
- Şengül, F. ve Müezzinoğlu, A., 1983, Zeytinyağı üretim atıklarının arıtılması  
 ile ilgili çalışmalar, Kısım I (Atıksuların karakteristikleri, kimyasal  
 ve fiziksel arıtma çalışmaları) Çevre'83, II. Ulusal Çevre  
 Mühendisliği Sempozyumu, Dokuz Eylül Üniversitesi, SC-30, İzmir.
- Tchobanoglou, G., 1979, Wastewater Engineering: Treatment , Disposal, Reuse,  
 Second Edition, Tata-McGraw-Hill Publishing Company Ltd., New Delhi, 920p.
- Tuncer, S., 1983, Kadmium'un bazı akvatik organizmalarda birikimi, Çevre  
 Koruma, sayı :18.
- Uygan, N., 1988, Biyolojik Atıksu Arıtım Yöntemleri, Seminer, Anadolu Üni. Fen  
 Bilimleri Ens. Kimya Müh. Böl., 31 s. (yayınlanmamış).
- Üneri, S., 1969, Kolloid Kimyası, Ankara Üniversitesi Fen Fakültesi  
 Yayınları, Ankara 192 s.
- Vovotsky, S., 1978, Colloid Chemistry, Mir Publishers, Moscow, 560 s.
- Wang, L.K., 1977, Adsorption, coagulation and filtration make a useful  
 treatment combination, Part 2, Water and Sewage Works, 124, 32-36.
- Yegin, M. ve Özdemir, M., 1988, Eskişehir Sümerbank Basma Fabrikası  
 Atıksuyuruun Kimyasal Pihtilaştırma ve Adsorpsiyon Yöntemleriyle  
 Arıtılması, Bitirme Ödevi, A.Ü.Müh. Mim. Fak. Kimya Mühendisliği Bölümü,  
 Eskişehir, 63 s.(yayınlanmamış).
- Yıldırın,C., 1989, Atık sularda ağır metal kirlenmesi ve bunların tayini,  
 Bitirme Ödevi,A.Ü.Müh. Mim. Fak. Kimya Mühendisliği Bölümü, Eskişehir,  
 35 s. (yayınlanmamış).

KAYNAKLAR DİZİNİ (devam ediyor)

Yurtseven, F., 1987, Kağıt üretiminde çevre sorunları, Konferans, A.Ü. Müh.  
Mim. Fak. Kimya Müh. Böl. Eskişehir.

W: G.  
Vakıf Müh. Kurulu  
Dokümantasyon Merkezi